

呉工業試験場報告

No. 18

August, 1975

目 次

一報 文一

1. ステンレス鋼の穴あけ加工における切削温度について	南良良治, 平田敏明	1
2. 吸音キャビネットの試作研究	斯波信雄	7
3. 現場向き簡易弾性荷重計の試作	永山博夫	10
4. 高炭素鋼の割れ限界について	鈴木 寛, 上取 功, 加城正義	12
5. 游撃硬化層とカタさ測定値の相關性	鈴木 寛, 加城 正義	15
6. 構造用鋼の衝撃破面について	横山宏樹, 新田 明, 鈴木 寛, 上取 功	19
7. オースフォームによるやすり用刃立たがねの試作	加城 正義	
8. やすりの無駆仕上げに関する研究	土取 功, 吉岡善一, 加城正義	25
9. 溶液法による金属性分析について	加城正義, 土取 功, 清水達磨, 内藤達也	30
10. ROIによるNEMEKI溶回収実験	東正十郎, 石田 節	
II. イオン交換膜によるジンケート浴回収水洗浄処理実験	木本範雄	35
12. 混合廃プラスチックの熱分解とその生成物	祝岡 秀, 田谷征雄, 酒井隆司, 清水達磨	40
13. 塩化ビニール樹脂を含む廃プラスチックの熱分解について	木原 博	
14. 混合廃プラスチックの熱分解における触媒の開発とそれらの添加効果について	酒井隆司, 清水達磨, 田谷征雄, 祝岡 秀	45
15. 有害物質としての鉛ヒュームの発生と作業環境に及ぼす影響について	木原 博	
16. 交流ポーラログラフ法によるアルミニウム合金中の亜鉛の分析法	高崎宗利, 好満芳邦, 関 守雄, 山県康男	52
17. レヂノイド砥石用樹脂強化グラスクロスのクローズド化と有効利用に関する研究(大要)	関 守雄, 好満芳邦, 山県康男, 高崎宗利	64
18. アルカリ吸収法による窒素酸化物の処理について	好満芳邦, 高崎宗利, 山県康男, 関 守雄	69
抄 錄	77	
	好満芳邦, 横山宏樹, 山県康男, 上原精	77
	土取 功, 鈴木 寛, 新田 明, 加城正義	
	渡部英雄, 応和 尚, 田谷征雄	83
	東正十郎, 関 守雄, 高崎宗利, 大下 崇	87
	山県康男, 好満芳邦, 山本俊文, 上原 到	90
	95	

ステンレス鋼の穴あけ加工における
切削温度について

角巻良治 平田敏明

比較的小径のドリルによる穴あけ作業では使用する工具柄部や作業性などから一般的には軸成形剤が多く用いられており切削温度が工具寿命に及ぼす影響は特に大きい。本報では SUS304 の穴あけ加工において切削温度に影響を及ぼすであろうと考えられる切削速度、ドリル先端角とよびねじれ角の 3 因子をとりあげ、これらの因子が切削温度に及ぼす影響について分散分析を行方に検討を加えた。

実験においては熱電対と試料に埋込みドリルにエリグリントン剤を付加し、ナセルエッジ部およびマージン部の切削温度を測定し、つぎの結果を得た。

(1) ナセルエッジ部の温度

ドリル先端角、ねじれ角、切削速度とも有意差があり、特に切削速度とねじれ角の影響が大きい。

(2) マージン部の温度

ドリル先端角、ねじれ角、切削速度とも有意差が認められ、特に切削速度の影響が大きい。

(3) ねじれ角で先端角の大さいドリルでは切削速度を 234 °/min あげても切削温度の上昇は比較的ゆるやかである。

P1~6

吸音キャビネットの試作研究

斯波信雄

NC 機械の増圧ユニットに対し、簡易な吸音キャビネットを試作し、その効果をまとめたものである。キャビネットは

ベニヤ板の内側に、グラスウールを貼り付け、さらに蓄熱を防ぐ為の空気の吸排出口を設けた。ここで注意したことは空気の吸排口が音の漏出源となることである。それを茎として吸音ダクトを設けた。その結果 8~10 dB 程度の減音が得られた。キャビネットを使用した際、遮音材の寸法などは、ベニヤ板板厚 6 mm、グラスウール 25 mm、密度 20 kg/m³ グラスウール保溫材である。

P7~9

現場向型簡易弹性荷重計の試作

永山博夫

中小企業において荷重を測定する場合ロードセルを使用すると特別な電気装置を必要とするが、弹性荷重計の場合力を変位に変換するフレームとそれを読み取る為のダイヤルゲージのみがあればよい。このようが持長を持つ弹性荷重計を試作し、はり要素(平面ラーメン要素)を用いて有限要素により解析を行つた結果次の事が言え。

(1) 弹性荷重計は、中小企業においても製作が容易で、校正を之正しければ高精度の力の測定器として使用できる。
(2) はり要素を用いて有限要素法によく解析は校正值と比較的よく一致した。

P10~11

高炭素鋼の割れ限界について

鈴木 寛 土取 功

加城正義

高炭素鋼を冷間成形する場合、加工による変形抵抗と同時に割れ限界について

三十分検討しなければならぬ。セメントイトの球状化あるいは粗大化、また加工速度、加工温度が割れ限界に与える影響についての実験を行なつた。

本実験において、圧延素材の割れ限界が加工度40%であるに対して、完全球状化セメントイト組織では75%に向上去ることがわかつた。また、加工温度と加工速度との影響は、加工温度300°C以上で割れ限界が急速に向上去るが、加工速度10~1/20 mm/sec. の範囲では割れ限界への影響は小さかつた。

A 12 ~ 14

漫焼硬さ層とかたさ測定値の相関性

鈴木 寛 効誠正義

漫焼硬さ層を測定する方法として、一般にくまフロ組織、ビッカースのかたさ分布から漫焼硬さ層を測定する方法と、筋焼き方法として、スーパー・シャルロットケル (Aスケール)のかたさ試験機などを使って漫焼硬さ層を測定する場合がある。本実験では漫焼硬さ層表面をローラー式かたさ試験機で測定し、かたさ測定値と漫焼硬さ層の相関を求めた。

つぎにこの相関図から実用部品の漫焼硬さ層を求めた。この結果漫焼硬さ層組織には色々なタイプがあるが、焼入トルースタイト組織が現われると、その場合、相関図から求めた硬さ層は焼成範囲が土0.05mm以内である。

A 15 ~ 18

構造用鋼の衝撃破面について

横山 実樹 新田 明

鈴木 寛 土取 功
効誠正義

最近の構造物の著しい大型化は、耐温焼もどし脆性現象の問題について、我々に再検討をせさせていた。

そこで筆者らは構造用鋼 (S35C, SNC-3) の焼もどし温度 (450°C~650°C) と焼もどし後の冷却 (水冷, 炉冷) を変化させ、各試料のかたさ試験、シャルピー衝撃試験および顯微鏡組織のチェックを行ない、最後に衝撃破面を走査電子顕微鏡で観察し、そこから下記の特徴を得た。

- (1) 漢素鋼 (S35C) においては耐温焼もどし脆性の問題は考えなくてよい。
- (2) SNC-3の焼もどし脆化の判定は、焼もどしの実用範囲 (550~650°C) での条件で、Radial割の発生と開裂の有無で確認できる。

A 19 ~ 24

オースツームによるやすり用目立丸がねの試作

土取 功 吉岡 善一
効誠正義

やすり用目立丸がねのかたさを高くすれば脆く刃先が折損し、低くすれば摩耗やヘタリが早期に生じて、耐久度が小さい。そこでがねの耐久度を向上させるために、かたさが上昇し、かつ剛性が低下しないオースツーム処理によるがねの試作を高速度鋼 (SKH4A, SKH9) を用いて行った。

SKH4Aのがねは、先端附近のかたさが HRC68~69, SKH9では HRC67 を満たす。二つは通常の熱処理による最高か

やすりもHRC2程度がたい。

オースカルム処理を適用して作った大形
ばねを実用試験し、その結果は、従来の
熱処理した大がねに比較して約1.5～2.5倍
に耐久性を有すことができた。またオース
カルム処理により、大がねの製作工程の
短縮化が期待できる等の効果を挙げた。

P25～29

やすりの無酸化上げ処理に関する
研究

加藤正義 土取 功
清水達磨 内藤達也
東正十郎 石田 順

やすりの製造においては、仕上げおよ
び日立工程前に酸洗による電解研磨や酸
洗いが慣例から行なわれている。

これらの酸による公害を防ぐために、
硫酸を使用しない機械的仕上げ法として
ドライ・ブロスト法に転換する計画を立てて、各種仕上げ条件で実用試験を行な
い、従来の電解研磨法と品質面で比較
検討した。

250番のアランダム系砂粒を用いたブロ
スト法は、やすりの表面仕上げ状態や
最終品質“あらぎ味”を示す切削性能等の
点で、従来法に比して劣らぬことを確
認した。

本法の採用により、無酸化上げ処理が
可能となり、すぐKIO工場余りで実施し
ている。これにより公害防止や環境浄化
に貢献するところが大きい。

P30～34

第十六回～十八回 実験室分析一覧表
(第一回)

溶融法による金属分析について

摘要

螢光X線装置は、多品種少量試料の銅
鍛錠分析の場合、種種測定法(固体法
)があり、あまり用いられない。そこで、
それらの欠点のない溶融法即ち試料と酸
に溶解する方法の添加法をNi, Mn, Cr分
析に応用した。

先ず、溶融法で問題となる測定元素の
Kα線のバックグラウンドを検討し決定した。

次に、液体試料容器のマイラー浴面長
波差の影響は、Kα線とバックグラウンドの
X線強度差と近接バックグラウンドのX線
強度との比率をとることによって消去でき
た。

又、溶解酸は王水を用いることにより
変動係数が小さくなることを知見した。

それらのことと実際分析に採用し、銅
鍛錠試料中のNi, Mn, Cr元素を分析し、化
学分析値と近似の値を得ることができ、
分析の専門性、迅速化が可能となつた。

P35～39

逆浸透法(RO)によるニッケルメ
ッキ液回収実験

猪岡 勇 田谷征雄
酒井隆司 清水達磨
木原 博

最近ROにより有用金属と水の回収再
利用が計られている。ニッケルエニシングのフロ
ーズド化への適用が期待されニッケルメ
ッキ浴の実験がさかんに行なわれてい
る。本実験ではニッケルメッキ液と対象

はR.O.の基礎的性能(透過速度、脱塩率、操作圧・液温・濃度の影響)を検討した。Mg²⁺, SO₄²⁻, Cl⁻の脱塩率は約90%以上と高く、CaCO₃は20~30%と低い。操作圧(最高2.4kg/cm²)、液温(最高30°C)は高いほど、濃度は低いほど透過程量は増加する。透過速度は約2.1cm³/min(モジュール/本当り)であった。これらはモジュール規格、文献値とも一致した。実用上の問題点は、1) 硫酸が透過しやすい、2) 膜使用温度が最高30°Cと低い。3) 活泼剤、漂白剤による膜劣化等があげられる。

P 40~44

イオン交換膜によるシンケート浴四 收水海水処理実験

酒井隆司 清水達磨
田舎征雄 横岡秀
木原博

この実験は、シンケート水海水の処理に、イオン交換膜を用い、スラッジの減少、水、亞船の回収、有効利用を目的として、基礎実験を行なった。陽極槽と陰極槽の間に陽イオン交換膜を組み込み模擬水海水を陽極槽に入れ、補助陰極を陽極槽に設けた装置を用いた。補助陰極は、亞鉛の析出と、陽極槽のpH低下防止のためのものである。この結果、実働シンケート浴液処理による実験では、水軟化亞船の洗浄を生ずることなしに、膜面積1.8m²、電流2Aで、亞船、0.56g/H、ナトリウムイオン、0.8g/Hの割合で処理でき、膜の耐アルカリ性の実で問題が残っているが、イオン交換膜による処理

は可能であると言える。

P 45~51

混合廃プラスチックの熱分解とその 生成物

高崎宗利 好満芳郎
山縣康男 闇守雄

塩化ビニル樹脂と陰いん汎用プラスチックについて、熱分析および熱分解実験を行なった結果、ポリオレフィンは分解温度の上昇とともに低沸点生成物を多くするが、ポリスチレンは高温域分解においてもモノマー解重合を起し、生成物の沸点範囲はステレンモノマー分子と多く含んでいる。オートクレーブによる熱分解の分解性は、炉内圧力の分解上界から判断して、PP > PE > PSであるが、生成油收率からはPS > PP > PEの関係にある。また、常圧熱分解においては重合熱の小さい順に解重合の進行 LPS > PP > PEの分解性を示す。ポリスチレンの良好な分解性は低沸点留去油を選択的に回収、生成油の利用として重質重油への混合はイカウ分の低減に有用である。

P 52~63

塩化ビニル樹脂を含む廃プラスチックの熱分解について

闇守雄 好満芳郎
山縣康男 高崎宗利

石油化学工業の発展により都市ゴミ中のプラスチック含有率は、約10%となつていて、この廃プラスチックの分別收集による有効利用法として熱分解実験を行なった結果、廃プラスチックに含まれ

るPVCよりの塩素の挙動が問題となり、結果を示しました。

塩素率は純PVCに比べて低く、離脱塩素の分解生成物への移行を認めた。

P 69~76

塩素分は、四級HClとして62%、分解留出油中に25%，残渣中に4%と分配移行し、分解残渣中の塩素残留率は300°Cで14%，500°Cで4%と、分解留出油が生成する温度範囲において10%の塩素の離脱が起る。主な留出油のエネルギーはC重油、残渣は石炭に相当し、S分の代りにCl分と同程度含んでいた。

P 64~68

混合無ナラスチックの熱分解における触媒の開発とそれとの添加効果について

好満芳那 高崎宗利
山縣東男 関 守雄

対象混合プラスチックとして、汎用四大プラスチックであるPE、PP、PS、PVCを選び、業界実態と処理条件の差異に着目し、PVCを含むものと含まないものの2者に分けて、触媒としては天然ゼオライトを担体としてクラッキング触媒として用いられる各種金高を含浸焼成したものを及び合成したシリカ系触媒の中で分解促進の顯著な鉄・シリカ触媒を代表として用いて熱分解実験を行なった結果、分解開始温度を低下せしめ、所要時間(分解スピード)を短縮し、生成物の性状を著しく改善させた。又、分解機構に改良を加え、PVCと20%程度含む混合無ナラスチックについて生成油中の塩素を低減させ品質の改良が大きくな

る有害物質としての船ヒュームの発生と作業環境に及ぼす影響について

好満芳那 横山宏樹
山縣東男 永島 精
土坂 功 鈴木 寛
新田 明 加城正哉

船の作業環境における挙動及び発生源としての挙動について、各業種別に調査した結果をふまえて、船ヒューム発生の詳細な実態と実験室的に検討した結果、発生は温度の変化に伴い、780°C附近をピークとし800~850°Cにおいて急増すること、又、船溶解面のカバリングの効果が著しく、ヤスリ製造に用いる船浴に不溶を添加することの有効性を改めて実証した。発生するヒュームの大きさは、1μm以下のものが多く、人体への影響と環境への拡散のしやすさを深刻に示唆し、高性能集じんの実施はもちろん、先ず作業環境、発生源についての実態の把握を十分に行なうことがレイアウトばかり重要である。

P 77~82

支流ボーラログラフ法によるアルミニウム合金中の亜鉛の分析法

渡部英雄 志和 尚
田谷征雄

アルミニウム合金中の亜鉛を、支流ボーラログラフ法(支持電解質、+塩酸-硫酸)で定量した。試料1gで100%以上、亜鉛を誤差2%以内で定量することが

できる。共存元素の影響については、試料1/9中に共存する元素の最大量まで添加して亜鉛の波高を変化を調べたところ、アルミ＝ウム1000mg、マグネシウム110mg、ニッケル25mg、鉄10mg、マンガン8mg、チタン25mgの共存は波高に影響がないことがわかった。

P 83 ~ 86

レジノイド砥石樹脂強化グラスクロスのクローズ化と有効利用に関する研究

東正十郎 間守雄
高崎宗利 大下巣

レジノイド砥石工場より50%に近く発生するレゾール型フェノールレジン含浸グラスクロスは投資、燃焼すれば公害源ともなる。含浸フェノールレジンは次元ペーパークロマトによりB-冰藤であることを確認、メタノール易溶で平均38%以上も含まれている。レジンはクロスより回収し新クロスに塗布、あるいは砥粒との混練に使用し得る。又クロスも解纖維特殊な混合法を採用して砥粒にブレンドすれば強度補強に有効であり、共にクローズ化が可能である。又含レジンクロスを細断し加熱成型し園芸用、建物用品を製作し、一部は商品化した。3%長さカットし軽く脱レジンしたグラスファイバーをナイロン6にて、25%ブレンドしFRTPとしての応用を試みた結果、カップリング処理なしでよく複合し強度の向上を得た。又、吸音材へのファイバーの利用も一部行ない、可成り良い吸音効果を得た。

P 87 ~ 89

アルカリ吸収法による窒素酸化物の処理について

山縣康男 好満芳那
山本俊文 上原到

塗料製造工場におけるNO_xの防除方法として、湿式アルカリ吸収による処理について、テーブルおよび現場実験を行なった。

NaOH溶液によるNO_xの吸収を検討するため、NaOH濃度(0.1~10%)、ガス流速(0.8, 1.6 L/min)、吸収液量(100, 150 ml)を選じ、実験計画により行なった。

NaOH濃度は0.5%液が比較的良いことが、その他の要因と水準との間にはほとんど有意差は認められなかつた。ガス流速、吸収液量はこの条件では影響を及ぼさない。その他の吸収剤として、5% Na₂SO₃、Na₂S溶液について、NO_xの吸収を検討した結果、Na₂SO₃は90%以上を效率で液相還元し、Na₂Sについてもよく吸収するが、H₂Sの排出防止を行なう必要がある。

現場実験に際して、工程改善によるNO_xの発生防止を試みたが、操作条件の改善により大半を抑制効果が得られた。

排ガス処理は吸収剤として尿素、NaOH、アルカリNa₂SO₃を使用し、比較すると、脱硝率はNa₂SO₃>NaOH>尿素で、Na₂SO₃による脱硝率は90%以上であった。

P 90 ~ 94

難削材の被削性に関する研究

ステンレス鋼の穴あけ加工における切削温度について

南 良 良 治, 平 田 敏 明

1. 緒 言

比較的小径ドリルによる穴あけ作業では使用する工作機械や作業性などから一般的に軽い切削が行われること。

本報はドリルで穴あけオースティナイト系ステンレス鋼の穴あけ加工の場合、前報に述べた被削材の構成的・物理的性質とドリルの種類等工具形状、切削機構などと被削材に与える工具寿命は他の被削材に比較して短くなること。特に被削材は工具摩耗として高温発熱現象がしばしば起り、切削温度の影響が大きく左向し、工具寿命が低下する原因となること。

切削温度の影響は切削速度、ドリル先端角およびねじれ角の因子に影響され、これら3因子が切削温度におよぼす影響について多段階研究を行なった。

2. 実験方法

2.1 試料

本実験に使用した試料はオースティナイト系ステンレス鋼SUS 304(寸法規格)で、直徑100 mmを先端を切断後、厚さ20 mmに端面旋削仕上げしたものと使用した。尚試料端面はかくさはHRB 78~84である。

ドリルの中心部およびマージン部の切削温度測定のため試料形状は図1。しかし熱電対の導入および測定位置を正確に

する目的で試料両端面にセクタードラムにより穴加工を施した。

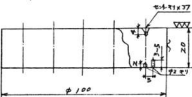


図1 試料形状

2.2 実験ドリルおよび切削条件

ドリルは市販のものでSKH9種で直徑10 mmの表面処理されたものを使用した。床面切削条件は表1の形態は

表1 ドリル諸元と切削条件

実験項目	切削条件	ドリル諸元
	車動因子	車動因子
モータエフフ	切削速度: C	ドリル先端角: A
切削温度	C1: 5.4%min	A1: 100°
マージン側	C2: 7.5%min	A2: 118°
切削温度	C3: 10.2%min	A3: 140°
切削動力		ドリルねじれ角: B
		B1: 23° (頭ねじれ)
		B2: 27° (中ねじれ)
		B3: 39° (尾ねじれ)
	固定因子	固定因子
"	送り速度 0.15 mm/cu	外周送り角 13°一定

表1 に示す。

2.3 実験方法

直立ボール盤を使用し、チャックにて固定した試験に刃溝付加工を行ひ、切削速度の測定について図2に示す方法により各穴にセットした熱電対（アルミニウムクロム 0.2 mm ガラスケール被覆線）より多点レコード器同時にドリル中心部およびマニン部の温度を測定し記録を行つた。

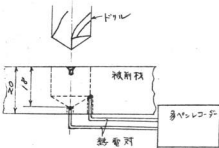


図2. 切削温度測定方法

切削動力につき直立ボール盤を用いてチャック付加工にて測定記録を行つた。実験は薄レース、くり返し回数を5回とし、各穴を順次孔にドリル後熱分析を行つた。その結果は図2の影響およぶ結果について検討を行つた。

3. 実験結果と考察

3.1 チゼルエッジ部の切削温度

ドリルの切削機構としてチゼルエッジ部での正圧作用が作用せず、シングルエッジ部ではドリルでは切削抵抗の3倍以上で切削抵抗を含むレースといわれドリルの先端を除く。図2に示すようにチゼルエッジ部が穴にあけ深さ 1.8 mm 加工時ににおける切削速度の影響を示す結果についての分析結果を表2に示す。この結果の附図、ねじ小角特性に下記

影響し、先端角につきても直角差が認められた。交互作用につき見て、ねじ小角 C₂、チゼルエッジ部の切削速度分析表

要因	偏差 ±2.5%	自由度 (f)	不偏 分散 (F _{0.05})	分散比 F _{0.05}	F _{0.01}
先端角 (A)	16.8%	2	8400	5.27	3.35 5.49
ねじ小角(B)	64.8%	2	32400	20.4	** *
切削速度(C)	32.0%	2	44100	27.7	* *
交互作用 (A×B)	10.5%	4	5125	3.22	2.73 4.11
(A×C)	55.0%	4	1375	0.86	** *
(B×C)	34.7%	4	8675	5.44	**
(A×B×C)	1.9%	8	863	0.54	2.31 3.26
誤差(E)	12.9%	81	15.93		
計		107			

角と切削速度とに高精度直角差が認められ、先端角とねじ小角につきても直角差が認められた。各因子の影響を図3、4、5に示す。図中の矢印は直角差の認められる方向である。図3はドリル形状の切削速度におよぼす影響を示したものである。図3はドリル形状の切削速度におよぼす影響を示したものである。

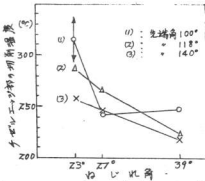


図3 ドリル形状が切削速度におよぼす影響

図より明らかに如くチゼルエッジ部の切削速度はねじ小角が大きくなるとともに

に低下する。先端角が小さくほど切削温度は高くなる傾向があり、すくい角が小さくなるほど被削材が塑性化するため熱吸収率は高くなり、また被削材加工時に切刃にカッタエッジが形成されやすくなることから切削温度は高くなる。

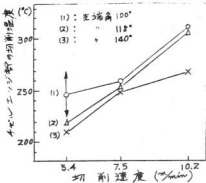


図4 切削速度におよぼす切削速度の影響

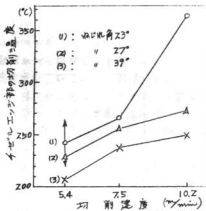


図5 切削速度におよぼす切削速度の影響

図4, 5 で切削速度の影響を示し、それによると切削速度が増加すると切削温度は上昇する。その増加比率は先端角、ねじれ角の小さいほど高くはる。

ねじれ角23°の場合非常に高温となる。すくい角による切削熱の発生原因としては切削速度の影響が一番大きくなる。

切削速度が高くほどと当然切削エネルギーは上昇し切削温度は高くなる。もう一方で切削熱の発生原因としてチゼルエッジ部のドリル化熱のためほとんど正常な切削作用を行わせず、大きな切削熱が発生する。その他の切削角の放出時の摩擦熱などがあげられる。切削作用から見て場合、ねじれ角を大きくするとすくい角より下くすくい角を大きくするほどより下くすくい角を大きくする、せん断抵抗が減少し切削熱の放出が容易になるほど切削熱の発生量少なくするところに、切削熱の排出面でも効果的である。以上の結果よりチゼルエッジ部の切削温度を低く押える条件としては、ねじれ角ドリルを使用し、先端角は大きく切削速度を低く押えることにより切削温度は低下傾向を示す。

3.2 メーカー部の切削温度

メーカー部の切削温度に与える諸因子の影響を表3に示す。

表3 メーカー部の切削温度分散分析表

要 因	偏 差 平方和 (S)	自由度 (d.f.)	不 偏 差 (S/d.f.)	多 变 数 (F)	F (0.05)	F (0.01)
先端角(A)	27300	2	13650	8.15	3.35	5.49
ねじれ角(B)	48700	2	20350	12.2	"	"
切削速度(C)	96700	2	48350	28.9	"	"
放 热 作 用 (A×B)	4820	4	1105	0.66	2.73	4.11
"(A×C)"	5720	4	1280	0.76	"	"
"(B×C)"	15900	4	3975	2.38	"	"
"(A×B×C)"	10400	8	1925	1.15	2.71	3.26
誤 差(E)	13600	81	1680			
新		107				

分散分析の結果、ドリル先端角、ねじれ角、切削速度とも高度有意義な説明が得られた。この中で最も特徴的な切削速度の影響が大きいことがわかる。各因子の影響に

つけては図6, 7, 8に示す。図6のドリル先端角とねじれ角の組合せによるマージン部の切削温度への影響につきではねじれ角が大きくなるほど切削温度は低下する。しかし先端角については一差程がカラホガツア。

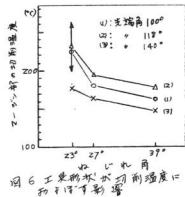


図6 工具形状が切削温度に及ぼす影響

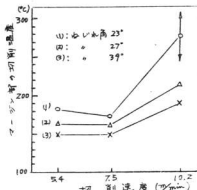


図7 切削速度が切削温度に及ぼす影響

図7, 8は工具形状と切削速度の組合せによるマージン部の切削温度への影響について示す。図7では、ねじれ角と切削速度の関係を示し、いずれの場合も条件ごとにねじれ角が大きくなるほど切削温度は低下し、切削速度が7.5 mm/min

附近まで一定の値を保つ。それ以後は切削速度が増加すると切削温度が比例して高くなる。増加傾向はねじれ角が大きいほどドリルが一番高い。

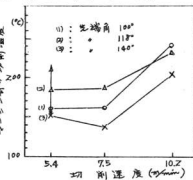


図8 切削速度が切削温度に及ぼす影響

図8は先端角との切削速度の組合せによる影響を示す。先端角と影響について一差程式で示す。先端角が118°の場合切削温度が一番高く、23°のものが最も低くなる。以上の結果より各因子が切削温度に及ぼす影響について、切削速度の影響が一番大きく、ドリル刃刃部ではマージン部が最大速度と殆ど、前報の研究でも明らかのように高圧化するにしたが、マージン部の摩耗が増大してかくまされてしまう。そのため切削温度は高くなりねじれ角の影響については図7に示すようにねじれ角が大きいほど切削温度は低下する。

ドリルのねじれ角は切削作用上、工具すくい角の密接な関係があり、ドリルすくい角の解析につけてはオックスフォード大学のウエイン等の報告があるが、一般的には次式のように示す。

$$\tan \theta = \frac{2\pi r}{L} \quad \text{--- (1)}$$

T: 伝導の量における半径

L: ドリルラバーリード

B: ドリル直角の角

(1)式よりねじれ角が大きくなるほど直角は増大し、功削速度が減少、せん断角は大きくなる切削作用に大きな影響を与える。これらはいすゞも切削温度の影響をあらわすことは K. J. Trigger⁵⁾などに予測証明されている。工具寿命につれても前報で報告したように大きな影響を与える。各部補足試験と併せてねじれドリルについて、切削温度は 23.4% 程度でありますから切削温度の上昇は比較的大きくあります。た。

3.3 切削動力につけて

各因子の正味切削動力に対する影響につき 9 分割分析結果を表 4 に示す。

表 4 正味切削動力の分散分析表

要因	偏差平方和 (S)	自由度 (d.f.)	偏差分散 (F₀)	F (0.05) (0.01)
先端角 (A)	2	2.44	3.35 5.49	
ねじれ角 (B)	2	58.4	" "	
切削速度 (C)	2	154	" "	
交互作用 (A×B)	4	2.73	4.11	
(A×C)	4	4.95	" "	
(B×C)	4	4.20	" "	
(A×B×C)	8	1.18	2.31 3.26	
誤差 (E)	81			
計	107			

2) 結果、ねじれ角、切削速度の影響が特に大きいです。交互作用につけては、ねじれ角の組合せは A×B 有意差が認められ、各因子の組合せに対する正味切削動力への影響については図 9, 10, 11 に示す。

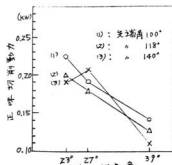


図 9 工具形状が切削動力に及ぼす影響

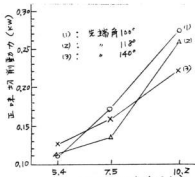


図 10 切削速度に及ぼす切削動力の影響

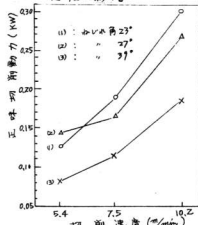


図 11 切削速度に及ぼす切削動力の影響

図9では工具形状の影響を示し、ねじれ角が増大するごとに切削動力は減少する。図10、11には切削速度と工具形状による組合せ条件による影響について示す。この結果、先端角については一定傾向がつかめず、切削動力は切削速度に比例して増加する。

ねじれ角の影響は図11によらずに特に強ねじれドリルの場合、切削動力値は他のねじれ角ドリルに比較して相当低く、この前進歯数が前機構により切れ味、切削の排泄性によつたらしく思われる。

4. 総 言

各種ドリルによるSUS304の穴あけ加工で工具寿命に与える影響の大きさについても、切削条件や工具形状を変えて場合の切削速度の測定を行い、つきの結果を得た。

(1) チゼルエッジ部のみで行う場合、正常な切削作用が行われる切削速度に比較して切削温度は高くなる。

(2) 切削速度に与える影響は切削速度が一番大きく、チゼルエッジ部では速度の増大にしたがって温度は上昇するが、バージン部では、ある一定速度(本実験では 7.5 mm/min 程度)までは切削温度は殆んど変化がつかれず、それ以上で速度を徐々に急速に上昇する。

(3) ドリル形状の影響としては、ねじれ角の影響が大きく、チゼルエッジ部、バージン部ともねじれ角が大きくなるにつれて切削速度は切削温度は低下する。

先端角の影響については、チゼルエッジ部では先端角が大きいほど切削温度は低下するが、バージン部については一概

様が認められなかつた。

(4) 切削動力は切削速度の上昇に比例して増加し、ねじれ角によつて左右される。ねじれ角で最大値となり、ねじれ角が大きくなるとそれが減少する。

(5) 本実験における切削温度は傾向は全くドリルのステンレス鋼におけるドリル荷重と実験傾向と全く一致する。

(6) ねじれ角で先端角の大きいドリルでは切削速度をあげても切削温度の上昇はほとんど及ばない。

文 献

- 1) 正岡他; 本報告15号(1972)
66
- 2), 5) 山崎他; 本報告17号(1974)
98, 101,
- 3), 4) 佐久間; 穴あけと穴加工用工具の
設計, 機械工芸全書 1030
(1973) 4~24
- 6) 田中; 精密工作法(上) (1962)
51~52
- 7) 金牛; 機械技術研究月報 Vol. 28
(1974) 1~7

吸音キャビネットの試作研究

斯波信雄

六 横 言

最近、工作機械の省エネルギー化・自動化が進むにつれて、その駆動源として油圧機器が多數使用されるようになり、油圧ポンプの発生騒音が問題になってくる。油圧ユニット全体の騒音低減をねらうとする場合、油圧機器車体の改良とか油圧タンクあるいは配管系の防振を行なうこと等によりユニット全体の騒音低減を企てる方法と、油圧ユニットとは独立に防音を目的としたものを使用する方法とが考えられる。後者の場合の最も簡便な方法が防音カバーによる防音であり、本報告はN/C機で使用されている油圧ユニットについて防音を目的とした吸音チャビネットを試作し、その効果を検討したのである。

2. 実験方法

試作した吸音キャビネットは、マニヤ板の内側にグラスウールを貼り付けて簡易本そので、その寸法 構造を因り及証図2に示す。また駆動源としては AC 駆動用の油圧源を使つた。油圧ユニットの仕様は次のようである。

卷之二 寶貴 408

E-9 形式 0.75 kW 4P

ホンダ形販 H V P - V C /
- F Z S A 3

清正源先生一々付口上、作動

油の温度上昇は軽くないので完全密閉にはできず、強制吸・排気を望む。そこで空氣の吸・排気口としてキャビネットの底部をそれと/or 20 cm, 10 cm づつ開けておいた。また実験としてはのマニヤー箱を作り油圧ユニットを圍っただけのもの、④それとガラスウールを内貼りしたものの⑤さらと空氣の吸・排気口に吸音パイプを設けたもの、の3通りの測定を行った。吸・遮音材は次の様である。

總音材：約三十二（極厚 6mm）

吸音材：グラスウール

(25mm 粗度 10kgf/mm²)

吸畜ハイド: デラスウール保溫筋
騒音の測定は図3の如くで、NC 旗盤の
設置場所で NC 韻と油圧ユニットを接続
した状態で行う。

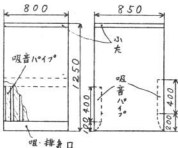


図1 咳音キャビネート全集団

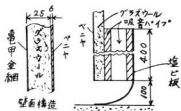


図2. 部分詳細図



図3. 配置図と測定位置

使用した音響測定計器は次のとおりである。

精密騒音計 リオン NA-51

1/3オクターブ分析計 リオン SA-56A

高精度レマルルコ-7 リオン LR-01A

測定距離は吸音キャビネット外壁から
1mとし、マイク高さは50cmとした。
測定の方法は JIS Z-8731「騒音レベル測定方法」準拠した。

3. 測定結果と考察

測定結果を図4～図6に示す。本お測定結果はキャビネットなしの状態と測定③の吸音パイプを設けたものの結果のものを示す。キャビネットなしの状態は――、消音ダクト設置の場合を—×—として図示した。因からわかるよう、油圧エニットの騒音は800Hz～2500Hzのレンジで周波数成分が主である。吸音キャビネットの効果としては8～10dB程度が

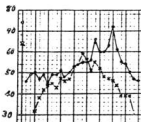


図4. 点1における騒音特性

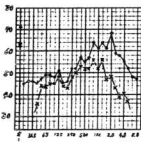


図5. 点2における騒音特性

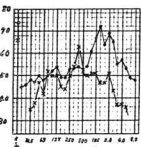


図6. 点3における騒音特性

認められる。しかし、マニヤ板がナゼ作られた場合と云ふ、グラスウールを内貼したダクトの場合、即ち吸音パイプを設け本ねた場合はキャビネット下部を開け左壁・構造材より音が漏れて、キャビネットとしての効果是ぎ參る。

4 結 言

以上の実験結果より、簡易な吸音サヤ
ピネットで、閉口部（この場合は空気の
吸・排気口）に食をつけるすれば、8~
10dB程度の騒音低減ができることがわ
かった。また壁面に対する配慮とか、吸
音材の厚さを増す、吸音パイプを工夫す
る、等により多少の効果の上昇が期待
できるものと思われる。

現場向き簡易弾性荷重計の試作

永山博夫

1. 緒言

中型企业において、荷重を測定する場合、ロードセルを使用するに特別な電気装置を必要とし、又市販の環状荷重計を使用するに高価なものとなる。これに対し本実験で試作した弾性荷重計は、力の変位に反映する製作容易なフレームとの変位を読み取る為のダイヤルゲージのみがあればよく、中型企业においても簡単に製作でき、校正さえ正しく取れていれば、高精度の力の感受器として使用できる。

このような特長を持つ弾性荷重計を試作し、有限要素法による解析を行なった結果、比較的良好的な結果を得たので報告する。

2. 実験方法及び結果

試作した弾性荷重計（以下「荷重計」と略す）を最大荷重 100kgf で校正し、その各部の寸法を図 1 に示す。

荷重計の校正は、オートグラフ（島津 IS-5000）により 20, 40, 60, 80kgf の荷重を加え、その時のたわみを 0.001mm 目盛のダイヤルゲージで読み取った。ただし荷重のくり返し数は 3 回である。その結果を表 1 に示す。

有限要素法による解析には必要な剛性係数を求める為、荷重計の製作に使用した材料より図 2 によつて試験片を製作し才

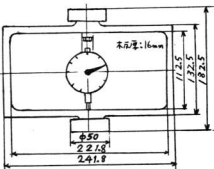


図 1 荷重計の形状

表 1 荷重計の校正結果

荷重 (kgf)	フレーム中央のたわみ(mm)		
	1	2	3
20	0.148	0.148	0.149
40	0.293	0.293	0.292
60	0.439	0.437	0.436
80	0.586	0.585	0.585

一トゲラフにより 200, 400, 600, 1000, 12000kgf に荷重を加大し、最小二乗法により応力と歪との関係を一次回帰式で取る。その傾きを継弾性係数として求めた結果 20.05kgf/mm^2 を求めていた。ただし荷重のくり返し数は 3 回である。本実験に使用した 0.01mm 目盛のダイヤルゲージの広範囲行き精度は $4\mu\text{m}$ 、狭範囲精度は $2\mu\text{m}$ であった。

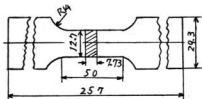


図2 截頭片の形状

3. 有限要素法による解析結果と 考察

有限要素法で解析を行った場合、どの要素を使用するかが問題となるが、本解析においては、荷重計中更節りたみを構成よく本の子こと及び使用した電算機(FACOM MU-200)の記憶容量による制限から4はり要素(平面ラーメン要素)を使用した。

図3に解析条件を示す。解析領域はフレームの対称性により全体の1/2である。要素分割数は16である。節点1はY方向と傾き、節点15は傾き、節点16はX方向と傾きとするが拘束されている。荷重は、本実験の場合は万能荷重であるのでそれと等価な節点力(曲げモーメントを含む)に置き換えて計算を行なった。

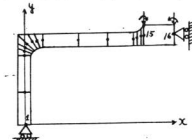


図3 解析条件

各要素の断面二次モーメントは、要素の面端面ににおける断面二次モーメントの平均値とした。

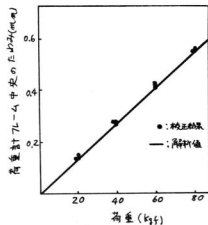


図4 荷重と荷重計フレーム中央たわみとの関係

解析結果と較正の結果とともに図4に示す。図4より解析値と較正值は比較的よく一致しており、解析値が較正值と比べて小さき値となっている。これはせん断歪の影響、ダイヤルゲージの精度、弾性係数の誤差等によると考えられる。

4. 結 言

本実験の結果を次に要約する。

(1)荷重計は比較的簡単に製作でき、較正さえすれば高精度の力の測定器として使用できる。

(2)はり要素を用いた有限要素法による解析値は、較正值と比較的よく一致した。

(3)本実験では、荷重計フレームの材料としてSS400を使用したが、これを用いて高級な材料を使用すると、荷重計はより小型化され、高容量のものができる。

文 献

- 戸川; FORTRANによる有限要素法入門 サイエンス社(1974)

塑性加工に関する研究(第12報)

高炭素鋼の割れ限界について

鈴木 寛, 土取 功, 加城 正義

1. 緒言

高炭素鋼の冷間成形は必ずりなどのロータリースエーリング加工に利用されようとしているが、この場合、加工時の変形抵抗と同時に割れ限界をつけても十分検討する必要がある。高炭素鋼の割れ限界は加工時の材料組織に大きく影響を及ぼすと考えられるので、高炭素鋼を熱処理して、組織を粗大化ペーライト、麻状化セメンタイトなどとし、組織差が圧縮加工時の割れ限界に与える影響を求めるため本研究を行なった。また加工速度、加工温度の影響についても調べた。

2. 試料と実験方法

2.1 試料

本実験に使用した試料の化学成分を表1に、熱処理、かたさおよび組織を表2に示す。また試料の大きさは69×9.697とした。

表1 試料の化学成分(SKS8)

C	Si	Mn	P	S	Cr
1.22	0.28	0.24	0.006	0.016	0.10

2.2 実験方法

実験方法は、如き万能試験機とカムアラストモーターにより圧縮試験を行ない、割れ限界値を求めた。使用した加工速度と加工温度はともにそれ0.1~120 mm/sec. -78~500°Cの範囲である。かたさ測定はロックウェルCにて試験片のBスケールを使用した。

3. 実験結果と考察

図1に各試料の組織差が割れ限界における影響を示す。この図から麻状化セメンタイト組織は網状化セメンタイト組織よりも割れ限界までの加工度があるよも30~35%向上している。次に圧延素材では加工度40%附近から割れが発生していくが、麻状化セメンタイト材では75%附近とおよそ石焼近く割れ限界が向上し、ロックウェルCでかたさ試験片で加工履歴状況を調べると、麻状化セメンタイト材はBスケール91~110と大きく麻状化しているのに比べ、圧延材はBスケールで石焼度麻状化しているにすぎない。また割れ

表2 試料の熱処理、かたさ、組織

試料記号	熱処理	かたさ(HRC)	組織
R	圧延のみ(素材)	108	ペーライト+網状化セメンタイト
C-P	940°C×40min→焼冷	101	粗大化ペーライト+粗大化網状化セメンタイト
S-S-C	760°C×30min→焼冷	96	フェライト+粗大化セメンタイト
S-C	760°C×120min→焼冷	91	フェライト+麻状化セメンタイト

発生後の各試料のかたさはBスケールで
いづれも110附近である。次に

図2は加工速度が割れ限界に与える影響
を圧延素材について示しているが、加
工度を30mm/secと比較すれば、割れ
発生までの加工度が4%低下するのみで、

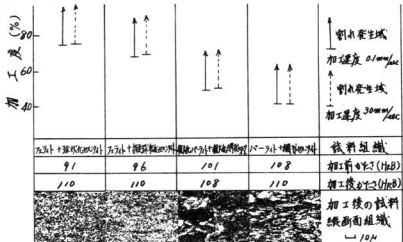


図1. 各組織と加工度(割れ限界)との関係

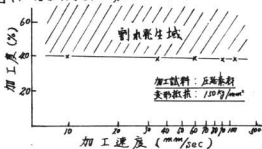


図2. 加工速度と加工度(割れ限界)との関係

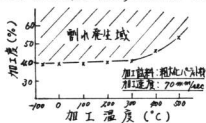


図3. 加工温度と加工度(割れ限界)との関係

加工度が増加すればわざかに割れ発生す
る加工度が低下している。加工度

10 mm/sec と 120 mm/sec と比較すれば、割れ
発生までの加工度が4%低下するのみで、

このことから加工速度が割れ
限界に与える影響は少ないと
考えられる。

図3は加工温度が割れ限界
に与える影響を粗大化バーラ
イト材について示しているが、
加工温度が 300°C 以上で、急激
に割れ限界値が向上する。二
小は加工限界よりも加熱によ
る試料の再結晶が大きく影響
したためと思われる。また加工温度が
 300°C 以上になると、割れ限界は急激に上
昇する。

4. 結 言
高炭素鋼の圧延加工時の割れ限界につ
いて調べた結果、つきのようなことが明
らかになった。

1. 精耕化やメンテナントを実現化すれば加工度が向上して割れ限界は75%に達し、かなりの冷間成形が可能となる。
 2. 加工前の粗耕にかかるらず、割れ発生限のあたりはHRB110附近となる。
 3. 加工速度が割れ限界におけるず影響はない。
 4. 加工温度300°C以上で割れ限界は急激に上昇する。
- このことを利用して現在火造で成形しているやより冷間加工が可能であればロータリースエーリング加工を行ない工程の省力化をしない。

浸炭硬化層とかたさ測定値の相関性*

鈴木 宽, 加城 正義

1. 緒 言

浸炭硬化層を測定する手段として、マグロ組織試験やピッカースかたさ分布曲線から浸炭硬化層を測定する方法と、簡便な方法としてスパーフィシャルかたさ試験機による浸炭硬化層あるいは浸炭表面のかたさを求める場合とがある。試料表面からの浸炭硬化層測定は非破壊的に短時間で測定できるなど大きな利点があるが、浸炭素材の化学成分などに浸炭硬化熱サイクルを明らかにしておく必要がある。昭和44年度、技術開発研究費補助事業による研究でスパーフィシャルかたさ試験機で表面のかたさを測定した結果、表面のかたさと浸炭硬化層に相関性が得られたので、今回このことを利用して、浸炭野品の硬化層測定を行なう目的で本研究を行なった。

2. 試料と実験方法

2.1 試料

実験に用いた試料はSPCC材で、この化学成分を表1に示し、大きさは $15 \times 10 \times 2$ (mm)である。

2.2 実験方法

試料の浸炭硬化熱サイクルを図1に示す。

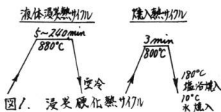
かたさはロッカウェルかたさ試験機を用いて、試験荷重 $20 \sim 150$ kg の範囲で測定した。

*第18回日本金属学会中四国支部講演大会に発表

顕微鏡測定による浸炭硬化層は実験試料の横断面を倍率100倍で測定し、表面からアエライト組織が現われるまでの距離とした。

表1. 試料の化学成分

	C	Si	Mn	P	S
SPCC材	0.04	0.01	0.33	0.016	0.022



3. 実験結果と考察

図2は液体浸炭後、 10°C 水焼入した試料表面を種々の試験荷重で測定したかたさ測定値と浸炭硬化層の相関性について表わしている。図中の各線の水平部は表面かたさが得られる範囲で、こう配分は浸炭硬化していない組織の影響を受けている範囲である。試験荷重が大きいほどこう配分が広範囲になる。本実験はこう配分を利用して浸炭硬化層を測定するのだから荷重ほど有利である。

図3は 180°C 塩浴焼入した試料表面の測定結果であるが、図2と同様な傾向を持つ曲線である。しかし塩浴焼入は水焼入に比べてこう配分が広く、また同荷重で

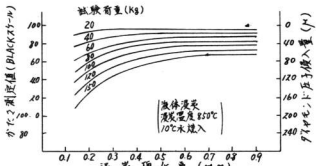


図2. かたさ測定値と浸炭硬化層の関係

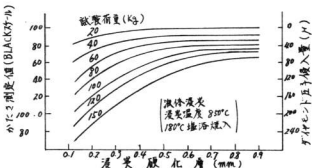


図3. かたさ測定値と浸炭硬化層の関係

はダイヤモンド圧子侵入量が大きくなっている。このことは塗浴焼入した場合、浸炭硬化層表面部に残留オーステナイトが水焼入に比べ多いことと、焼入性の低下による焼入トルースタイトが水焼入に比べ多いことに原因があると思われる。

写真1は浸炭硬化層の組織のタイプと試料表面からのピッカースかたさ分布を示し、同時に顕微鏡による浸炭硬化層とロックウェルかたさ試験値により求めた浸炭硬化層を比較している。

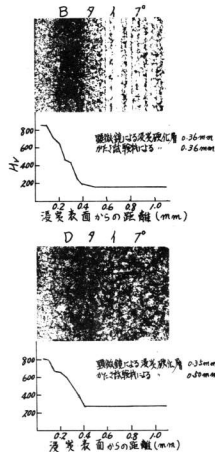
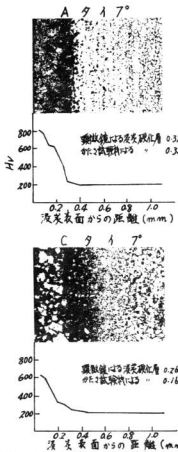
Aタイプは浸炭硬化層と素材組織との境界がはっきりしており、かたさ試験値による測定が顕微鏡測定よりもわずかに

浸炭硬化層を大きく測定する傾向にある。BタイプはAタイプには比べ浸炭硬化層と素材組織との境界面が不明瞭であり、顕微鏡測定も、かたさ測定も同程度の浸炭硬化層の測定値を示した。

Cタイプは浸炭硬化層に黒い組織の焼入トルースタイトが射出し、焼入性が悪いと現われる組織である。この場合顕微鏡測定がかたさ測定よりも大きい測定値となる。

Dタイプは素材中心部まで低炭素マルテンサイト組織であり、かたさ測定が顕微鏡測定よりも大きな浸炭硬化層を示している。

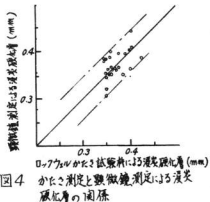
これらの組織の違うタイプは素材の化



写1. 浸炭硬化層の種類

等成分および浸炭硬化熱サイクルなどの影響を大きく受ける。

図4はロフウェルかたさ試験機により浸炭硬化処理した実用部品の表面かたさを測定し、図3の試験荷重150kgのかたさ測定値に対応する浸炭硬化層を求めたものと、顕微鏡により求めた浸炭硬化層の関係を示している。この図から、かたさ測定による浸炭硬化層の測定誤差範囲が±0.05mm以内であることがわかる。



4. 結 言

浸炭硬化層とからき測定値について下記のような結論を得た。

1. 浸炭硬化層を求める場合、高荷重測定が有利である。
2. 試験荷重150kgで水焼入と塩浴焼入とでは、それぞれ0.6mm, 0.8mmの浸炭硬化層測定が可能である。
3. 浸炭硬化層0.3~0.4mmの範囲内では、ロッカウェルからき試験値から測定値から求めた浸炭硬化層と、銀鉛錠測定から求めた浸炭硬化層との誤差は±0.05mm以内である。

構造
設計
あるいは
環境
ユーザ
医生さ
一方
破壊
目的に
構造物
ながく
り、取
され、
クロス
フある
に開け
ちの口
を開け
係ある
面積は
討され
はづ
る0.1
称と石
プロ
の物質
ツチ
觀察
定さ

破面解析に関する研究(第一報)

(構造用鋼の衝撃破面について)

横山 宏樹, 新田 明, 鈴木 寛
土取 功, 加城 正義

1. 緒 言

構造物は使用中に破壊を生じないよう設計されるが、設計ミス、不注意な施工あるいは不注意な操作によりしばしば破壊損傷をおこし設計者と施工者、またはユーザーとメーカーとの間にトラブルを発生させる。

一方構造物の破壊事故が発生した場合、破壊破面を直譯、マクロ的あるいはミクロ的に観察し破壊機構を追究することが構造物の安全ならびに将来の設計上重要なポイントになることは察知のことであり、破面解析として数多くの文献が紹介され、最近は走査電子顕微鏡の普及でミクロ的な破面解析は急速な進歩をとげつつあるが、従来までデータは疲労破壊に関するものが多々、衝撃破壊に関するものは少ないので、定量的なものとしてはへき開ファセット寸法と脆性遷移温度の関係およびへき開領域とディンプル領域の面積比と衝撃値^{リリフリ}⁴⁾の関係などが検討され良い相関が得られている。Yoder⁵⁾はマルエージング鋼の衝撃破面に現われる0.1～1mm程度の間隔の巨視的な織模様と破壊脆性の相関性の存在を指摘し、プロセスゾーン寸法の関係において、その物理的意義を論じている。またストレッチゾーン幅と破壊脆性の関係を求めた報告⁶⁾があるが、現段階では非常に限定された条件下のみで利用されるデータ

だけである。

そこで筆者らは今回、高温焼もどし脆性現象の問題を取り上げた。これは構造用鋼を焼もどし温度に加熱後急冷すると脆性が著しく低下する現象で、Cr, Mnを含む鋼に著しく、Niを単独に含むものは影響が少ないがCrなどと共に存すればこれを助長し、MoとWの添加はこれを防止するといわれている。またこの脆性は脆化したものと再加熱、急冷すれば脆性状態にもどること、脆性のあるものを500°C附近に長時間再加熱するとたとえ急冷しても脆化がおこるなどの特徴をもつていて、発生原因については統一した見解が確立されていない。常温の引張試験では脆化した方が引張強さ、降伏強さはわずかに高く、伸び、伸びはわずかに低くなる傾向を示す程度ではほとんど変りなく、衝撃値のユラが低くなる⁷⁾ことが知られている。実用の鋼種としてはJIS規格のSNC相当のものであるが、前記のように焼もどし加熱後急冷すれば問題はない。ところが最近低合金鋼材を使用して構造物の著しい大型化とともに焼もどし、あるいは応力除去焼なまし過程での冷却速度が遅くならざるを得なくなり、それほど問題にならなくなつた焼もどし脆化が両側表面に浮上した感がある¹⁰⁾ので2種類の構造用鋼について、熱处理履歴の異なる試料を作製し、衝撃破面から熱处理理

(焼もどし) 条件の良否の判定方法とか、破壊破面と衝撃値の対応などの関係を究明するため本研究を行なった。

2. 試料と実験方法

試料は表1に示すような化学成分をもつJIS規格のS35C, SNC3の2種類の鋼材を使用した。両鋼材とも20mm丸棒から $20 \times 10 \times 20$ mmに荒加工したものと図1に示すような条件で電気マッフル炉を用いて行なった。焼入れにおける急冷はS35Cで水冷, SNC3は油冷を行なった。その後電気炉で $450\sim650^{\circ}\text{C}$ の5水準の焼もどし温度を選定し、各温度に1時間保持した。冷却条件は水冷と炉冷である。熱処理の完了した試料を機械加工後JIS Z 2202の金属材料衝撃試験片(2mm U/1/2付)に準じて作成したが、観察条件等を考慮して $10 \times 7 \times 55$ mmと厚みを正規の試験片の半分にした。

衝撃試験は(株)京衡機製作所製ウツチャルビー衝撃試験機(秤量30kg·m)を使用した。試験時の室温は 13.5°C である。

かたさには(株)明石製作所製の運動ロックウェル計で4試料中、2試料を無作為に抽出し、各試料3箇所測定した。

電子顕微鏡による破面觀察は日本電子(株)製の走査電子顕微鏡JSM-U3を使用して、全試料について行ない、一部の破面の写真撮影を行なった。

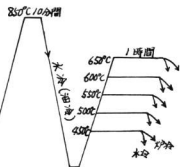


図1 試料のヒートサイクル

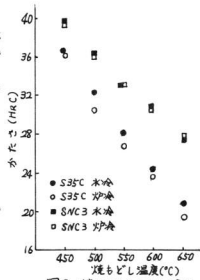


図2 焼もどしによるかたさ変化

表1 試料の化学成分(%)

鋼種	C	Si	Mn	P	S	Ni	Cr
S35C	0.35	0.25	0.94	0.013	0.009	—	0.19
SNC3	0.33	0.30	0.69	0.018	0.017	3.24	0.77

3 実験結果と考察

各熱処理後の代表的な顕微鏡組織の変化の模様を撮影した結果が写真1で S35C とともに均一なソルバイト組織であり、焼もどし温度が上昇するに従って炭化物の凝集が進み、炭化物粒がやや大きくなっている。特に S35C において著しいのは当然である。しかし焼もどし加熱後の水冷・炉冷の差は S35C, SNC3 とともに全く識別が困難であった。

図2は焼もどしによるかたさ変化をプロットしたもので、1点は2試料で6個の測定値の平均である。この図から焼もどし温度が高い程焼鋼種とともにかたさの低下が認められるが、焼もどし温度の大きい SNC3 は S35C に比較して 440°C で HRC3 程度高く、 660°C の高温度の焼もどし後は HRC7 と顯著な差を生じている。従来高溫焼もどし脆性を起こした特殊材料とそうでない急冷した韌性の高い材料のかたさは前者若干高いといわれてあり、筆者らの準備実験においても SNC3 を 500°C 焼もどして HRC6.3 とせずかに採冷して試験が高かったが、本実験では図2のよう S35C は並に水冷の試験で HRC1 程度、大きいくとこで HRC1.7 程度高くなっている。SNC3 では水冷・炉冷の差は全く無いといってよい。

図3は焼もどしによる吸収エネルギーの変化をプロットしたもので、1点は4試料の平均である。S35C は水冷・炉冷の差は認められず SNC3 は吸収エネルギーの差は認められ、特に高温度の焼もどしにおいて顯著である。

図4はかたさと吸収エネルギーの関係をプロットしたもので全体としてはかたさ

が高い程、吸収エネルギーが低下している。S35C においては水冷・炉冷の差は認め難いが SNC3 は水冷・炉冷の吸収エネルギーの差が顯著である。

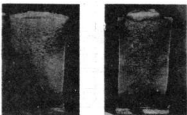


写真2 衝撃破面のマクロ写真。

写真2に代表的なマクロ写真を示した。このような破面写真からマクロ的塑性破面率と吸収エネルギーとの対応を検討したが、相間の程度が極く利用できない。その理由としては走査電子顕微鏡で詳細に観察してところ、脆性面と混わる部分にも Dimple が認められ、マクロは観察での破面判定の精度に問題があることが明確になった。

衝撃破面は破壊起始部に Fibrous (繊維状) を呈し、ついで塑性破裂部と拡大した Radial (放射状) 部分、最後にせん断的に破壊した Shear lip 部の3つの部分から成立しており¹⁾。Fibrous 部は写真3に示すようにすべての試験において繊細な Dimple が構成され、その大きさは焼鋼種、熱処理によるちがいが認められた。Radial 部については SNC3 の 440°C , 500°C の水冷、 $440\sim660^{\circ}\text{C}$ の焼もどし各試験は写真4に示すように擴へき開の破壊形態を呈して個所が多く認められ、吸収エネルギーが小さくなっているものと思われる。焼もどし温度が高くなるにつれて微小な Dimple の中に大きな Dimple が多く存在するようになら

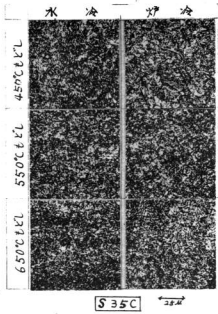


写真1 热处理による组织変化

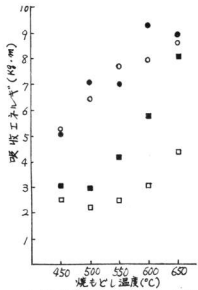


図3 焼もどしによる吸収エネルギーの変化

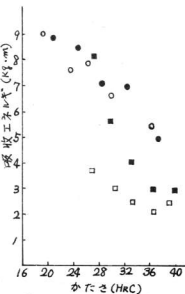
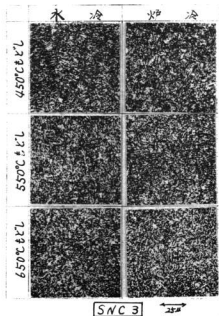


図4 かたさと吸収エネルギーとの関係

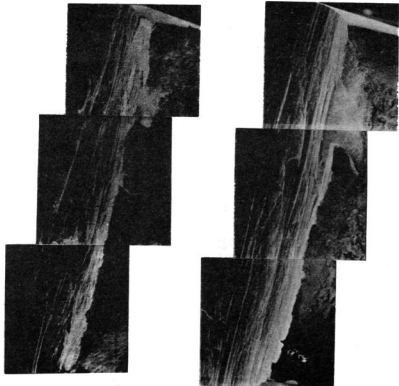
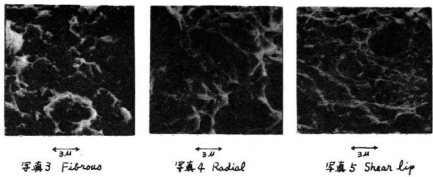


写真6 切欠底附近

のが認められ、高温度に至る程度化物の凝集が進み、より大きな孔模となり Void の大きなものが発生するものと思われる。写真 5 はそれである。Shear Lip 部はすべて Dimple で覆へき開は認められなかつた。破壊起因は試料の切欠き附近にあたるが、その部分を入念に観察した結果 焼もどし温度が高く吸収エネルギーが高い場合には破壊起因の近傍にミクロ的あるいはマクロ的に割れでさき割れが認められ、吸収エネルギーが高い焼成面からの距離も大きく、數多く多いうえに割れす法も大きくなっている。吸収エネルギーの低い SNC3 の 500°C 燃焼においては、それはさほど認められなかつた。従ってこの割れが吸収エネルギーと何らかの関連があるものと思われる所以、今後引続き検討するつもりである。一例を写真 6 (a)(b) に示す。

4 結 言。

本研究を要約するとつきのようになる。
 (1) 常炭鋼 (S35C)においては高温焼もどし脆性は考慮しなくてよい。
 (2) SNC3 の焼もどし脆性の判定は、焼もどしの実用範囲 (450~650°C) での条件で Radical 部の凝へき開破壊を有無で確認できる。
 本研究で求めた結果にはまだ問題があり、データの集積あるいは試料復量の影響など予明な点を解明し、実用化できるデータとして積上げ、業界中小企業より当試験場にもちこまれる衝撃破壊による事故品の原因究明に利用したい。

5 文 献

- 1) 大谷・ほか 5 名, 鋼と鋼, 58(1972)434

- 2) 大谷・寺崎, 鋼と鋼, 58(1972), 185
- 3) 寺崎・大谷, 鋼と鋼 58(1972), 1067
- 4) 中島・荒木, 鋼と鋼 58(1972), 1067
- 5) Yoder, GR, Metallurg. Trans. 3(1972), 1851
- 6) Brothers, A. J., ほか 5 名, ASTM STP 693, (1971), 3
- 7) Wolff, V.E., ASTM STP 693(1971), 20
- 8) 鋼の熱処理, 日本鉄鋼協会編
- 9) 鉄鋼材料便覧, 日本国産学会, 日本鉄鋼協会編
- 10) 沢田・徳田, 鋼と鋼 61(1975), 331.
- 11) 金属材料 13(1973)

オースフォームによるやすり用 日立たがねの試作*

土取 功, 吉岡 善一, ** 加城 正義

1. 緒 言

やすり用目立たがねは高硬度鋼4種、
又は一部超硬合金で作られていい。超硬
合金は脆く、刃先先端が鋸歯で使えない
といいう欠点があり、又高硬度鋼はオホ
と高くすれば刃先が折損しやすく、オホ
と立派くすれば摩耗过大となりが早期に生
じるので、現在HRC62~64に調節してい
るが、いずれも耐用命数が十分でない。

これらのやすり用目立たがねの耐久性
を向上させるために、オホさが上昇し
て、1ガモ剛性が低下しないオースフォーム
処理によるたがねの試作を行ひ、良好な結果が得られたので報告する。

2. オースフォームについて

鋼立波を主オーステナイト範囲で加工
(成形)したのち、マルテンサイト変態
を起こさせ、適当に焼直すと、強度の増
加が著しく、1ガモ剛性がほとんど低下
しない(むろと上昇)点で大きな特長があ
る。この処理法がオースフォームと呼ば
れるものである。

図1のよう、高硬度鋼、タイス鋼あ
るいは高合金鋼のように、TTT曲線の房
が大きい鋼で、一定オーステナイト範囲
が550~650°Cの温度にて一旦冷却し
、準安定オーステナイトの状態で成形加
工をされたのち、焼入れてマルテンサ
イト変態させるものである。またオース

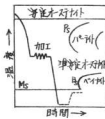


図1 オースフォーム処理

フォーム処理は(1)炭化物形成元素立波
鋼(2)準安定オ
ーステナイト領域
の深い鋼に有効で
あることがあわが
い。

この鋼の強化法は1951年、R.F. Harvey
が初めて実証し、その後、E.M. Lipsらが
圧延により鋼立波をオーステナイト域
で加工して、焼入山火材料がこれまで高い
強度を持つこと立証¹⁾。1958年頃ガ
ラFord Motor Co.のZakayらが詳細な研
究を行ひ、国際ではその強化機構につ
いて田村²⁾らが研究を行ふ。とい。

3. 試料と実験方法

3.1 試料

実験に用いたたがね用素材の寸法は
X38×50でその鋼種と化学成分立表³⁾に
示す。

表1 試料の化学成分(%)

鋼種	C	Si	Mn	P	S	Cr
SKH4A	0.81	0.29	0.30	0.25	0.03	3.98
SKH9	0.82	0.34	0.26	0.02	0.025	4.12

W	V	Co	Mo
18.20	6.19	10.12	—
5.18	1.78	—	4.58

* 鋼処理技術協会「鋼処理」に掲載中
** 重万能製作株式会社 目立工場長

写真1は試料の顕微鏡組織写真で、炭化物は両方とも良好に球状化している。

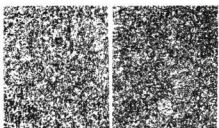


写真1 実験材料の素材顕微鏡組織
SKH4A 左 SKH9 右

3.2 実験方法

大ガ内のオースカルムによる試作工程は図2に示す通りである。8×8×50に切断した素材をフーケスせし、目測により900°Cに予熱後、20kWソルトバスで、1000~1100°Cに加熱して、先端を3mmの厚さにベルトハンマーで成形した。その後、直ちにコーカス炉に送り、5~10分保持後、ソルトバスでSKH4Aは1300°Cで、SKH9は1220°Cでそれぞれ2分間加熱した。ついで600°C浴槽に急冷し、4分間保持したのち、ハンマーで先端厚さ1mmまで成形してから焼入れを行った。なお、ニニでの成形では加工中大ガ内の温度がMs点以下にはなるないようにした。



図2 大ガ内のは試作工程

試作した大ガ内は、ガタカ分布までイクロビッカースガタカ試験機で測定し、

電子顕微鏡との組織立視察した。また目測による温度50~700°Cの準安定オーステナイト域における変形抵抗支点ムアラストメータで測定して検討した。

4. 実験結果と考察

4.1 オースカルムによる大ガ内ガタカ

オースカルムによる大ガ内ガタカ分布を図3に示す。①②とも大ガ内先端部附近が最も大きく、以後漸次下降低となり、通常の熱処理の焼入しかた近くまで落ちている。ニニは実質的にオースカルムを行ったのは刃先近傍であり、先端へいくほど、加工度が高くなるので、先端部附近のガタカが最も高くなると考えられる。図中③は従来より使用されていきたが内のガタカ分布で、ニニはSKH4Aを通常の熱処理で、HRC63~64程度に鋼質したものである。

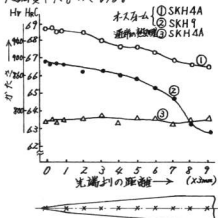


図3 大ガ内のはガタカ分布(焼入れ時)

一般にオースカルムによる強化に最も影響のある因子は準安定オーステナイト域での加工度であり、加工度の増加と、

引張り強度やガタツの増加は直線的勾配
係にあることわざっている。²⁾

SKH4Aでは光端附近で HcL 68.5近くで、
これは通常の熱処理でも最高ガタツ HcL
67~68程度は可確さるので、HcL2+1程度
の増加上なっている。1ガタツガラ通常
の熱処理で最高のがたツにしたもののは難
しくて使用に耐えない。SKH9では HcL 67
近くで通常の熱処理したものより HcL 67
+2程度の増加上なっているが、一般に
SKH9の方が SKH4A よりもオーストーム
効果があると云われていて種々の報告に
おいても明かにされている。^{2), 3)}

図4はオーストームしたものの焼成と
温度とガタツの関係を示すもので、通常
の熱処理の焼成と二次硬化附近(450~650
℃)で行う。大。

SKH9では 525°C附近で、ガタツのヒー
クを示し、SKH4Aでは焼成と温度によ
るガタツの顕著な差は認められない。

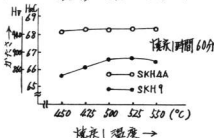


図4 オーストーム後の刃先光端部の
焼成と温度とガタツの関係

一般にオーストームしたものは焼成と
軟化抵抗が増大する上も、二次硬化
が明瞭でなくなりなどの特徴がある。²⁾

(ガ) オーストーム処理の焼成と關
する報告は多く、ガタツ(強度)-焼成-
焼成と温度(時間)等の關係についても一
貫した明確なデータがない。

4.2 準安定オーステナイト域における 変形抵抗

高強度鋼は高合金鋼で、準安定オース
テナイト域においても、ガタツ高い変形
抵抗を有すると言われている。ハンマー、
プレスの容量等からも変形抵抗を知って
おくことは必要である。 $\sigma = E \cdot SKH9$ を
焼成の温度まで加熱し、準安定オーステ
ナイト域(目測で 500~700°C)でカムプロ
ストメーターを用いて表2のよう変形
抵抗を求めた。

表2. SKH9の準安定オーステナイト域の変形抵抗
(温度 = 1 (500~700°C))

試料板(mm)	片側(mm)	最大荷重(kg)	変形抵抗(%)
4.3×4.5×2.3	0.378	3.8	140.7
4.4×4.6×2.0	0.553	5.0	142.2
5.5×5.6×2.79	0.518	6.5	152.2
5.6×5.6×2.0	0.593	8.0	160.3

表2より対数ひずみ 0.4~0.6 で 160~
160 kg/mm²である。SKS8(球状化処理)
が荷重で 110 kg/mm² 程度であるが、
表2の変形抵抗値がかなり高いものである
ことがわかった。

Raymond¹⁰⁾らはオーステナイトの加工硬
化のやすさが近似的に下記の K-n の値
で示され、この値が大きいほどオーストーム
とマルテンサイトの強化が著しいことを
示している。

オーステナイトを引張り加工したときの
加工硬化曲線は $\sigma = K \cdot E^n$ σ : 伸び
加工硬化度は $\Delta \sigma_E = K \cdot n \cdot E^{n-1}$ K : 強化係数
 $(\Delta \sigma_E)_{E=0.02} = K \cdot n$ n : 加工硬
化指数

K-n の値は合金元素によって大きく変化
し、Ni や Mn などにはあまり影響を受けない
が強化物形成元素の V や Mo が入ると

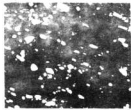
著しく増大するようである。

また強化物形成元素を含有する鋼立
錆溶定オーステナイト域で引張る上、の
ニヨリ状の応力-歪線図(Potentiometer
結果)が現われた²⁾ようであるが、
本実験の圧縮では、歪速度が速いためか
確認できなかった。

4.3 頭微鏡組織

写真2はSKH4A, SKH9立オーストーム
後、焼成した組織およびSKH4Aの通常
の熱処理組織である。オーストームした
SKH4A, SKH9はそれより組織粒が柔ら
いのがわかる。またSKH4Aの方がSKH9に比べ
強化物が幾分多い。

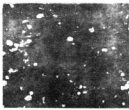
オーストームの強化機構上では
マルテンサイト葉の微細化、残留オース
テナイトの減少、双晶欠陥が多量にでき
る。おびただしい転位が生成されて、二
の転位線上に強化物が分散析出して
いるなど、通常の焼入火にはみられない
特徴がある。^{20, 120, 13)}



(a) SKH4A 普通の熱処理



(b) SKH4A オーストーム 530°C 時間 1時間



(c) SKH9 オーストーム 530°C 時間 1時間

写真2. 大ガバ刃光部の電子頭微鏡写真

表3. オーストームした大ガバの実用試験結果

大ガバの種類	焼成	刃利の種類	目立打数	試験時間の目立打数	増加率	材料
SKH4A	530°C 1hr	4in. 間刃 細目	24~25本	17~18 本	約15倍	2本
(オーストーム)	450°C 1hr	10in. 間 中目	22~27本	9~11 本	3.5~4本	
(1300°C 1.5h)	" "	"	23~25本	9~11 本	2.4~4本	
SKH9	530°C 1hr	12in. 間 細目	20~21本	11~13 本	1.7~2本	
(オーストーム)	530°C 1hr	センサー用や利	7~8本	4~5 本	1.7~2本	
(1220°C)						

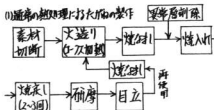


図5. 大がねの製作工程
才大がね造り後の焼なまし(ガ不要となり。
この焼なましを省くことによって、大幅
な時間短縮が可能となります。大がね
ト加熱を行うことにより焼入以前の異常
層削除が不要となる。才大がねに回数を
減らすことでも期待できます。

6 結 语

やすり用目立たがねの耐久改善のため
オースツーム処理による試作を行なった。
結果を参考する上次のようにある。

- (1) やすり用目立たない形状にオースチームを適用することにより、耐久度を1.5~2.5倍に増加できることが実証された。
 - (2) オースチームにより、製作工程の簡略化が可能である。
 - (3) 材料としては、SKH4AよりもSKH9が多くの効果も大きく、才本材料価格がSKH9はSKH4Aの約1/3であるから、SKH9を採用することが有利である。
 - (4) SKH9の準安定オーステナイト域での変形抵抗は、対数ひずみ0.4~0.6の加工で140~150 kg/mm²がなり高いこと

とがわがった。

今お、やすり用たがねと、この加工法
および焼成条件等と強度一剛性
の基本的問題を今後の研究課題と
したい。

文 献

- 1) E.M.H.Lips, H.Van Zuilen : Metal Progress. 66 (1954) Aug. 103
 - 2) 田村, 吉村: 大阪大学産研報, 19 (1962), 27, Trans. JIM. 5 (1964) 67, 日本金屬学会誌 28 (1964) 794, 28 (1964) 67
 - 3) 田村: 日本金屬学会セミナーテキスト「鋼の加工製処理」(1964) 135
 - 4) 田村: 日本金屬学会報 2 (1963), 426, 鋼と鋼 52 (1960), 40
 - 5) 田村: 鋼と鋼 52 (1966), 146
 - 6) 田村: 日本金屬学会誌 29 (1965), 607
 - 7) 武士: 製処理 9 (1969), 373, 374
 - 8) 田村: 日本金屬学会誌 29 (1965), 608
 - 9) 鈴木: 本報告 17 (1974) 55
 - 10) L. Raymond: High-Strength Materials (1965). John Wiley 297
 - 11) 斎岡: 鋼と鋼 44 (1958) 151
 - 12) 斎岡: 金屬学会報 19 (1955) 571, 20 (1956) 181
 - 13) 田村: 鋼と鋼 52 (1966) 148, 149
 - 14) 田村: 鋼と鋼 52 (1966) 147

やすりの無酸仕上げ処理に関する研究

加城正義、土取功
清水達磨、内藤達也
東正十郎、石田節

1. 論 言

やすりの生産は、最近開発途上國に進み上げ等々、集積を許さない状態にある。コストダウン対策や新たな市場開拓などに追いつけて日々うえ、さらに競争力について、深刻な問題として早急に対応せねばならない状況にある。

筆者らは、ニホンやすり、公害防止対策について、プロジェクト研究を計画実施した。

やすりの製造におけることは、最終仕上げ工程で硫酸による電解研磨や酸洗いなどのが標準から行われているが、これは河川を汚染する危険性が大きい。

筆者らは、硫酸を使用しない環境的な評価方式に転換する方針を立て、掩蔽と調査検討を行ない、ドライプラスチック仕上げをとりあげて、各種の条件で実験を行ない、従来の電解研磨に乗り得ることを明らかにしたので報告する。

2. 試料と実験方法

2.1 試料

試料として、鐵やすりの平、中目、300mm 及び 75mm の兩用やすりを使用した。鐵やすり用の素材は、同一ロットであり、焼なましを $760^{\circ}\text{C} \times 1\text{時間}$ で、焼なまし後の中心部より採取して、それを丸くばらつくりと顕微鏡組織を検討して、試料の均一化を図った。

焼なまし料は、そのせん度が HRB91~92 の範囲のものを選択した。これらの顕微鏡組織を観察した結果は異常なかった。

これらの試料をシートプラスチック→研削→取り取りを行ない、ピストン角度 70° 、タガネ角度下目 67° と上目 29.5° で目立を行ない、ついで焼入れは、骨粉と、硝石と、食塩の割合のウモカを溝付して、 $780^{\circ}\text{C} \times 30\text{秒}$ で水冷した。

この焼入れまでの試料について、かたさを測定し、HRC 65.5 ~ 66.5 の試料を最終試料とした。

2.2 実験方法

施入れたままで試料について、従来から行われている電解研磨法とドライプラスチック法によって表面仕上げを行ない、やすりの刃先の形状や切削性能について調べた。

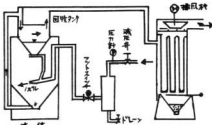


図1. ニューマプラスチ系統図

ドライブラスト法による仕上げは、80# や 250# のアランダム系磁粒を、ノズル 3.2φ mm × 7mm、圧縮空気圧 4.5 kg/mm²、距離 100~150 mm でせりの表面に噴射するもので、本実験では、セーマアラスターといわれる既製機を用いた。この機械の系統図を図1に示した。さうにダストについても分析し、再利用の検討も行った。

3. 結果と考察

3.1 磁粒粒度が刃先形状及び切削性におよぼす影響について
磁粒粒度、80#と250#を用いて、
ブラスト仕上げを行なったやすり中央部の刃先断面図のスケッチを図2に示す。

磁粒粒度250#でブラストしたもの
は80#のそれに比べても、当然刃先の塵粒
が小さい。この場合、250#よりはる
びよりよい結果を示す。

ブラスト条件：

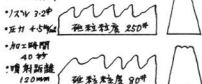
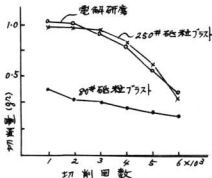


図2. 磁粒粒度と刃先形状

次に同様に磁粒粒度とせりの切削性能との関係を図3に示す。

切削性能試験は、被削材試験片に SK5 を用い、HRC 41.5 ± 0.5 に調質し、直応力 2.0 Kg、切削行程長 100 mm の条件下で、せり切削性能試験機で行なつた。

この結果は、圖2の刃先形状の観察とよく一致しており、250#磁粒でのブラスト仕上げは従来の電解研磨仕上げと大差がないことがわかったが、80# 磁粒は250#磁粒に比較して著しく劣る。



3.2 ドライブラスト条件と研削範囲
磁粒粒度400#を用いて、せり表面に種々の条件でブラストした場合の
研削範囲とブラスト時間の関係を
図4に示す。

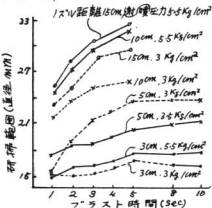


図4. ブラスト条件と研削範囲

1スル距離が試料断面より遠いほど、スラスト圧力が大きいほど研削範囲が大きくなる。1スルとせりの距離が近い3cmでは、スラスト時間5秒以上で、直径17mm中に一層しており、1スル距離が遠い10~15cmには軽く白色度が大きいことが観察される。このことは、スラストによる表面の粗さと研削直徑は反比例の関係があり、せりの近い距離でのスラストは、せりの切入力を極端に高めることで容易に粗削定である。この実験は1スルを固定して、試料を平行持てての実験であるが、これうなぎづけに沿、ニコマグラスクワク1スルに多方向性を持たせ、ターボレク自動回転式では1スルの上下運動と試料距離をつけて、セミオート機構の試作を併せて進めた。

3.3 電解研磨仕上げせりとプラス

ト仕上げや11.9切削性能試験
焼入れたときとスラスト仕上げ

従来の電解研磨仕上げしたせりについて、切削性能試験を行なった結果を図5に示す。

試料はE.焼入れたHc65.5~66.5%のものを選び、これを電解仕上げとスラスト仕上げ(250#)して切削試験を行なったが、3層の切削能の良否は、明確には判定が困難であるところが、電解研磨したせりは、始めの切削量はいくぶん多いが、切削回数が進むにつれて急速に減少する。焼入れたとき試料は、最初の切削量が低いが、約4000回までの切削量の低下は他の試料に比してゆるやかである。

スラスト仕上げしたせりは、主生の切削時間削除の例れを除き、電解研磨とほぼ同等の切削性能を示した。

3.4 焼け出し後のスラストによく脱炭層の除去について

従来から、焼け出し後の工程として、シートスラスト→研削→ださかし(

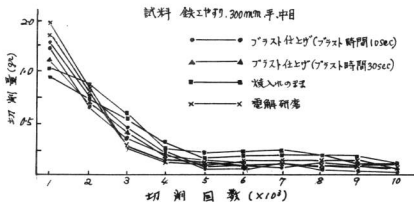
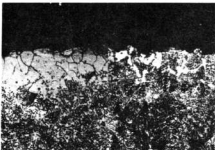


図5. 切削性能曲線

硫酸にさす加工作硬化層の除去)という工程が行なわれているが、焼成なし後、タンブラー型のドライブラストを行なうことによって脱炭層を除去せざるを得なかと、西田せすりについて検討した。

磁粒 60#(人道研削用エメル(90%アランダム))を用いて、研削を40分行なった。ニクセスリの断面の顕微鏡組織を写真1に示す。約50%の脱炭層が除去されている。焼成なし後の脱炭層は、約0.1~0.5mmであり、これをタンブラー型ブラストで完全に除



(1) 焼成なしのまま (2) ブラスト40分
写真1 脱炭層のブラスト研削除去

去す場合には、長時間かけながら又は導入量を下げる等の改善が必要である。

3.5 ドライブラストクターラーの分析

について

現場で使用している250#の新磁粒及び使用する時の磁粒成分を分析したのが表1である。

表1 磁粒成分の分析値(%)

	Fe	Fe ₃ O ₄	Al ₂ O ₃
新磁粒	0.16	0.22	—
試料1	3.60	4.98	87.2
試料2	20.2	27.8	63.9

新磁粒に対して、使用する磁粒は酸化スケールの剥離したり、黒皮Fe₃O₄分がめでより増加していることがわかる。試料1と試料2は、使用時間が異なり、試料1は約1日間、試料2は約5日間の使用後に測定したものである。

この磨耗試験を磁力Fe₃O₄とAl₂O₃を分離することを試みたが、超微粒であるために不可能であった。

しかし、筆者一人は、これをツイール樹脂をマトリックスとして、成形焼成し寸物用融石の調作を行ない、好結果を得たので、今後の磨耗物の有効利用が期待される。

3.6 ニューマックスの使用上の問題点と現状

やすり用としてセミオート化されたニューマックスの実用上の問題点としては、第一にやすりを焼入れした状態が、できるだけきれいに焼上るような工夫が必要である。第二に焼入れ後、長時間放置して鏡を表面に発生させないようにすれば、それだけブラスト時間が短縮される。この在あれば、電布削の検討や生産工程の再検討が今後の課題である。

脱炭層除去タンブラー型ブラストについては、磁粒 60#の90%アランダムで6~8°盤やすり400本/40~50分で行なっているが、脱炭層は完全にはとりがいなくて、導入量や磁粒あるいは加工時間を各やすりについて検討する必要があり、大きな問題を残している。

現時点では、本ニューマックスは鉄素界で10社がすでに採用して、稼動している。

能率面からは、平.300mm, 中目の鉄
エヤリで、20~25秒、100mm 間隔で
すりは、14~15秒間のブラスト時間
で、1人500本/時間の生産が可能
で、従来の電解研磨より3人1200本/
時間に比較して、能率面の差はない。
コスト的ルビ電解研磨とブラスト機
による仕上げ単価は、新たに同程度
とされている。

4. 結 言

やはり無酸化仕上げ法、すなわち電解研磨法によらる仕上げ法
体、やはり刃先が微小な鋸刃刃
先を持つ工具だけに、従来から官
民一律で種々の技術調査が行
われていて、しかし、難点が多く実現
されなかった。

ドライブラスト法による仕上げの
可能性について、プロジェクト研究を
行なった結果、銀粒250#で実用
上可能であることがわかった。

やはり最終局變である意味は、切削
性能試験や刃先形状、表面状態の検査
で従来の電解研磨法に比して劣ら
ないことが確認できた。

本法の採用により、無酸化仕上げの
実現が可能となる結果を得たことは、公害
防止や環境浄化に寄与することはさぞか
大きいと確信する。

本プロジェクト研究を進めたに当り、に
方肺量界の多くの協力並びにブラス
ト機による予備実験やセミオート化への
努力を惜しきれいを不二製作所に深
謝します。

蓄着
を示す
られず
ている。
は、誤
られず、
時間が
大量の
られな
による
者事は
でき、
果を減
鋼分析
して化
られ、
たので

普通
Sの5
横が多
軽元素
Si, P
行った
添加法
加法を

蛍光X線による金属分析法の研究(第1報)

溶液法による金属分析について

藏本範雄

1. 緒言

蛍光X線装置は定性分析に非常な威力を示すに対し、定量分析には今や用いられるが、従来の化学分析法で行われている。それは通常の固体試料分析法では、試料と同種の標準試料がないと得られず、あるいは研磨等の試料調整に長時間の労力を必要とするとともに試料が大量の場合あるいは一定の照射面積の得られない場合は測定出来ないといふ理由による。そこでこれらの短所ではなく、純度などを利用して容易に標準試料が作成でき、また試料が均質でマトリックス効果を減らさせることが出来る溶液法を鉄鋼分析のNi, Mn, Cr元素に応用した。そして化学分析値とはほぼ一致した結果が得られ、分析の省力、簡易化が可能となるので報告する。

2. 実験方法ならびに結果と考察

普通、鉄鋼分析にはC, Mn, Si, P, Sなどの元素ならO以外Ni, Cr元素の分析が多いため、今回も測定不能のCを除くに軽元素で溶液法の場合種々の制約があるSi, P, Sを除いてNi, Mn, Crの分析を行った。また、溶液法は通常、検量線法、添加法が採用されるが、操作の簡便な添加法を試みた。

2.1. 実験: バックグランドの処理

溶液法においては常にバックグランドが問題になるので、それを設定するために次の実験を行った。

(実験方法)

常法¹⁾により、例えはNiの場合、精製水、酸調製液(各フラスコに入っている同質、同濃度の酸溶液)、Niを含まない種々の金属溶液を液体試料容器に入れ $2\theta = 48^{\circ}66$, $2\delta = 48^{\circ}00$ の散乱X線強度の関係を調べた。

なお、X線測定は次の条件で行った。

分析装置 増倍透鏡型蛍光X線分析装置K型
X線管球 フィリップスW

管球電圧電流 50 KV-40 mA

分光結晶 LiF

固有X線 Ni, Mn, Cr(及K₂O)

検出器 SC

対向管 空条件

計数時間(sec) 40万至20

(結果)

結果は表1に示す通りである。図1は同様にMoを含まぬ種々の溶液における $2\theta - 20^{\circ}32$ と $2\delta = 22^{\circ}00$ バックグランド強度の関係である。

表1、図1より精製水、酸調製液ならびに対象元素を除く金属元素は、バックグランドと近接バックグランドのX線強度比が一致することが理解せられた。

表1. 植種の溶液(Niを含まない溶液)における
2θ=48°66, 2θ=48°00のペックランド強度の関係

品名	X線強度(cps)	X線強度(cps)	強度比
	2θ=48°66	2θ=48°00	$\frac{X\text{線強度}(cps)}{2θ=48°66} \times \frac{X\text{線強度}(cps)}{2θ=48°00}$
精製水	18807	19123	0.983
酸調製液	15602	15832	0.985
Fe(10mg/cc)	14213	14425	0.985
Mn(10mg/cc)	13506	13782	0.980
Cr(10mg/cc)	14178	14372	0.987

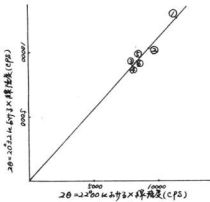


図1. 植種の溶液(Niを含まない溶液)における
2θ=48°66, 2θ=48°00のペックランド強度の関係
① 精製水 ② 酸調製液 ③ Fe(10mg/cc)
④ Mn(10mg/cc) ⑤ Cr(10mg/cc)

従って、NiK α 線におけるペックランド強度は、図2(A)のように推定せられる。

即ち、次の式のごとく精製水(又は酸調製液)のペックランド強度と近接ペックランド強度の比率は、近接ペックランド強度(B)を乗じて値にてペックランド(A)を設定することが可能である。

$$\begin{aligned} & \text{K}\alpha \text{線のペックランド}(A)(cps) \\ &= \frac{\text{精製水の} X\text{線強度(cps)}}{(2\theta=48^{\circ}66)} \times (B) \text{の} X\text{線強度} \\ & \quad (2\theta=48^{\circ}00) \end{aligned}$$

これはMn, Cr等 他元素の場合も同様である。

2.2. 実験: マイラー表面の状況による影響

試料基板は同一社製、同型液体試料容器を用いたのでX線強度差はないと思われるが、マイラー表面状況の差異が考慮されるので、その影響を調べた。

(実験方法)

ステンレス鋼と王水に溶解し、水で希釈して100mlとし、それより各20mlを4個の50mlメスフラスコに入れ、正確に希釈して、それを液体試料容器に入れ、前述のX線測定条件に準じてNi, Cr元素のK α 線、近接ペックランドのX線強度を測定し、表2の結果を得た。

表2よりNi, Cr元素とともにK α 線と近接ペックランドの強度差には違いがあるが、強度差と近接ペックランドの強度比は、一致していることが判つた。

これよりマイラー表面状況の差は強度比をとることにより消去出来ること²³が理解出来た。

2.3. 実験: 酸による影響

試料を溶解する各種酸のX線強度に及ぼす影響を調べるため、次の実験を行つ

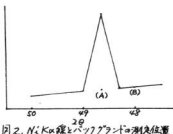


図2. NiK α 線とペックランドの測定位置

た。

表2. マイラー溶面の状況によるX線強度の影響(%)

(1)

Ni-(王水)	X線強度 (CPB)	X線強度 (CPB)	強度差	強度比
試料 NO.	20-4886	20-4880	(CPB)	
NO. 1	25462	2630	16832	1.950
" 2	26022	2844	17178	1.942
" 3	26157	2896	17261	1.940
" 4	26569	2854	16905	1.953
費動係数			0.28%	

(2)

Cr-(王水)	X線強度 (CPB)	X線強度 (CPB)	強度差	強度比
試料 NO.	20-6138	20-7100	(CPB)	
NO. 1	5513	2948	2565	0.870
" 2	5579	2999	2598	0.866
" 3	5610	2998	2612	0.871
" 4	5494	2924	2670	0.879
費動係数			0.68%	

(実験方法)

2.2 実験に用いたステンレス鋼は同一量を HCl (1+1), H₂SO₄ (1+5) に溶解し、2.2 実験に準じて X線強度を測定した。結果は表3の通りである。

表3. 酸によるX線強度の影響(Ni, Cr)

(1)

Ni-[HCl (1+1)]	X線強度 (CPB)	X線強度 (CPB)	強度差	強度比
試料 NO.	20-4886	20-4880	(CPB)	
NO. 1	35760	7665	28095	3.665
" 2	35517	7574	27943	3.690
" 3	35270	7530	27740	3.684
" 4	35251	7506	27745	3.697
費動係数			0.32%	

(2)

Cr-[HCl (1+1)]	X線強度 (CPB)	X線強度 (CPB)	強度差	強度比
試料 NO.	20-6138	20-7100	(CPB)	
NO. 1	6649	2552	4097	1.603
" 2	6584	2560	4024	1.572
" 3	6555	2524	4031	1.597
" 4	6486	2550	4036	1.583
費動係数			0.77%	

(2)	Ni-[H ₂ SO ₄ (1+5)]	X線強度 (CPB)	X線強度 (CPB)	強度差	強度比
試料 NO.	20-4886	20-4880	(CPB)		
NO. 1	37033	8088	28945	3.579	
" 2	37456	8165	29138	3.569	
" 3	37718	8318	29400	3.534	
" 4	37607	8187	29420	3.494	
費動係数			0.61%		

(3)	Cr-[H ₂ SO ₄ (1+5)]	X線強度 (CPB)	X線強度 (CPB)	強度差	強度比
試料 NO.	20-6138	20-7100	(CPB)		
NO. 1	6906	2766	4140	1.497	
" 2	7049	2749	4300	1.584	
" 3	7153	2817	4336	1.639	
" 4	7121	2769	4352	1.572	
費動係数			1.89%		

(結果)

この実験は、酸の濃度差ならびにマイラー溶面の状況の影響も加味されたので、費動係数は絶対的なものではないが、表2の王水の費動係数が大きいことが判る。又王水は試料を迅速に溶解するので実験にはむと好都合である。

尚、この後の分析実験では、各試料容器とも同一酸が一定量は入り、適当に希釈される關係で、酸濃度差による不都合は起らなかった。

2.4 実験: 添加標準液のX線強度に及ぼす影響

添加標準液のX線強度に及ぼす影響と压延鋼板中のMnを定量することにより調べた。

(実験方法)

原試料を王水に溶解し、水で100mlとし、それを原液とした。その20mlを50mlメスフラスコに入れ、次の溶液に調製した。又、別に精製水、酸調製液(各フラスコに入っている同量、同濃度の酸溶液)も調製した。

- ①原液+精製水+酸液(標準液4mgを含む
まれる酸量を含む)=50ml
 ②原液+標準液(1mg)+酸液+精製水=50ml
 ③原液+標準液(2mg)+酸液+精製水=50ml
 ④原液+標準液(4mg)+酸液+精製水=50ml
 ⑤ 精製水
 ⑥ 酸調製液

結果は表5の通りである。

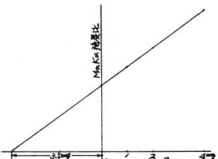


図3. 添加Mn標準液量とX線強度比の関係

表4. 標準液のX線強度に及ぼす影響

Mn	X線強度 (CPB)	X線強度 (CPB)	バックランド (CPB)	強度差 (CPB)	強度比
①	4562	3697	3627	935	0.2660
②	4843	3722	3651	1192	0.3264
③	5100	3710	3640	1460	0.4010
④	5620	3701	3621	1989	0.5477
⑤ 精製水	4364	4463	ok	0.9800	
⑥ 鋼鉄	3394	3456	平	0.9800	

これより即ち、精製水、酸調製液の
MnK_α線強度/近接バックランドX線強度より、
バックランドを設定し、それとK_α線
のX線強度差をバックランド値(近接
バックランドでも同様)との強度比を
求めた。

この比率を縦軸に、横軸に添加標準量
を示し、図3を画くと直線になり、比例
していることが理解出来る。尚、この直
線を延長し、横軸との交点と原点との絶
対量3.5mgが求めるMn量である。

2.5. 実験：添加法による実際鋼鉄 料の分析

無作為の試料としてSUS, SCSを
採り、2.4.実験に準じて分析を行った。

表5 鋼鉄試料のNi分析値

試料	X線 分析 値 %	鉄 分析 値 %	試料	X線 分析 値 %	鉄 分析 値 %		
SUS	9.21	9.29	-0.08	SUS	0.41	0.46	-0.05
SCS	21.70	21.10	+0.60	SUS	0.54	0.50	+0.04
SCS	10.60	10.80	-0.20	SUS	0.71	0.80	-0.09
SCS	9.50	9.20	+0.30	SUS	0.64	0.43	+0.01
SCS	9.22	9.03	+0.19	SUS	0.75	0.76	-0.01
SCS	9.00	8.96	+0.14				

表5より低ニッケル含有鋼、高ニッケ
ル含有鋼とも、螢光X線溶液法分析値は
化学分析値とはほぼ一致していること
がわかる。

尚、試料の量は実際分析の結果に影響
を与えないかった。

2.5.2 Mn元素分析

一般腐食用近接鋼材SCS, SCMを
試料として採り、2.5.1.に準じて分析を行
った。結果は表6の通りである。

表よりX線分析値は化学分析値とはほ
う一致した結果を得ることと知見した。

Mn分析においては、Crを含まぬ試料の
場合は殆んど問題がないが、Crを多量に

含む SCS, SUS 等では、時比分析値が異常な結果を生ずることがある。

表 6 鋼鋼試料の Mn 分析値

試料	X線 分析 値			X線 分析 値			
	鉄 分 % 合 成 分 % 差	化 学 分 % 合 成 分 % 差	試 料	X線 分析 値	化 学 分 % 合 成 分 % 差		
石炭	0.77	0.79	-0.2	石炭	0.67	0.72	+0.5
+	1.69	1.67	+0.02	+	0.73	0.74	+0.01
+	0.78	0.75	+0.03	+	1.01	0.98	+0.03
+	1.00	0.99	+0.01	SCS	1.00	0.99	+0.01
SCS	1.25	1.25	0	SCS	1.14	1.15	-0.01
SCM	0.79	0.82	+0.03	SCM	0.80	0.77	+0.03

これは MnK α 線と CrK β 線との重複によると考えられるので、よく注意し、近接ベニアグラードを設置する際は定性曲線を描き検討すること、ならびに波高分析器を活用することを忘れてはならない。

2.5.3 Cr元素分析

SCS, SCM を試料として、前述実験に準じて試験を行った。結果は表 7 の通りである。

表 7 鋼鋼試料の Cr 分析値

試料	X線 分析 値			X線 分析 値			
	鉄 分 % 合 成 分 % 差	化 学 分 % 合 成 分 % 差	試 料	X線 分析 値	化 学 分 % 合 成 分 % 差		
SCS	18.40	18.80	-0.40	SCS	18.90	18.70	+0.20
SCS	18.20	18.60	-0.40	SCS	18.80	18.90	-0.10
SCS	18.50	18.70	-0.20	SCS	18.20	18.70	+0.50
SCS	18.90	18.40	+0.50	SCS	18.70	18.60	+0.10
SCS	18.20	18.50	-0.30	SCM	1.01	1.11	-0.10
SCM	1.11	1.16	-0.05	SCM	1.01	1.07	-0.06

Cr含有量が大なるにもかかわらず X線分析値は化学分析値とほぼ一致した。

3 結 言

場所で行われる鋼鋼分析の省力化、簡易化、迅速化のため、螢光 X線による Ni,

Mn, Cr元素分析に、溶媒法による添加法を適用した。即ち、試料を王水に溶解し添加標準液を加え、K α 線とバックグラウンドと α 線強度差を測定し、それとバックグラウンドとの強度比をとり算出する方法である。結果は Ni, Mn, Cr元素とともに化学分析値とはほぼ一致した結果が得られた。

尚、この方法は、分析が良好に行われたいため否かを添加標準量、X線強度比の因が直線、もしくはそれに準ずる線と描くか否かによつてある程度判定出来る利点があつた。

などこの方法は計算上やや時間を要するので、データ迅速処理が今後の課題となるものと思われる。

文 献

- 1) 渡田他:「X線分析」共立出版(1972)189
- 2) 横井他:神奈川県工試報告(1973)27

電気メッキ工場排水のクローズドシステムに関する研究(第1報)

RO(逆浸透法)によるNiメッキ液回収実験

梶岡 透, 田谷 征雄, 酒井 隆司
清水 達磨, 木原 博

I. 緒 言

逆浸透法は自然界でみられる浸透現象の逆転プロセスを応用した膜法の一種で、半透膜を用いて処理水を加圧供給し水と溶溶物とを分離する技術である。

塩水の淡水化を目的として開発されたが、今では都市下水や工業廃水の高次処理に利用されるようになっていている。水の再利用と有用物回収の可能性があるため、

メッキ工場廃水のクローズドシステム化への適用が期待されている。そしてニッケルヌッキ水洗水を処理対象としてROの実験はこれからに行なわれ、クローズド化への試みがなされている。

ここではそのニッケルヌッキ水洗水を用い追実験を行なうと共にROの基本的性能—透過速度、脱塩率、どこからへの操作圧、処理液濃度、液温の影響—をしらべ、実用化への可能性および問題点を検討した。

2. 実験方法

2.1 実験装置

実験はすべて図1に示すHLU-2A(新菱フィルトレーション製)を用い、ROモジュールはスピアラル型のMK-90A(イーストマン社製)を用いた。表1にその仕様を示す。

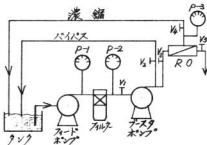


図1. RO装置 超濾過ラボエニット

表1. MK-90Aの使用条件と性能

脱塩率	最大使用圧	最大流量	pH	液温
88%	42kg/cm ²	18L/min	5~7	5~30°C

2.2 試料溶液

試料溶液はニッケルワット基本浴の組成に準じて表2に示すヌッキ酸を調整し、水道水で1%、5%、10%に希釈した液300Lを用いた。使用薬品には硫酸ニッケルかNi+Co 22.0% 他はJIS 1級品を用いた。光沢剤等添加剤は加えなかつた。またRO使用液はすべてpH 5.0~7.0の範囲にあつた。試験液等の分析方法を表3に示す。

表2. ニッケルワット基本浴の組成

NiSO ₄ ·7H ₂ O	NiCl·6H ₂ O	H ₃ BO ₃
300g/l	60g/l	40g/l

表3. 分析方法及び測定

項目	分析方法及び測定
pH	pHメーター
NaCl	電気伝導度から換算
Ni ²⁺	JISK0102 原子吸光度法 及びEDTA滴定法
SO ₄ ²⁻	JISK0102に準じ塩化バリウムによる比濁法
Cl ⁻	JISK0102に準じ硝酸銀水銀法で滴定
BO ₃ ³⁻	マンニットを加え、NaOH標準液で中和滴定

3. 結果と考察

3.1 塩化ナトリウム標準液によるROの基本性能

NaCl液の处理に先立ち基本性能を調べると共に膜劣化チェックを目的に、1000 ppmの塩化ナトリウム液を用いてRO膜(MK-90A)の透過速度、脱塩率の測定を行なった。結果は図2に示す。表4にはROの操作条件を示す。

表4. ROの操作条件(操作圧30kg/cm²)

液温	透過速度	濃縮水量	バクス量	全量
15.6°C	1.39 l/m	24.5 l/m	18.0 l/m	43.9 l/m

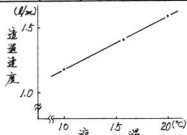


図2. 液温の透過速度への影響

液温と透過程度の関係は15°C付近では1°C昇降ごとに約3%の透過程度の増加がみられ、これは文献値と一致した。

また、脱塩率は次式から求めた。

$$R = (1 - K_1/K_0) \times 100 (\%)$$

K₀: 透過程度

K₁: NaCl標準濃度/透過程度

NaCl溶液の浓度は0~1000 ppmの範囲では充分な直線性があった。脱塩率は88.4%で表1の値とはほぼ一致した。

3.2 模擬ニッケルヌッキ水洗水の連続処理

3.2.1 操作圧、液温、濃度の透過程度に及ぼす影響

操作圧と透過程度の関係を図3に示す。実際使用する操作圧として20kg/cm²~38kg/cm²を選んだ。この範囲では1%~5%希釈度とりに透過程度は操作圧に比例して増加し、30kg/cm²で1kg/cm²当たり約2.7%増加する。

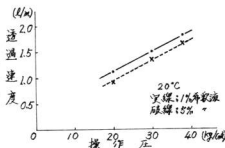


図3. 操作圧の透過程度への影響

液温と透過程度の関係を図4に示す。

温度範囲はRO膜の規格条件から10°C~30°Cとし、この範囲では1%~5%ニッケルヌッキ液とり、透過程度は直線

的に増加し、20°Cで1°C当たり平均約2.7%増加した。この増加率は操作圧1kg/cm²の増加率とはほぼ等しい。

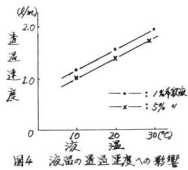


図4 液温の透渗速度への影響

濃度と透渗速度の関係を図5に示す。濃度範囲(1%~10%ニッケルメッシュ希釈液)ではほぼ直線的に変化する。1%濃度増加当たり平均透渗速度は約3.0%低下する。

3.2.2 各イオンの脱塩率

表5は脱塩率の測定結果を示す。 SO_4^{2-} ・ Ni^{2+} は97~98%と高いが、 BO_3^{3-} は23~30%と低い。また、ここで行なった実験条件では、これらの値は文献値とほぼ近い。

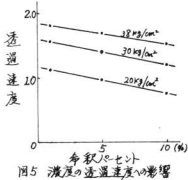


図5 濃度の透渗速度への影響

表5. 各イオンの脱塩率(操作圧30kg/cm²/%希釈液)

イオン	SO_4^{2-}	Ni^{2+}	Cl^-	BO_3^{3-}
脱塩率(%)	98~99	97	90~92	23~30

操作圧、液温の脱塩率への影響はみられなかった。原液濃度が各イオンの脱塩率に及ぼす影響は図6に示す。

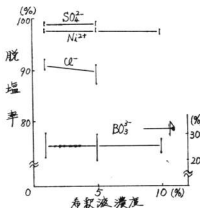


図6. 濃度の脱塩率への影響

各イオンと共に10%希釈液でも脱塩率の著しい低下はないが、高濃度液の場合にはRO膜面上下に非常に濃度が高くなり、膜の劣化を促進するといわれている。

3.3 模擬ニッケルメッシュ水洗水の四分亜程

図1で透渗水だけを系外に取り出すと処理原液は減少してくれる。300l原液を100lまで濃縮した時の各イオンの濃度変化を図7に示す。濃縮液量が100lになったとき、すなわち透渗水が200l

放出された時に Ni^{2+} 濃度は初期濃度の約2.6倍になり、高い回収率約87%を得た。

一方 BO_3^{2-} はほとんど濃縮されていない。回収率は約40%である。 Cl^- は約1.5倍に濃縮され回収率は約55%である。

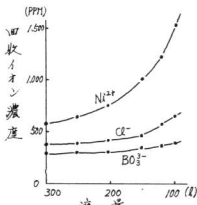


図7. ROの回分濃縮による回収

以上のことから回分濃縮を行なつても各イオン量の比が変化するため、これをすぐメキシ液回収に利用することはできない。

3.4 膜の劣化について

一連の実験が終った後で、 NaCl 標準液を使って膜の劣化チェックを行なった。表4に示した操作条件で測定をした結果透過速度、脱脂率とも実験誤差内で、3.1の測定値と一致した。このことよりRO膜の劣化はないと考えられる。

3.5 ニッケルメッキ第1水洗水へのRO適用への問題点と对策 ROのニッケルメッキクローズド化へ

の適用としては図8のパターンを考えている。ニッケルメッキ水洗水を沪過器でSSなどを取除きROを通して透過程は水洗槽に返す。濃縮液は真空蒸留レスキ浴へ返す。

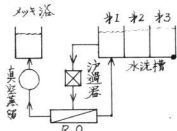


図8. ROの実用化モデル

しかレクローズド化に際し次の問題解決が必要である。

- 1) 水回収率の增大化(モジュールを多段とする場合何段まで可能か?)
- 2) 各イオンの脱脂率に差がある。とくに BO_3^{2-} のリード対策。
- 3) RO膜の使用温度範囲が狭くかつ上限が30°Cと低い。RO処理により温度上昇が激しいため凍結水の冷却が必要となる。
- 4) クローズド化にともなうメキシ液の不純物対策が必要。補給水は純水とレスキ浴不純物管理徹底。
- 5) 防藻剤、手消化剤およびこれらの分解物等の有機化合物によるRO膜劣化。

以上の諸実験の結果次の結論を得た。

4. ま と め

1) ROの透過量は操作圧が高く、低濃度で液温が高いほど大きい。しかし、RO膜には操作圧、液温とも限界があるので注意が必要である。

2) モデルニッケルメッキ液によるRO膜の脱塩率は Ni^{2+} 、 SO_4^{2-} で高く、 BO_3^{3-} で低い。

3) 使用モジュール1本当り水透過量は1~2L/分であり水回収率は10%以下と低い。

筆者らはさうにROにつき、モジュールの選択等実験を行ない、实用化への研究を進めたい。

文 献

- 1) 津崎 稔：逆浸透膜法による塩類除去と実例
- 2) R.G. Donnelly R.L. Goldsmith
K.J. McNutt M. Tan PLATING 5.
(1974) 432
- 3) 西村正人：電気鍍金研究会講演
資料、P6

電気めっき工場排水のクローズド

システムに関する研究（第2報）

イオン交換膜によるジンケート浴回収水洗水処理実験

酒井 隆司, 清水 達磨, 田谷 征雄
梶岡 透, 木原 博

I. 緒 言

電気めっき工場排水の根本対策は、めっき液の排出を減少させるとともに、水洗水に排出されためっき液成分を濃縮し、めっき液あるいは有価物として回収することが重要である。具体策として、前者には、めっきデザインの改善とともに槽上スプレー、生回收、回収水洗、多段回流水洗方式等があり、後者には、真空蒸発、大気濃縮法、イオン交換樹脂法などがある。最近では、イオン交換膜による抜取あるいは電気透析法、逆浸透法等が実用化されている。また、濃厚電解液と直接離解し、有価金属を金属薄板として回収する装置も市販されてある。

ここでは、広島県下で多く採用されている、非シアノ亜鉛めっき液（ジンケート浴）の回収水洗水をイオン交換膜による電気透析法で処理し、亜鉛を金属として回収除去し、水を循環再使用し、省資源、スラッジ対策と水回収を目的に行つた。

色々イオンおよびNaイオンの選択透過性、膜の耐久性について検討したが、電気透析の進行とともに、処理液のPHが低下して水酸化亜鉛が生成した。この対策として陽イオン交換膜と補助陰極を用いる方法（以下、補助陰極法という）を採用し、電解条件を検討した結果、水酸化亜鉛を生成せることなく、処理液

中のzn²⁺を50mg/l以下に処理することができます。それらの結果の概要を次に報告する。

2. 実験装置及び方法

2.1 装置

陰陽両イオン交換膜を用いた実験（以下、電気透析法）の四分式実験装置を図1、補助電解法の装置概要図を図2に示す。

電解槽はいずれも硬質PVC製で、イオン交換膜は、旭硝子製CMV及びAMV（有効面積1.8dm²）を用い、陽極は黒鉛、陰極はSUS 304を用いた。（いずれも表面積1.75dm²）

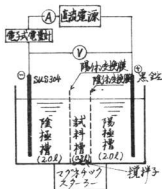


図1. 電気透析実験装置概要図

補助陰極は、 $0.5t \times 100 \times 75$ mm SUS304
は直徑 8.5 mm の穴を 40 個あけたもの
に使用した。

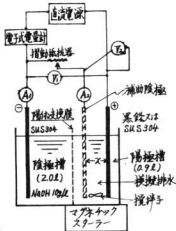


図2. 補助陰極法実験装置

直流電源は、半相全波セレン整流器を、
電子式電量計は日亞計器製 N-CR4 型
を使用した。

搅拌は、マグネットクスターを用
い、試料槽のみ搅拌した。

2. 2 試料溶液

模擬回収水洗水として、シンケート浴
($\text{Zn}^{2+} 10\text{g/l}$, $\text{NaOH} 100\text{g/l}$, 添加剤
なし) 152.6 ml を水で 1 l に希釈した
液 ($\text{Zn}^{2+} 1225\text{ ppm}$, $\text{Na} 8775\text{ ppm}$)
を用いた。なお、この溶液は、長時間放置しておると、水酸化亜鉛の白色沈殿物
を生じるので、実験の都度調製した。

補助陰極法による実験では、模擬回収水
洗水包埋実験では、ペレルめつき浴を水
で 10 倍に希釈したものを利用した。

2. 3 実験方法

2. 3. 1 電気透析法

陽極槽、陰極槽、試料槽の各槽に同じ
模擬回収水洗水を入れ、初期電流 0.5 A
 1.0 A , 2.5 A , 電気透析時間 $0\sim 900$
分間の所定時間毎に各槽溶液の pH、導電
率、 Na^+ イオン、 Zn^{2+} イオン等を測定、
分析し、計算により電流効率、選択透過
性を求めた。

膜の耐久性は、供試膜と模擬回収水洗
水に室温で浸漬し、同一膜を一定時間毎
に電解透析実験を行ない、膜の外観、電
流効率、選択透過性を比較し、劣化の程
度を検討した。

なお、PH計は東亜電波工業製
HM-6A、電導度導電度計はストーリー社
製 E365B を使用した。

Na^+ イオンの定量は、島津製炎光度
計、 Zn^{2+} は日本シャーレルアッシュ製原子
吸光度計 A8500 型で分析した。

2. 3. 2 補助陰極法

図2に示す実験装置を用い、陽極槽に
試料溶液、陰極槽に水酸化ナトリウムの
 10 g/l 水溶液を入れ、直流電源装置及び
補助陰極浴で陰極及び補助陰極の電流を
制御しながら電解し、電気透析法と同様
に電流効率等を測定した。

なお、補助陰極の電流効率は、模擬水
中の Zn^{2+} 減量から求めた。

3. 実験結果と考察

3. 1 電気透析法における電流効率
と選択透過性について
膜を通してのイオンの移動は電位差の
他に濃度差および水圧差による移動など

がある。その理論的電流効率 η_I は(1)式で表わされる。

$$\eta_I = \frac{\Delta m_e + \Delta m_c}{I/F} \quad \text{---(1)}$$

Δm_e : 電気的に移動する量

Δm_c : 濃度拡散により移動する量

F : フラデー定数

I : 電流量

この実験では、 $\Delta m_e + m_c$ は分析値で代用した。

同符号のイオンの選択通透性 T_A^B は、(2)式で表わされる。

$$T_A^B = \frac{(N_A/N_B)}{(C_B/C_A)} \quad \text{---(2)}$$

N_A, N_B : A, Bイオン通過量

C_A, C_B : A, Bイオン脱塩液中濃度

模擬回収水洗水を用いて、電解電流、 $0.5A, 1.0A, 2.5A$ で $300\sim900$ 分間電気透析したときの試料槽中の、 Na^+ イオン、 Zn^{2+} イオンの濃度変化を図3、図4、図5に示す。また、電気透析時(約10~120分までの各イオン選択通透性の電流効率及び選択通透性の計算値を表Iに示す。

表I. 電気透析法における電流効率及び選択通透性($0\sim120$ 分間、電極 $1.75dm^2$)

初期電解液	$\eta_{I,0.5A}$ (%)	$T_{Na^+}^{Zn^{2+}}$ (%)	$\eta_{I,1.0A}$ (%)	$T_{Na^+}^{Zn^{2+}}$
0.5A	9.2	96.2	105.4	0.80
1.0A	7.4	94.3	101.7	0.85
2.5A	5.2	95.8	101.0	1.79

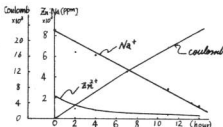


図3. 0.5A通電したときの濃度変化(電気透析法)

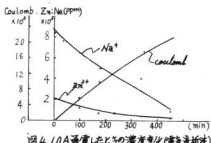


図4. 1.0A通電したときの濃度変化(電気透析法)

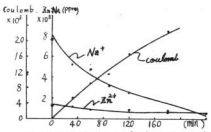
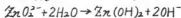


図5. 2.5A通電したときの濃度変化(電気透析法)

供試シンケート浴は、基本浴組成であり、光沢剤等の添加剤、炭酸ナトリウム等を含まず、 Zn^{2+}, Na^+, OH^- からなり。問題の Zn^{2+} は、 Na^+ の電流効率に比べて小さく、電流が大なるほど効率が低下し $1/10 \sim 1/20$ である。この結果は選択通透性 $T_{Na^+}^{Zn^{2+}}$ にも明らかに示されており、 $2.5A$ で 1.79 と $0.5A$ 及び $1.0A$ の 2 倍の値を示している。これは、微電流では、 Zn^{2+} の支障基に対する吸着力が大きく、 Zn^{2+} の膜内濃度が高くなり通透しやすく、高電流においては、イオンの膜内移動度が律速段階にあり、したがって結合力が弱く、移動しやすい Na^+ の通透量が増大したものと考えられる。

なお、電気透析開始後 60 分前後で、

試料溶液が白濁しえじめる。沈殿物を分離、洗浄し、乾燥したものでX線回折装置で測定したところ $Zn(OH)_2$ であった。これは、ジシケート浴が Na_2ZnO_2 、 Na_2ZnO_3 、 $NaHZnO_2$ 等からなつており、高濃度の OH^- 中では安定であるが、水で溶解あるいは電気透析で OH^- 濃度が低下した場合、次式のように、 $Zn(OH)_2$ が生成、白濁を生じたものである。



白濁を生じると、電気透析の対象外になるとともに、 $Zn(OH)_2$ の膜内詰着等を生じ、膜劣化の原因となるので好しくない。

処理水水質の一例を表2に示す。残存 Zn^{2+} 97%以上が $Zn(OH)_2$ であり、この沈殿物对策が必要である。

表2. 電気透析による処理水質
(電気透析時間245分)

	電解条件	水温	pH	導通率 mS	Na^+	Zn^{2+}
	V A	20℃				
原水	7.8 2.5	0	18℃	13.5	68.7	7.830 1,070
処理水	8.5 0.3	25.3	23℃	7.3	2.0	100 540

3. 2 イオン交換膜の耐久性について
供試イオン交換膜は、ステレノジビニルベンゼン共重合体に補助材を加えたもので、陽イオン交換膜はスルフォン基、陰イオン交換膜は第四級アソモニウム塩活性基とし、耐酸、耐アルカリ性も良好とされているが、一般に陽イオン交換膜に比べ陰イオン交換膜は耐アルカリ性に劣るといわれている。

ジシケート浴回収水洗水は、pH 13以上の強アルカリ性であり、膜の耐アルカリ性を検討した。

実験は、供試膜を模擬回収水洗水に室

温で最長39日間浸漬し、0、4日、10日、39日の4回にわたり、模擬回収水洗水の透析実験を行ない試料槽の Zn^{2+} 、 Na^+ を分析し、その透過量を比較した結果を図6、図7に示す。

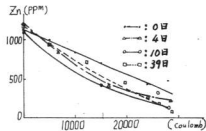


図6. 付着膜耐アルカリ性変化(%)

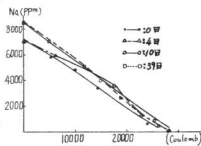


図7. 付着膜の浸漬日数との濃度変化

Na^+ 及び Zn^{2+} とも、浸漬日数による明らかな影響は認められなかった。しかし陰イオン交換膜は試料溶液に浸漬後約30分から白→黄→褐色と変色した。一方陽イオン交換膜は顕著な変化はみられなかつたが、39日後には濃茶色→茶色に退色していた。膜の破裂強度は測定できなかつたが、39日後には両膜とも膜が幾分硬直化し、明らかな脆化が認められた。

3. 3 補助陰極法による模擬廻收水洗水の処理

前述のように通常の電気透析法によるシケート廻收水洗水処理は、 $Zn(OH)_2$ の沈殿生成、膜内沈着等の現象が生じ、 Zn^{2+} を金属として回収することが困難であり、かつ陰イオン交換膜の耐久性等を考慮して、図2に示すように、陽イオン交換膜のみを用い、透析水を陽極槽に入り、補助陰極を陽極槽に設けて、 Zn^{2+} を電解析出させるとともに、 Na^+ を陰極槽に透析除去することをはかったものである。

3. 3. 1 陰極及び補助陰極の適正電流

両者の適正電流を求めるため、表3の組合せについて実験を行なった。その結果を図8に示す。

表3. 初期電流の組合せ

実験番号	陰極電流 I_1 (A)	補助陰極電流 I_2 (A)
No. 1	2.50	1.25
No. 2	2.00	1.00
No. 3	1.80	1.80
No. 4	1.00	1.00
No. 5	0.50	0.50

$I_1/I_2 = 2$ で、電流値が大きい No. 1 及び No. 2 では、60~90分後に $Zn(OH)_2$ の白沈を生じ、不適当であった。

$I_1 = I_2$ の No. 3~No. 5 のうち電流が 1.8 A と比較的大きい No. 3 のみ $Zn(OH)_2$ の白沈を生じた。図8にみわかるように、 Zn^{2+} の析出速度に大差はないが Na^+ の

減少が著しく、 Zn^{2+} が不安定となるので、 Na^+ の透濃度と Zn^{2+} の初期陰極に析出する速度のバランスが重要と考えられる。

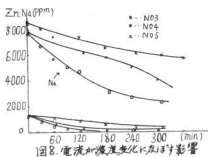


図8. 電流が濃度変化に及ぼす影響

3. 3. 2 補助陰極の位置の影響

陽極槽中の補助陰極と陽極の極間距離の影響をみるため、12, 20, 38 mm の 3 点を設定し、 $I_1 = I_2 = 1A$ で電気透析した結果を図9に示す。また、各距離における Zn 析出量とその回収率を表4に示す。

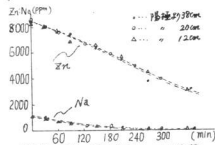


図9. 補助陰極の位置が濃度変化に及ぼす影響

表4. 補助陰極の極間距離と回収率

極間距離	Zn 析出量 (g)	Zn 回収率 (%)
12 mm	0.96	87.0
20 mm	1.10	99.7
38 mm	1.08	98.4

以上の結果から、補助陰極と陽極の距離の影響は小さく、20mm以上であれば十分と考えられる。

3.4 補助陰極法による実験結果

廻収水洗水の処理

表5に示す実験中のバケルメッキ液を10倍に希釈して陽極槽に0.9l、陰極槽にNaOH/10g/l、水溶液2.0lを入れ、電解処理した。なお、処理条件は極間距離20mm $I_1 = I_2 = 1A$ 両極ともSUS 304を使用した。

表5. 実験結果の分析値

	Zn	NaOH	Na ₂ CO ₃
分析値	21.6	133	5.8

Zn²⁺は白沈を生じることなく十分に処理できた。補助陰極に析出した金物は1.89gでメッキ液分析値からみて98%が析出し、120分間の金物析出の補助陰極電流効率は48%であった。

3.5 補助陰極法による処理水質

模擬廻収水洗水および実験めっき廻収水洗水の処理水質を表6に示す。

Zn²⁺は通常の電気透析法で500mg/l残存するのに比べ、ほとんどが補助陰極に金属として析出し、10分の1の50mg/l前後まで処理できており、補助陰極の効果が大きいことを示している。

Na⁺は、電気透析法で100mg/lと低いが、補助陰極法は、2000～3000mg/lと残存量が多い。

4. 結 言

省資源、スマシ封業および水の循環再利用等の一連のクローズド化を目的にイオン交換膜によるシルケート廻収水洗水の電気透析法および補助陰極法で処理を試み次の結果を得た。

(1) 電気透析法における効率の効率は5.2～9.2%であり、電導度の方がよい。Na⁺の効率は95%程度で、電導度の影響は小さい。選択性T_{Na}は、0.3A/dm²で0.8、1.4A/dm²で1.99であった。

(2) 膜の耐久性は、模擬水39日間浸漬の結果、透析値に変化はないが、若干脆化し、陰イオン交換膜の変色が著しい。

(3) 電気透析法では、Zn(OH)₂の白沈

表6. 補助陰極法による処理水質(電気透析時間300分)

供試溶液	電 解 条 件						水温 °C	導電率 mS	Na ⁺ mg/l	Zn ²⁺ mg/l
	V ₁	V ₂	A ₁	A ₂	coul ₁	coul ₂				
模擬廻収水	5.70	4.05	180	180	0	0		54.7	7600	1178
実験めっき廻収水	3.85	3.02	100	100	0	0	23.5	50.0	8500	2029
	4.30	3.45	0.82	0.05	35130	19903	30.0	26.3	3400	42

を生じ、金属回収に難があるが、補助陰極法では、98%以上の電着回収が可能であった。

(4) 处理水質は、電気透析法では $Zn(OH)_2$ を沈過することにより pH 7 导電率 1.6 mS, Na 100 mg/l, Zn 13 mg/l 程度に処理できる。補助陰極法では導電率 9.0 mS, Na 2000 mg/l, Zn 50 mg/l 前後で処理できた。

文 献

- 1) 浦野：水処理技術，14. No.10 (1973), 1004
- 2) 浦野：同上，14. No.11 (1973), 1135
- 3) 西村：同上，14. No.11 (1973), 1181
- 4) 西村：同上，14. No.12 (1973), 1303
- 5) 香月：PPM，4. No.8 (1973), 36
- 6) 香月他：産業防止技術，19 (昭和47年度版)

産業廃棄物の有効利用に関する研究(第3報)

混合廃プラスチックの熱分解とその生成物

高崎宗利, 好満芳邦,
山県康男, 関守雄

I 緒言

年々増大するアラスチック廃棄物は都市系廃棄物と産業系廃棄物に大別され、前者は使用「み」になったものが一般都市ゴミの中に混入廃出され、後者は原料メーカー、加工メーカーから不良品などとして廃出されるもので、これらは処理は地方自治体、メーカーの責任によって処理することが義務づけられている。

これらアラスチック廃棄物の処理はほとんど放棄(埋没)あるいは焼却処分によって行われているが、これらにおいても廃棄場所の不足、または法律規制、あるいは焼却による大気汚染などの二次公害および焼却炉の早期腐食を来たして社会問題化している。⁴⁻⁹⁾

アラスチックは石油化学工業からの生産物であり、原料の石油を外国に依存する我が国において廃アラスチックといえども有限資源の節約、有効利用として各所で研究、開発が進められている。⁴⁻⁹⁾

アラスチック廃棄物の熱分解は、低分子量のガス、または燃料油として有効利用しようという試みの一環であり、筆者らはアラスチックの熱分解における熱分解性状を把握するとともに、効果的な分解方法の探討と熱分解生成物の燃料化について検討したので報告する。

本研究(3報)および4報、5報は、昭和48年度技術開発研究費補助事業に係るもので、昭和49年10月、長野市および福岡市における成果普及講習会にて発表

2 実験方法

2.1 試料と熱分析装置

実験試料としては高密度ポリエチレン(以下略記PE)、ポリプロピレン(同PP)、ポリスチレン(同PS)を使用し、それらの単体あるいは混合したものについて熱天秤およびガスクロマトグラフを用いて熱的特性の試験を行なった。

熱天秤は理学電機製のサーモフレックスにより、各試料を約10mg精秤し昇温速度5°C/minで550℃まで空気中燃焼気で行なった。ガスクロマトグラフは島津製GC-5Aおよび熱分解装置へより分解温度を300℃から800℃まで段階的に上げて、それぞれの温度域におけるアラスチックの熱分解ガスクロマトグラムを求めた。

2.2 オートクレーブによる熱分解

単体および混合アラスチックの熱分解挙動の検討として、図1に示すような温度特性とともにオートクレーブを使用して熱分解実験を行なった。

熱分解に供する試料量はいずれのアラスチックにおいても100gを使用した。

オートクレーブによるアラスチックの熱分解は分解の進行により、反応槽内の圧力上昇があり、この分解圧力から各種アラスチックの熱分解特性を検討した。

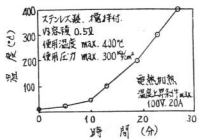


図1. 熱分解オクトレーブの温度上昇曲線

2.3 常圧熱分解

アラスチックの常圧熱分解として混合アラスチック、単体およびそれの分解油添加について、プラスコおよび試作釜による実験を行なった。

2.3.1 プラスコによる熱分解

試料は混合アラスチックとし混合比率は、PVCを除いた磨アラスチック組成比および生産比率と対象にして、図2に示す実験装置のフライゼンプラスコに、表1に示す混合比のアラスチック100gを入れて、

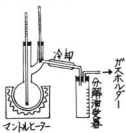


図2. フライゼンプラスコによる混合アラスチックの実験装置概略
条件にて熱分解を行なった。

表1. 混合アラスチックの熱分解条件

試料 No.	試料内容(g)	分解開始温度(℃)	備考
1	PE50, PP21, PS29		—
2		常温	—
3	PE 50		マニ酸鉄1.2g添加
4	PP 25		Fe ₂ O ₃ 粉末
5	PS 25	400	100g添加 マニ酸鉄50g
6			—

2.3.2 試作釜による熱分解

図3に示すような構造の熱分解炉を作製したが、その加熱は外部からの電熱によるものと内部から過熱蒸気加熱の併用

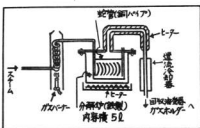


図3. 試作熱分解炉の概略

表2. 試作釜の実験試料

試 料	試料量 (kg)
1 PE	1.0
2 PE, 10%分解油	10.04
3 PP	1.0
4 PP, 3%分解油	10.04
5 PS	1.0
6 PS, 5%分解油	10.04
7 PE, PP, PS	8.03
8 PE, PP	8.05
9 PE, PS	8.05
10 PP, PS	8.05

によるものである。実験は表2に示すアラスチック単体および混合のものについて熱分解を行ない、

常圧熱分解時の温度特性、分解時間および熱分解生成物など熱分解

挙動について検討した。

2.4 热分解生成物の燃料化

アラスチックの熱分解において、ポリメタクリレートは熱分解によって解重合し易い物質で、モノマーであるメタクリル酸メチルとして約90%が回収可能といわれている¹³⁾が、その他のアラスチックはモノマーの回収率が低く、混合磨アラスチックからそれがモノマーの回収は、最適温度が異なるため不可能に近いといわれている¹³⁾。

アラスチックの熱分解によって生成す

る分解油を重油とブレンドすることにより、重質重油の広範な応用を期待するものである。重油としてはBおよびC重油を使用し熱分解油をそれぞれ1:1の割合で混合したのち、メスシリンダー中に移し、0°Cにて一昼夜放置したのち50°Cにて5分間保温した。メスシリンダー中に放置したブレンド重油は層を三等分にして、それぞれの層のイオウ分を測定した。イオウ分の測定は、理学電機製ボーラリックTSメーターを使用した。

3 実験結果と考察

3.1 プラスチックの熱分析

3.1.1 熱天秤による熱分析

各種プラスチックの空気中における熱特性を表3に示したが、不活性ガスであ

表3 各種プラスチックの元素熱分析

樹脂名	軟化温度(℃)	分解開始温度(℃)	50%分解温度(℃)	完全分解温度(℃)
PE	98	250	435	488
PP	136	310	355	425
PS	85	380	392	433
PE(アセチル化)	116, 157	257	408	472
PVC	166	294	282	422

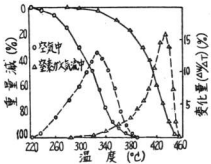


図4 PPの熱減量曲線における空気ガスの違いによる変化

る窒素ガス中では、PVCは変化が顕著でないが、その他のプラスチックでは、図4に示すように空気中よりも100°C以上の分解遅延を示す傾向にあり、分解条件が異なれば分解生成物が変化することから、PVCを除く本実験に使用するプラスチックは空気存在下において分解し易いことを認めた。

空気中の熱特性として、PEは軟化温度、分解開始温度とともに他のプラスチックに比較して低温度域を示す分解挙動を示しているが、分解の50%および分解終了温度は逆に高温度を必要として難分解性を示している。また、混合プラスチックの軟化温度はPEおよびPSのそれより高く、これはそれぞれのプラスチックの熱伝導率および熱容量の変化に影響され、また、分解開始温度はPEのそれによく依存して分解が開始されるが、分解の過程においてはPPおよびPSの分解が進行して、分解の終了時にはPEはPPおよびPSの分解に促進されて分解終了温度が若干低くなる傾向にある。

3.1.2 ガスクロマトグラフによる熱分析

(1) PE 500°C附近にて低沸点物が多くする挙動を開始する。流体的に分解温度を高めると分解生成物の沸点分布は低沸点側に傾斜するが、PEの密度差を表す高、中および低密度のものについては顕著な分解差が認められない。

(2) PP 約450°Cにおいて低沸点物が多くする挙動を開始し、PEの分解挙動と若干内容を異にして、PEに比較して易分解性であることが推測できた。

(3) PS PSの分解はPEおよびPPに比較して、低沸点物が多くする分

解温度が高く、約600℃においてその挙動を開始し、さらに分解温度を上げた場合、ステレンモノマーのピークは分解温度の上昇について次第に減少の傾向が認められるが、800℃においてもステレンモノマーのピークは依然として認められるが、PEおよびPPは熱による解重合反応では熱切削と運動移動の競争が圧倒的に大きくなり、ラジカルが活性化するためにモノマーの生成が低い。

ガスクロマトグラフによるPSの熱分解において、高温域分解でステレンモノマーがかなり存在するとは、PSが連鎖移動によるランダム切削が少ないことを意味する事実¹⁴⁾に一致している。

(4) 混合アラスチック

PE、PPおよびPSの混合として、これらの均等混合、PE2に対してPP、PSをそれぞれ1の割合の混合およびPE4に対してPP、PSをそれぞれ1の混合比率のものについて熱分解ガスクロマトグラムを求めて結果、単体におけるそれぞれの熱分解ガスクロマトグラムを重ねたものとして認められ、混合および混合比率の変化による熱分解生成物の変化は認められなかった。

3.2 オートクレーブによる熱分解

3.2.1 热分解時間および分解圧力

図5はPSの分解温度と時間および分解の進行によって上昇するオートクレーブ中の分解圧力を示したものであるが、分解圧力の上昇はオートクレーブ内の圧力が2kg/cm²を示した時刻を分解時間の開始として実験を行ない、その他のがラスチックについても同じ条件にて実験を行なった結果、表4に示すオートクレーブによる熱分解実験の分解特性を得た。

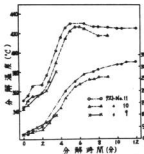


図5. PSの加圧熱分解曲線
力の上昇が時間に比較的比
例して上昇していくとか
ら判断して、ポリ
オレフィンの熱分解はそれより分解に必要な温度範
囲はあれば、分解は進行し低沸点物を多くするラジカルの活性は時間の影響が大きく作用するところから、分解圧力がアラスチックの熱分解に寄与するとすれば、PPはPEに比較して分解性が良好で易分解性であると考えられる。また、PE
およびPPとともに分解温度の賦与が、加
表4. オートクレーブによる熱分解実験結果

試 験 番 号	被 試 料	分解条件		熱分解生成物			
		時間 (分)	分解圧 (kg/cm²)	熱分解率 (%)	熱分解油 (%)	熱分解ガス (%)	留出物 (%)
1	PE	550	35	336	91.7	0.7950	50
2		80	43	422	90.3	0.7873	62
3		34.15	63	713	84.8	0.7863	74
4		80.0	71	800	84.0	0.7808	73
5	PP	80	37	—	ケルヒ	72	28
6		11.0	49	286	92.0	0.7638	74
7		21.30	58	302	91.5	0.7594	84
8		31.0	83	—	—	0.7450	98
9	PS	330	10	測定不能	パ-メト-1X	12	88
10		90	26	測定不能	98.0	0.9838	50
11		120	32	0.27	97.9	0.9994	56
12		PE-PP-PS (1:1:1)	9.0	33	140	94.9	0.8893
13		14.0	50	278	93.2	0.8347	63
14	混合	PE-PP(1:1)	11.0	51	448	90.1	0.7823
15		PE-PS(1:1)	11.0	36	129	96.2	0.8789
16		PP-PS(1:1)	11.0	45	197	94.0	0.8589
17	混合	PE-PP-PS (1:1:1)	8.30	35	138	—	62
18	混合	PE-PP(1:1)	11.30	49	294	—	65
19	MnO ₂	PE-PP(1:1)	8.30	50	436	—	—

熱開始以後同一条件であるにもかかわらずPPの分解温度は低くなる傾向にあるが、これはPPの熱分解時の吸熱反応がPEのそれより大きいことに起因し、熱分解性の良好なことを示している。

PSは、図5および6にみられるように、分解圧力の増加がPEおよびPPに

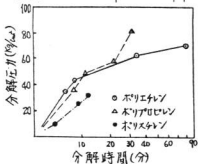


図6 アラスケップ単味の分解圧力

比較して低く、表4に示すように分解ガスの生成が非常に少ないことが認められたが、PSはPEおよびPPに比較して熱分解によって分子内の結合が連鎖移動でなく、切断や化学変化をより多くするためにはじめに不利ではないといつていう説がある。これはPP熱分解油の沸点範囲の狭いことから判断することができる。

また、PSの分解温度はPP同様に低くなる傾向にあるが、これは吸熱反応に依存するものと考えられる。

アラスケップ単味のオートフラーイによる熱分解性は、図6の分解圧力から判断すれば、 $PP > PE > PS$ の順序であり、それぞれのアラスケップの熱分解の結果において、分解生成物を常温に放置して粘性に大きな変化を生じるゝとなくゲル化あるいはワックス状にならない熱分解油を得る条件は、PE 35、PP 49

およびPS 26 kg/cm^2 以上の分解圧力が必要である。

しかし、熱分解油の收率から判断した熱分解性は、 $PS > PP > PE$ の関係にあり、低沸点物への指向を示すポリオレフィンとモノマー生成を示すPPとは、その分解過程が異なっており、オートフラーイによる熱分解においてPSについては、分解圧力を比較することは妥当でないと考へられる。

また、それぞれのアラスケップの熱分解性の判断は、熱分解油の性状、すなわち、重複および軽質など沸点からみて利用メリット、さらに生成速度など経済性を加味するところが必要である。

図7は、PEの分解圧力と分解生成物の関係を示したが、分解圧力の上昇は分

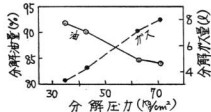


図7 PEの分解圧力と熱分解生成物

解の促進によって、低沸点物の生成を多くしてガス生成量の増加を示し、特にPEにおいては、他のアラスケップに比較してガス生成量が多いことから、熱分解生成物の利用上、分解条件の選択が重要と考えられる。

つづいて、混合アラスケップの熱分解について検討した結果、アラスケップを混合することにより単味のものと異なった熱分解挙動として、図8に示す二種類のアラスケップ混合分解曲線が得られ、その熱分解は单味のものにおいて分解し易

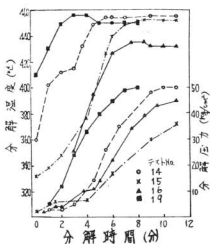


図8. 二種混合プラスチックの分解特性

いものが当然のこと高い分解性を有しているが、单味プラスチックの特性が相乘効果を発揮している。すなわち、PSは单味の場合、図5および表4から分解時間12分のNo.11に対するPPと混合して分解時間11分のNo.16と比較した結果、熱分解性はかなり良好で、これはPPの熱分解によりその熱分解生成物がPPの溶媒的な効果をもたらす挙動とも判断できるが、これに反してPEとPSの混合物の熱分解は全く対照的である。

混合プラスチックにおいては、プラスチックのうちのものの熱伝導率、熱容量および解離合の相違から温度上昇にも大きく影響を及ぼしている。2種混合において1試料ではあるが、MnOを触媒とする調整触媒（添加触媒の詳細については本報告同様参考第5報参照）を樹脂100gに対してMnOとして0.1%添加した結果、図8に示すNo.14およびNo.19において、分解時間の短縮という触媒効果が得られた。PEとPPの混合は熱分解性が良好

であり、それは熱分解温度および分解圧力の時間に対する割合から窺うことができる。また、MnO添加による酸化触媒元素の活性化と金属添加による熱伝導率、熱容量に影響が与えられるものと考えられる。

また、三種類の混合による熱分解は、

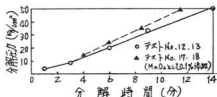


図9. 三種混合プラスチックの分解特性

図9に示すような熱分解性を有しており、このことから、本研究の目的とする混合プラスチックの熱分解は、表4の結果から低沸点物質を指向する場合、PSの熱分解性の向上と相溶性の大きいPPが分担するが、PEとPSの相乗性がないことから三者の混合は单味を平均化した熱分解性を有し、ガスクロマトグラフによる熱分析と一致した結果を示している。

三者の混合物に三種混合にMnOとして0.1%を添加した結果、図9に示すように若干ではあるが分解時間の短縮という触媒効果が認められた。

3.2.2 热分解油の性状

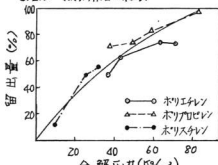


図10. 热分解油の分解条件と保留性状

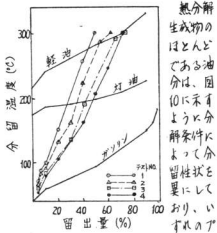


図11. PE熱分解油の分留性状

ても分解時間の長いものが、残油量(帶圧蒸留において留出可能な温度限界にてカットしたもの)を少なくして留出量を多くするが、それらはいすれも低沸点物を多くする傾向にある。

熱分解油の分留性状曲線として、PEのものについて図11に示すとともに、ガソリン、灯油および軽油のそれぞれの分留曲線を付記したが、これによれば分解油の温度範囲は分解条件によって約20%の影響を受けており、この油分の有効利用としては、低かより高沸点物を多くする用途によって判断は異なるが、本研究の燃料化、さらに重油とのアレント効果を期待することにおいては、灯油以上の高沸点物を多くする考え方方が得策と考えられる。

3.3 プラスチックによる熱分解

3.3.1 混合比率の変化と融媒の効果

No.1およびNo.2はPPおよびPSの混合比を変化させたもので、図2に示す7種類のプラスチックに表1に示した混合比

熱分解生成物のはほとんどである油分は、図10に示すように分解条件によって分留性状を異にしており、いずれのアラスチックにおいても

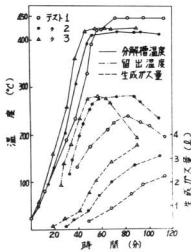


図12. 混合アラスチックの分解特性

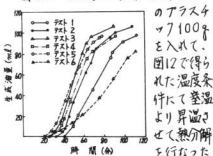


図13. 混合アラスチックの留出時間

No.3はNo.2の比率のものにMnO₂を1g添加した結果である。

PPとPSの比率に対してPPの増加するNo.2は、図12の分解温度がNo.1に比較してもしうる低い傾向にあるにもかかわらず、分解性は良好で表5および図12から図13の結果から、ガスの生成速度において約47%、生成量において約37%大きく、また、熱分解油の留出速度において約24%、生成量において約10%高いことを認めた。

表5. 混合アラスチップの生成物

試験番号(式)	試験温度(度)	試験時間(分)	熱 分 解 製 品			試験結果(%)
			ガス生成量 ml/g	ガス生成率 比 (%)	留出油 ml/g	
1 PE50/Ph21PS29	200	0.89	0.822	10560	0.40	54 426
2	284	1.11	0.815	10630	0.32	43 385
3 PE 50	364	1.33	0.820	—	—	42 365
4 PP 25	921	1.18	0.835	—	—	49 393
5 PS 25	986	1.27	0.824	—	—	43 413
6	625	0.73	0.818	—	—	50 336

また、No.3の触媒添加による熱分解特性としては、No.2の無触媒に対してガス生成速度、ガス生成量はそれぞれ24%、13%高く、熱分解生成油は生成量に変化はないが約20%の生成速度の大きさだと認めた。なお、No.1およびNo.2の熱分解において、生成ガスおよび留出油得率は、それぞれ13.5%および9.0wt%であった。

3.2.2 Fe_2O_3 粉末層による熱伝導および熱収量の向上

図2の7ライゼンフランコに Fe_2O_3 粉末を100g入れて、アラスチップの熱分

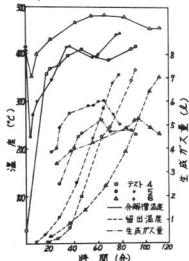


図14 Fe_2O_3 粉末層における混合アラスチップ熱分解

解時の熱効率の向上を期待して、つぎの実験を行なった。

No.4は Fe_2O_3 粉末層にNo.2の比率による混合アラスチップを100g入れて、図14に示すように常温より昇温させて熱分解したもので、表5および図14にみられるようにガス化率の大きさだと認めた。

つぎに、約400℃に加熱した Fe_2O_3 粉末層にアラスチップを添加したものが、No.5で、また、No.6は Fe_2O_3 粉末100gおよびMn含浸触媒(1mol/粗体kg)50gを7ライゼンフランコに入れて、約400℃に加熱した状態にアラスチップを添加したが、No.5およびNo.6は図14によってガス生成量に大差はないが、ガスおよび生成油の生成速度に差異がある。

No.4およびNo.5は Fe_2O_3 が熱分解において、熱効率向上のための触媒効果を發揮することができ認められたが、No.6においては熱伝導効果として分解温度が高いにもかかわらず、ガスの生成速度および熱分解油の留出温度が低く、アラスチップの熱分解速度が時間的にみて大きい傾向にある。

また、 Fe_2O_3 粉末層の加熱温度としてNo.5およびNo.6の約400℃よりも高い600℃におけるアラスチップの添加実験も併せて行なつたが、ガスの生成および留出油の留出時間は早いが、留出油は十分な分解が行なわれないうちに留出する傾向にあり、それは留出後冷却により半固化することが認められ、アラスチップの熱分解はラジカルの活性化および遷移運動のための温度とそれに接觸する適切な時間保持が必要である。

3.3.3 热分解生成物としての利用メリット

本研究の有効利用としての重質重油とアレンドを考慮した場合、分解粉は沸騰200℃以上の灯油グレードの中の増量が望ましく、図13の熱分解油の分留性状は表5に示すように、No.1にて200℃以下のものが54%で、No.2およびNo.3は42～43%である。しかし、熱分解の結果、留出しえない残油(分解はしていきが高沸点物)を熱分解油に加えざならば、No.3は沸騰200℃以上のものが63.5%を示し、Mn触媒の実効性の大きさといえどから有用に考えられる。

3.4 試作釜による熱分解

オートクレーブによる熱分解においては、分解の促進によってオートクレーブ内の圧力上昇によってアラスケックの分解性を判断することが可能であったが、常圧熱分解においては熱分解生成物が直接系外に留出することによって、その分解性を判断するが、表2の実験試料により、図3に示す試作釜を使用して常圧熱

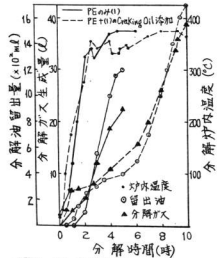


図15 PEの分解曲線

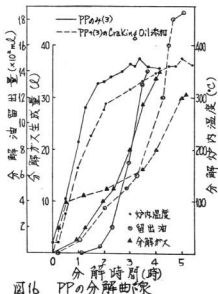


図16 PPの分解曲線

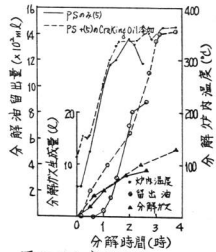


図17 PSの分解曲線

分解のスケールアップを図ったもので、図15、16および17に単体アラスケックの熱分解曲線を示したが、加圧熱分解と難燃性相違は常圧熱分解において、低沸点

表6. 常圧熱分解実験におけるプラスチックの分解性

実験番号	分解所要時間(h)	留出油						ガス			
		留出開始温度(℃)	生成量(L)	生成率(kg/kg)	平均生成速度(kg/kg·h)	定常状態における生成速度(kg/h)	比重	生成量(L)	生成率(kg/kg)	平均生成速度(kg/kg·h)	
1	4.9	130	1.20	0.93	0.19	0.33	0.772	30.6	30.6	9.0	6.9
2	9.7	80	1.70	0.93	0.10	0.28	0.765	21.1	15.0	1.5	7.0
3	2.0	260	1.40	—	0.53	0.90	0.754	24.8	24.8	12.8	11.0
4	4.3	30	1.60	0.86	0.20	0.71	0.751	16.0	11.4	2.6	7.0
5	2.0	168	0.88	0.80	0.40	0.72	0.904	5.6	5.6	2.8	2.0
6	3.7	125	1.40	0.90	0.24	0.54	0.901	11.0	7.9	2.1	2.0
7	6.2	185	0.77	0.70	0.11	0.16	0.817	41.2	45.8	7.4	9.0
8	5.6	175	1.00	0.75	0.13	0.30	0.752	44.6	44.6	7.9	7.0
9	4.5	225	0.73	0.62	0.14	0.25	0.846	18.0	18.0	4.0	3.7
10	4.6	258	1.40	—	0.25	0.29	0.805	25.0	25.0	5.4	14.0

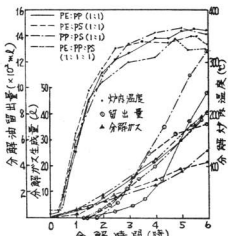
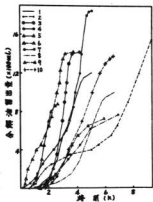


図18. 混合アラスチックの分解曲線

割を多くするPSの熱分解性の良好なことであり、図18に示す混合アラスチックにおいても拳動の変化が認められた。

常圧熱分解における試作釜の熱分解は表6および図19に示すように、熱分解の時間的な順序としてはPS>PP>PEであり、これはアラスチックが付加重合



反応によって製造されるときのモノマーの重合熱の小さい順序に一致している。混合においてはPがPPに比べて分解速度が速い。

また、アラスチックにフランキン油を添加することにより、流動層的な効果を試みたが、図15、16および17にみられるようにフランキン油の添加量の増加分を越える分解時間の延長がみられ、この方法は本実験の範囲においては得策ではないようである。

三種類のアラスチックの混合はPPの

相溶性の不良なことにより、單体のそれとそれとの平均的なものすら得られず、約50%程度の分解促進を招いている。

分解ガスの生成は、オートクレーブによる実験同様に PE > PP > PS の順位にあり、留出油の生成率は PE が最も効率がよいが、分解に長時間を要した。

なお、常圧熱分解によく生成した留出油の分留性状は、表7に示すように沸点範囲は PE および PP 単味の場合、200℃以上のものが 40~50% であるが、PS の 76% は 200℃以下であり、三種混合に

表7. 常圧熱分解留出油の分留性状

留出油 No.	分留性状 (%)									
	1	2	3	4	5	6	7	8	9	10
留出油温度(℃)	30	35	40	40	137	125	50	35	45	50
200℃熱分解率(%)	58	36	48	55	76	80	74	54	80	66
200℃熱分解率(%)	42	64	52	45	24	20	26	48	20	34
熱分解率(%)	100	250	200	150	140	140	100	200	100	100
熱分解率(%)	150	300	250	200	150	150	150	250	150	150
回収率(%)	25	28	28	26	48	40	40	24	54	35

においては PS の良好な分解性が大きく寄与して 100℃~150℃ の温度範囲における分解油をかなり堅硬的に回収することが可能と考えられる。

3.5 热分解生成物の燃料化

アラスケックの熱分解実験の結果、生成物の利用価値の大きいものは生成量からみて分解油である。熱分解油の有効利用実験として、B重油およびC重油とアレンドするより重油中のイオウ分の低減と回り、重複重油の広範な応用を期待するものである。

重油としては B重油およびC重油を使い、熱分解油とそれぞれ 1:1 の割合で混合したが、重油への熱分解油の混入によく生成する可能性のあるスラッジ分およびワックス分は、50℃の温度賦与大

よる前処理を施したのち、低温装置においても凝固等の異常は認められなかった。

アレンド重油は、層を三等分してそれぞれの層のイオウ分を測定した。

実験に供した B重油および C重油のイオウ分は、それぞれ 2.02 および 2.35 % であり、また、アレンドに使用した熱分解油は表2に示すものである。

表8 アレンド重油のイオウ分 (単位 %)

重油	No.	分解油	アレンド層		
			上	中	下
B重油	1	PE	1.19	1.18	1.04
	2	PP	1.08	1.18	1.23
	3	PS	1.15	1.16	1.17
	4	PE, PP, PS	1.21	1.26	1.22
C重油	5	PE	1.50	1.51	1.51
	6	PP	1.48	1.48	1.51
	7	PS	1.45	1.47	1.43
	8	PE, PP, PS	1.46	1.49	1.49

各種アラスケックの熱分解油と重油のアレンドによるイオウ分の測定結果は、表8に示すもので、アレンドの結果 B重油および C重油のもつイオウ分に対して、算術的には 50% の低減であるべきであるが、個別的にみて 1/2 を上まわるイオウ分となった。これはアレンドした熱分解油の揮散によるものと考えられる。

重油のもつイオウ分揮散から判断して、熱分解油の相溶性は、B重油よりもしろ粘性の大きい C重油が良好であった。

4 結 言

混合度アラスケックの熱分解とその有効利用について実験を行ない、つきの結果を得た。

(1) 坩埚中ににおける熱分解は、不活性

ガス中に比較して分解は遅速である。

- (2) ポリオレフィンは熱分解によつてかなり低沸点物を多くする分解特性を示すが、ポリスチレンはモノマーの生成があり、分解生成物の沸点範囲は狭い温度域にある。
- (3) オートフレーブによる熱分解の分解性は、オートフレーブ中の圧力上昇から判断すれば、 $PP > PE > PS$ であるが、熱分解油の收率から考慮すれば $PS > PP > PE$ の関係にある。

また、混合においては PP と PS の相溶性は良好であるが、 PE と PS の混合物の熱分解は対照的である。

- (4) 常圧熱分解におけるアラスコ実験の混合アラスチップにおいて、 PP の分解性が良好で、 PP の添加量の増加は分解の活性化が大である。
- (5) 試作釜による常圧分解は、熱分解の時間的な順序として $PS > PP > PE$ であり、アラスチップの聚集体におけるモノマーの重合熱の大小順序に解重合が一致した。

また、三種のアラスチップの混合は、 PS の良好な分解性により低沸点留出油を選択的に回収することが有用と考えられる。

本実験において、フランキン油の添加は分解促進効果が得られず、本法はあまり得意ではない。

- (6) 触媒の添加はアラスチップの熱分解のための熱容量を高め、分解時間の短縮および分解性の向上に実効が認められた。

また、 Fe_2O_3 粉末の使用は、Mg 触媒同様に触媒効果を有し、熱伝導の

向上に有効であった。

- (7) 热分解油の有効利用としての重油へのアレンドは、混合による大きな障害は認められないため、単純な混合により重油のイオウ分の削減が可能であり、その他の粘性調整、灰分および残留炭素分等の減少によって品質改良に有用である。

本研究の終りにあたり、多大なる御指導をいただいた工業技術院公害資源研究所の安藤宏課長に深甚なる謝意を表します。

参考文献

- ①危険物の処理及び清掃に関する法律 昭46.9.23
- ②菱田: PPM, 21 (1971) 44
- ③栗原: 包装アラン, 11 5(1972) 104
- ④石油と石油化学: 16 2(1972) 16
- ⑤提: 工業材料, 20 2(1972) 55
- ⑥日本経済新聞: 昭47.1.12 昭47.1.28
- ⑦日刊工業新聞: 昭47.1.10 昭47.1.23 昭47.2.16
- ⑧朝日新聞: 昭46.7.3
- ⑨化学工業日報: 昭46.9.23 昭46.10.11
- ⑩通産省アラスコ有効利用委員会: 再生利活用委員会報告書
- ⑪通産省: 化学工業統計年報
- ⑫安藤他: 公害資源研究所年報, 4 1(1974.5)
- ⑬大沢: 第2回高分子燃焼利用シンポジウム資料集(1971)
- ⑭柳原他: アラスチップ危険物(1972) 142(理研)
- ⑮ L.A. Wall他: J. Phys. Chem., 70 53(1966)
- ⑯土屋他: J. Polymer. Sci., A-1 (1969) 1599
- ⑰神戸: 高分子の熱分解と耐熱性, (1974) 218(協調館)

産業廃棄物の有効利用に関する研究(第4報)

塩化ビニール樹脂を含む廃プラスチックの熱分解について

関 守 雄, 好 満 芳 邦
山 県 康 男, 高 崎 宗 利

1 緒言

石油化學工業の發展は、日常生活に密着したプラスチック消費量を多様化させ、商品のワンウェイ化ほか簡易包装など大きく寄与している。しかし使用されたその大部份は都市ゴミとして廃出されており、その中で占めるプラスチックは 12.6%¹⁾ となり、従来の紙、布類および木、竹類を主体とした都市ゴミの形態と異なった結果、自治体の垃圾處理において、種々のトラブルの原因となっている。

著者等がこの件に対する今日において都市ゴミとして廃出されるプラスチックの量は大きく、筆者らは、都市ゴミより分別収集された廃プラスチックの有効利用を考慮して熱分解実験を行ない、若干の知見を得たので報告する。

2 実験方法

2.1 試料

本実験に使用した廃プラスチックは、昭和45年頃、千葉県船橋市の一販家處より分別収集されたものを受け手し、その分析結果は表1および図1に示すものである。

2.2 热分解実験

熱分解は図2に示すように、300 mL 抵抗フランコに試料 100 g を取り、昇

表1 廃プラスチックの性状

	測定値
発热量	9400 ~ 9900
燃素量	5.8 ~ 6.8
硫酸灰分	1.3 ~ 1.5
灰分中の金属元素	Ti, Ca, Zn, Fe, Pb

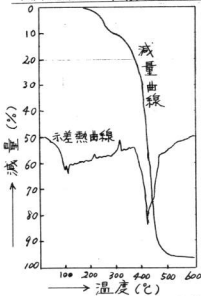


図1. 廃プラスチックの熱分析

温速度 20°C/分で分解を行なう。

熱分解生成物は、一次および二次冷却管を通して液化物を捕集し、ガス分は、最初ガス流路を通して PVC の分解によって生成する HCl 分を蒸留水に吸収し 41.0 ml 点でガス流路を 2 にて切換えてその他のガス分を捕集し E。

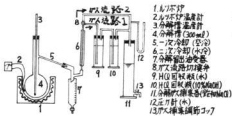


図2 廃プラスチック熱分解装置略図

3 実験結果と考察

3.1 热分解生成物の性状

熱分解により生成する油分およびガスの生成率は、表2、図3に示す結果を得られた。

表2 廃プラスチックの熱分解生成物

分解生成物	生成比率(%)
留出油	78.0
残渣	10.5
回収HCl	3.9
ガス分	7.6

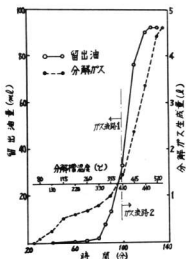


図3 廃プラスチックの熱分解時間、熱分解温度と生成物の関係

表3 分解留出油の性状

留出油量	wt %	78.0
比重	1.54°C	0.8364
蒸発量	wt %	104.20
塩素分	wt %	1.95
水溶性塩素分	wt %	0.58
水分	wt %	3.5
全酸価	mg KOH/g	13.0
鉄板腐食(電解鉄膏)		4

分解留出油の生成は、図3に示す結果から、330℃より急激に分解生成し、その傾向は表3よりみて、発熱量は重量相当で、イオウ分は存在せず、塩素分を約2%含んでいる。留出油中の塩素分の約25%は水溶性で、遊離HClとして存在し、全酸価を高め、鉄板腐食の原因となり、残り塩素分は、生成オレフィン分と反応して有機塩素化したものと見らる。図3による分解生成ガスの生成として175℃までのガスは分解プラスチック中、空気が押出されないので、175~350℃までのガス生成速度が緩慢なことは、図1、3から判断して廢プラスチック中のPVCの脱HCl反応によるHClガスが主成分となるて妥めと考えられる。分解生成ガス中のHClの蒸留水への溶解捕集は容易で、その溶解状況をはっきり肉眼観察でき3本、380℃付近より、HClの溶解速度は殆ど認められず、ガス発生が急激となるため、ガス流路を、410℃まで加熱した。

分解生成ガスの成分ならびに組成は、表4に示すように、ガス成分中にCO、CO₂を含せると約20%を占めており、これは廢プラスチック中の酸素分に起因すると考えられる。

表4 分解生成ガスの成分・組成

捕集ガス量(ml.23℃)	3580
空気 (vol.%)	255
H ₂	17.2
CO	9.2
CH ₄	19.2
CO ₂	11.3
Iソン、Iチレン	34
アロペン	8.1
カビレン	11.7
メチルタノ	3.6
イソブチレン	5.2
その他C ₄	2.6
エーペンタン	2.9
エーペンダント以上	5.5

表 5 分解残渣性状

残査率	ut%	10.5
発熱量	cal/g	9250
塩素分	ut%	2.44
灰分	ut%	13.9
灰分中の塩素分	ut%	4.74

分解検査は者々に示す性状を與えており、その熱量および元気値は、石炭と同程度である。検査中の揮発分の 27% は燃焼化してしまつて灰分中に塩化物として固定されているが、73% は塩化物、HCl として揮発している。(2, 3)

表 6 回收 HCl 溶液中的氯化水素量

分 析 法	炭化水素量(各類H/C比に対するwt.%)
赤外分光分析法	3.5
メタキサン抽出法	0.3

回収HClは、試料含有塩素量の62%で、この回収HCl溶液中の氯化水素量をすなは K_{0102} n-ヘキサン抽出法および赤外分光分析法で測定し、其結果表6に示すようK、含有氯化水素量は、0.3および3.5%であつた。このことよ

り固狀 HCl 中の炭化水素の大部分は、揮發性であると考えられる。

3.2 病毒の量

廃プラスチックの熱分解における問題点は、含有 PVC の廃 HCl 及びによる、HCl 分と、その発生に伴う発泡現象である。PVC の熱特性の把握として示差熱量天秤を使用して熱分析を行い、その分解生成ガスの成分は自動ガスサンプラーに取り入れ後、ガスクロマトグラフを用いて分析した結果、図 4 に見られるようだ。

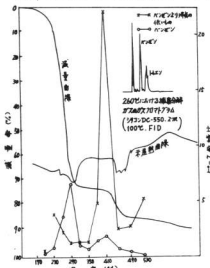


図4 PVCの熱分析と分解生成物

C₄以下の低級化水素分の発生は、一次(180~300°C)より二次(420~470°C)分解域で顕著であった。
環化反応によるベンゼンの生成は、二次
域で最も多く生成する。

3種類のPVCについてその分解性を測定した結果は、図5に示すように硬直より軟直PVCの方が分解開始温度が低

く発泡が大であつた。

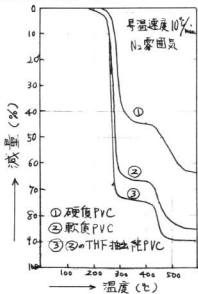


図5 PVCの減量曲線

表7 軟復PVCの分解生成物

合算ガス	留出油 回収率(%)	揮発(79光度)(%)	水蒸気(%)
HCl 回収率(%)	(%)	(wt%)	
33.6wt% (91.2wt%)	5.6wt% (14.2wt%)	28.0	18.8
		14.0	14.0

この軟復PVCについて図2の実験装置で熱分解すると、表7に示すように、HClの捕集率は97%と理論量に近くPVC単味古熱分解して場合は、HCl等の回収は比較的容易で理論量どおり分解が進むことが認められた。

しかし、PVCと含氯廃プラスチックにおいて塩素分の挙動は、表8のように留出油および残渣中に移行し、HClの回収率は62%と低い。

表8 廃プラスチックの熱分解による塩素の挙動

回収HClとしてのCl wt%	62.1
留出油への Cl wt%	24.7
残渣への Cl wt%	4.2

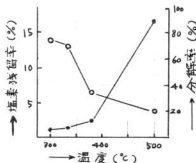


図6 廃プラスチックの分解率と塩素残留率の関係

廃プラスチックの分解率と塩素残留率の関係は、図6に示すように350°Cで塩素残留率10%~500°Cにおいても、約4%の残留する傾向を示し、分解率の急上昇する380°Cまでの留出油分は、ステレン分に富み、比較的低沸点成分を主とし、その生成率は図3の結果より、約20%と考えられる。

以上のことより、PVCと含氯廃プラスチックは、その熱分解と図1に示した熱分解特性を応用し、第一次分解温度を350~380°Cで脱HClを充分行なえよう滞留させ、HCl分を回収し、次いで420°C以上で留出油の回収を目的とし熱分解を行なう。二段分解方式の採用により、街塩素分の留出油における残渣を得られると考えられる。

4 結 言

廃プラスチックとして、都市ゴミより分別収集されたものを使用して、その熱分解性およびその生成物について検討した結果、PVCを含む廃プラスチックにおいては、その熱分解によって発生するHCl分の挙動が重要な課題である。E。

- 1) PVCを含む廃プラスチックの熱分解は、PVC単味のそれと似て二段階に進行する。この事より廃プラスチックの熱分解は二段分解方式（一段：HCl回収）二段：分解油の回収により分解生成物への塩素残留を低減しうる。
- 2) 廃プラスチックの熱分解によって生成する分解留出油および残渣は遊離のHClを含む。
- 3) 回収HClは揮発性炭化水素を含むため、回収HClの利用においては、その除去等の処理を要する。

文 献

- 1) 二見：燃料協会誌 **54**, 577
(1975) 286
- 2) 深谷、坂部、砂藤：愛知工業指導所
報告 第10号 (1974) 76
- 3) 松沢、阿部、安藤、諸俣、清水：
公害資源研究所報 **2**, 2 (1972) /

産業廃棄物の有効利用に関する研究 (第5報)

混合廃プラスチックの熱分解における触媒の開発と
それらの添加効果について

好満芳邦, 高崎宗利
山県康男, 関守雄

1. 緒言

廃プラスチックの再資源化利用技術は既に中間実験プラントが実験され、かなりの成果が発表されている。今後、広域都市を中心とした民、業界、並びに自治体が協力して形の処理システムが出現する予想されるし、現在最も普及している再生利用の終点もやはり廃プラスチックである。(もはや再生利用するだけの物理的メリットが消失したもの)

一方で、省資源、省エネルギーが益々叫ばれるところから、将来再資源化技術、とりわけ分解利用技術が不可欠の要素となるであろう。

広島県における産業廃棄物排出量の昭和50年1年間の推定値は約1,100万tであり、その中にプラスチック・ゴム等が0.8%含まれている。²⁾ 使って分解利用技術の導入はなかなか夢ではない。県下において、三菱重工(三原)ではすでに中型実験プラントが実験されており、又廢油の熱分解技術については一部実用化されている現状より、廃プラスチックと廢油あるいはゴムを抱き合わせた分解センターを設置することは十分可能と認められる。

筆者らはテーブルテストにおいて種々の障害にぶつかったが、スケールアップするにつれ分解挙動が有利であることを情報及び経験から学び、テーブルにおける

今後の検討は触媒の開発による省エネルギーと熱分解挙動の制御であろうと判断し、広汎な触媒群の内燃化水素の分解触媒である固体酸としての硫酸濃縮液に着目し、これらを天然鉱物より調製、あるいは合成して実験に供し、従前より行なってきた実験を更に一步進めて、良好な成果を得たので報告する。

2. 実験方法

2.1 触媒の調製及び合成

熱分解触媒に関しては、明らかにゼオライト系鉱物について既報しており³⁾、应用として各種金属塗を吸着させたもの、更に水ガラス等から合成したもの等を分解実験に供した。調製及び合成の概略を次に示す。

2.1.1 天然ゼオライト系触媒
ゼオライト鉱石(ジーライト工業產、300°Cで焼成したもの。)を200メッシュ程度に粉碎碎し、表1に示す金属塗液を含浸吸着させ、乾燥後600°Cで焼成し触媒として供した。

表1 使用試薬及び金属単体含浸率一覧

No.	試薬名	担持率 金属%	No.	試薬名	担持率 金属%
1	$\text{NH}_4\text{Fe}(\text{SO}_4)_2$	1.0	5	$\text{K}_2\text{Cr}_2\text{O}_7$	1.8
2	$\text{Na}(\text{CH}_3\text{CO}_2)_2$	1.7	6	$\text{Cu}(\text{CH}_3\text{CO}_2)_2$	1.8
3	$\text{Co}(\text{CH}_3\text{CO}_2)_2$	1.7	7	3,4,5混合	1.7
4	$\text{Mn}(\text{CH}_3\text{CO}_2)_2$	1.6	8	1,2,6混合	1.5

2.1.2 合成触媒

水ガラス (SiO_2 : 32.9%, Na_2O : 14.9%) 120gを水に溶かし全量を500mLとする。別に、表.2に示す金属塩の0.043モル相当を水に溶解させ、濃硫酸8mL(あるいは当量の塗酸)を添加し、水により550mLとする。次に両液をpH7付近に調整しながら反応させゲル化させる。ゲルは十分水洗後アセトニトリルで脱水し、130°C付近で乾燥させ、粉碎を行ない試料とした。

表.2 反応試薬名一覧

No.	試薬名	No.	試薬名
1	$\text{Al}_2(\text{SO}_4)_3 \cdot 18\text{H}_2\text{O}$	5	FeSO_4
2	$\text{BaCl}_2 \cdot 2\text{H}_2\text{O}$	6	$\text{MgCl}_2 \cdot 6\text{H}_2\text{O}$
3	CaCl_2	7	MnSO_4
4	CuSO_4	8	$\text{NiSO}_4 \cdot 7\text{H}_2\text{O}$

2.2 触媒性能比較実験

図.1に示すミニスケールでの分解実験装置を用い触媒の性能を検討し、良好なものについてプラスコによる熱分解実験用に候した。尚、試料とし、PE: 2, PP: 1, PS: 1の混合比を採用し、ばらつきを補正する目的で3回繰り返せば、分散分析を導入した。触媒添加量については対試料比0.5とし、炉内温度は図.2に示すように比較的均一であった。

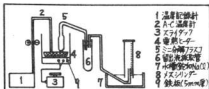


図.1 触媒性能比較用 分解実験装置

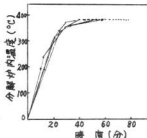


図.2 分解炉内温度上昇曲線

2.3 热分解実験

広島県内において、廃プラスチックの再生業界を若干ではあるが調査してみると、ポリ塩化ビニルを含む混合廃プラスチックを取扱う業者とこれを含まない業者とが有り、それらは専門の收集業者からそれを入手している。熱分解においてポリ塩化ビニルの存否は分解コストに大きく影響するため、ポリ塩化ビニルを含むものと含まないものを区分し検討を試みた。

2.3.1 ポリ塩化ビニルを含まない混合アラスティックの熱分解実験

対象として、PE, PP, PSを汎用プラスチックという理由で選び、図.3に示す実験装置を組み立て、アラスティック単味及び混合について触媒効果を中心とし、分解ガス、留出油性状、ガス組成等について検討を行なった。

2.3.2 ポリ塩化ビニルを含む混合アラスティックの熱分解実験

PE, PP, PS、並びにPTCの混合について、図.4及び図.5に示す実験装置を組み立て、分解方式、触媒効果、脱塩素率、留出油性状等について検討を

行なつた。

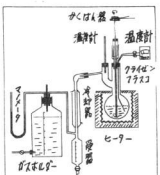


図.3 热分解実験装置(I)

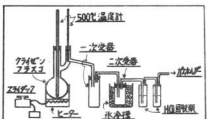


図.4 热分解実験装置(II)

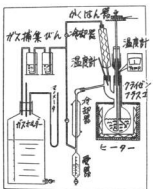


図.5 热分解実験装置(III)

3. 結果と考察

3.1 触媒の性能比較

触媒としての性能は概ねその活性度と表面積に支配され熱分解のよし悪き接觸分解においては、ともあれ被分解物と接觸をしなければならない。従つて、分解方式も一つの要因である。二つした意味において、ミニスケールでの比較実験を行う前に、触媒の添加量を変動させて予備実験を行なつたところ、2・2で述べたようにKCl試料比0.5の添加が最もよかった。(試料1K時に0.5変量部以上添加しないと添加量の変動、接觸状況等によりばらつきが生じ因子として無視できない。)

天然ゼオライト系、合成品の全てについて検討したが、代表的なものについて、結果を表.3に示す。とくに、合成品についてはそぞらの全てを載せたが、これは金属元素における比較を示す意図による。表中に示した8種類の元素群においては、 $\text{Fe} > \text{Ni} > \text{Ca} > \text{Mn}$ の順で性能序列为なされ、とりわけFeKについては分解率が良好であり、合成原料として用いた硫酸鉄を同様に試験に供した結果も含めて、鉄シリカ系触媒バー応良好と認められた。(一応という表現は、実験誤差に伴うばらつきがかなり大きく、大略、信頼率80%程度である理由による。)

硅酸塩系の触媒については、炭化水素のクラッキングにおける説によれば、その反応機構を次のようく要約出来る。

硅酸塩系触媒による分解反応はカルボニウムイオン機構で説明されているが、硅酸塩類は一般に固体酸性で、その酸性度が活性度の目安となる。又、これは

触媒の構造の中心である硅素原子近傍にプロトンが存在することを意味し、これがオレフィン等に付加してカルボニウムイオンを生成させ陽荷電基が周囲の電子を引きつける結果P位の結合が最も弱くなり、連鎖的に分解が進行する。又、電子対受容体がH⁺を引き抜くという說もある。

反応機構の特徴として、

1) 反応性順位

オレフィン>長鎖芳香族>ナフテン>イソパラフィン>正パラフィン

2) 生成ガスはC₃, C₄が生ず、C₁, C₂は少ない。

3) オゾン換素をもつ炭化水素は反応性良好である。

以上のことからをプラスチックに適用すると、ポリエチレンは正パラフィン、ポリアロビレンはイソパラフィンに對比すれば、オゾン換素をもつポリアロビレンがポリエチレンより反応性が大きいと推察される。とりわけ触媒を添加しない常圧熱分解において、ポリエチレンの分解所要エネルギーが他に比しかなり高く、又分解生成物中にワックスが多いことでもその分解の難しさが判斷出来るが、これに對し、触媒の効果が顕著に表わされてゐることを示唆する結果を得た。

表.3 触媒性能比較実験結果

項目	分解率(g/g)					分解油生成率(g/g)				
	X ₁	X ₂	X ₃	T	\bar{X}	X' ₁	X' ₂	X' ₃	T'	\bar{X}'
無添加	0.54	0.65	0.54	1.73	0.58	0.34	0.55	0.42	1.31	0.44
Al ₂ O ₃ (SiO ₂) _x	0.56	0.83	0.58	1.97	0.66	0.44	0.58	0.44	1.46	0.49
BaO(SiO ₂) _x	0.68	0.70	0.62	2.00	0.67	0.53	0.50	0.41	1.44	0.48
CaO(SiO ₂) _x	0.56	0.81	0.77	2.14	0.71	0.41	0.60	0.54	1.55	0.52
CuO(SiO ₂) _x	0.64	0.79	0.72	2.15	0.72	0.50	0.65	0.57	1.72	0.57
Fe ₂ O ₃ (SiO ₂) _x	0.87	0.87	0.87	2.61	0.87	0.73	0.68	0.62	2.03	0.68
MgO(SiO ₂) _x	0.80	0.63	0.58	2.01	0.67	0.53	0.51	0.27	1.31	0.44
MnO(SiO ₂) _x	0.65	0.78	0.70	2.13	0.71	0.51	0.65	0.46	1.62	0.54
NiO(SiO ₂) _x	0.79	0.84	0.63	2.26	0.75	0.65	0.66	0.47	1.78	0.59
Zeolite(Na ₂ O)	0.78	0.65	0.71	2.14	0.71	0.63	0.56	0.55	1.74	0.58
Zeolite(CaO)	0.67	0.52	0.64	1.83	0.61	0.51	0.40	0.48	1.39	0.46
Zeolite(MnO)	0.63	0.67	0.68	1.98	0.66	0.54	0.51	0.50	1.55	0.52
FeSO ₄ ·nH ₂ O	0.72	0.58	0.54	1.84	0.61	-	-	-	-	-

3.2 熱分解実験の結果と考察

3.2.1 PVCを含まない混合アラスケックの熱分解挙動

混合による分解挙動については各単体アラスケックのパターンを重ねたものとして現れ、相乗効果は認められなかつた。分解パターンを図.6に示したが、この分解パターンについて、分解開始時期を早め同時に温度(エネルギー)を低下せしめること、更には分解反応の速度勾配を上昇させて単位時間当たりの処理量を増大させること、それと並行して留出油の性状を改良(改善)すること等が、触媒及び有効な分解炉の配置から得られる期待効果であろう。触媒として鉄・シリカ系を用い、分解装置(図.3を参照)としては主接管(垂直の部分)をワーリングエリアとし留出をコントロールするべし留出温度が一定以上に上昇しないが、保温に止め反応が著しく遷移する。保温構造をもたらせると、反応は早く完了するがフックス状物が凝縮して性状の悪化はもちろん、その後の工程に大きく響くため好ましくない。これらの改善において、触媒の添加は著しい効果を示した。尚、合成触媒についてはX線回折により構造解析を試みたが、その結果はずれも不定形構造と認められた。

アラスケック单味及び混合品についての結果を表.4に示したが、ニオイによる触媒の効果はPEにおいて著しく、PP、PSにおいてはそれ自身が易分解性であるため分解速度に効果を認めなかつたが、PPにおいては200°C以上の留出物が若干増し、PSにおいては逆に減少(モノマー收率は増大)している。これとされKにおいて分解率が上昇し

ている。触媒を3度再使用した結果、分解開始温度が更に低下し、触媒中に残存するカルボニウムイオンの効果と推測される現象を認めた。

これららの検討に加之、分解ガスについての分析結果を表.5に示す。ニオイより、使用した触媒の特徴として水素引き抜き反応が著しく活性化していることがわかつたが、ガスクロマトグラムからも留出油の化学的組成に影響を及ぼしていることが認められたが、詳細についての検討は次の機会に報告したい。水素引き抜き反応の影響としてガス組成におけるC₂以上の成分の著しい減少を来たし、今後の検討課題として興味ある現象である。

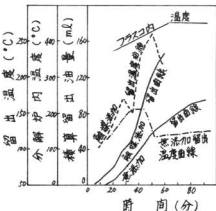


図.6 触媒添加及び無添加における混合アラスケック(PE:2, PP:1, PS:1)の熱分解挙動

表.4 プラスチック単味及び混合における熱分解実験結果

No.	試料	炉内 温度 (°C)	分解開始時 間温 (°C)	分解 時間 (分)	分解 率 (%)	燃出油 率 (L/Kg)	油回収 率 (g/Kg)	200°C以 上留 存 率 (%)	200°C以 上留 存 率 の状態
1	PE 100g	450	250	450	76	92	35	890	68 W
2	PE 100g +触媒30g	435	150	360	56	98	60	950	74 W
3	PP 100g +	450	300	405	37	83	20	800	60 L
4	PP 100g +触媒30g	445	170	390	45	95	45	940	67 L
5	PS 100g	450	280	355	42	93	3	920	73 L
6	PS 90g +触媒26g	450	250	310	34	96	4	960	36 L
7	MIX.(M) 150g	445	225	350	153	95	27	920	67 W+L
8	M 150g +触媒50g	430	150	170	58	95	33	890	60 L
9	M 150g +触媒15g	445	270	330	76	94	27	890	62 W+L

注: MIX(W下Mと略)は PE 2, PP 1, PS 1の混合を意味している。

3・2・2 PTCを含む混合プラスチックの熱分解挙動

ポリ塩化ビニルKについては

、軟塑性及び硬質品Kについて

検討したが、より問題の多い

軟塑品が、一方で市場Kショ

ートライアルで出遇うとい理由

もあり、主たる検討対象としK。

それ自身の分解挙動

Kについては本報(その2)に

述べられていてるので割愛する

が、とりわけフタル酸系物質

の界革Kによる側管の肉塞が著

しく、又起泡現象を誘発する

ため、留出油中に中间分解物

等が混入し性状を悪化させる

。更K、図.4に示すよう、

な通常のスタイルでは脱塩素

反応が一般K行われているようね挙動を

表.5 热分解ガスの組成分析結果

No.	試料 (150g)	分解放生率 (L/Kg.20°C)	ガス組成				
			H ₂	CO	CO ₂	CH ₄	C ₂ H ₆
1	PE 2	19.0	7.3	1.1	1.3	15.0	75.3
2	混合PP 1	22.5	7.9	1.0	0.4	20.8	69.9
3	PS 1	22.3	8.1	1.2	1.3	18.3	71.1
4	+触媒30%	29.7	30.2	0.1	1.3	11.4	57.0
5	+触媒25%	25.6	29.0	0.3	3.3	13.9	53.5
6	+触媒10%	24.0	22.9	0.3	1.9	12.1	62.8
7	PE	30.4	9.0	0.5	0.2	12.0	78.3
8	PE+触媒30%	51.8	30.5	0.2	0.1	13.0	56.2
9	PP	23.0	4.6	0.4	0.4	14.5	80.1

反応が一般K行われているようね挙動を

果だけではなく分解装置の構造Kについても

示さない。従って、本実験では触媒を同様に検討した。結果を表.6に記載し

たが、これらの中、No.14, 15については図.5に示す装置を用い、その他のものは図.4に示す装置を用いた結果であるが、No.14, 15の結果より、これに用いた装置の特徴から生じる効果として、脱塩素率90%以上を認め、他に比較して著しく向上したこと、更に留出油の性状において、外観的にはタル塩素物質の結晶が著しく減少し粘度は若干高いが常温で液状のものが得られ、油中に残存する塩素もほとんど無視しうる程に減少している。とりわけ、No.15の都市ガスより回収した混合酸アラスケックの熱分解においては、脱塩素99%、油中塩素0.4%と良好な結果を示したが、もちろんポリ塩化ビニルの混入率が10%前後であることも影響するが、主たる要因として、繰返し加熱を受け、環境劣化と熱

表. 6 PTCを含む混合アラスケックの熱分解実験結果

No.	試料 (100g)				予備処理		分解条件		塩素回収率 (%)		残渣 (%)	ガス生成率 (%)	留出油性状					
	PE (%)	PP (%)	PS (%)	PVC (%)	触媒 g	温度 (°C)	時間 (分)	塩素率 (%)	温度 (°C)	時間 (分)	分解時	計	留出量 (CAL/g)	発热量 (kcal/g)	全塩素 (%)	氷溶性塩素 (%)		
1	-	-	-	100	-	250	30	6.2	410	150	27.6	33.8	16.2	-	31.0	8580	8.46	0.61
2	-	-	-	100	-	250	60	19.7	300	150	21.1	40.8	16.8	40.2	29.8	-	-	-
3	-	-	-	100	-	250	60	6.2	150	27.6	33.8	16.2	42.9	30.0	-	-	-	-
4	-	-	-	100	20	250	60	30.0	450	150	12.9	42.9	-	-	-	-	-	-
5	50	20	20	10	-	260	30	5.8	120	27.5	33.3	13.8	7.2	-	-	-	-	-
6	50	20	20	10	-	250	30	5.9	410	150	28.0	33.9	13.8	-	78.1	10560	0.90	0.25
7	50	20	20	10	-	-	-	-	300	-	-	-	6.5	6.4*	82.5	10530	1.84	0.10
8	50	20	20	10	50	-	-	-	450	70	13.6	13.6	1.0	6.2	92.4	-	-	-
9*	50	20	20	10	50	-	-	-	70	18.2	18.2	2.0	8.4	89.0	-	-	-	-
10*	50	20	20	10	50	-	-	-	410	90	13.3	13.3	5.7	-	92.4	10650	0.77	0.20
11*	50	20	20	10	50	-	-	-	410	80	17.7	17.7	6.0	-	89.0	10630	0.70	0.21
12	40	20	20	20	-	-	-	-	300	-	-	-	8.5	5.8*	82.5	9910	2.90	0.63
13	35	15	20	30	-	-	-	-	450	-	-	-	11.0	4.7*	75.0	10320	2.38	0.10
14	40	20	20	20	30	-	-	-	80	90.6	90.6	9.2	15.2	73.7	10820	0.54	-	-
15	船橋市廢アラスケック	30	-	-	-	-	-	-	80	99.0	99.0	7.0	20.5	64.0	10580	0.38	-	-

但し、No.列の*印は触媒の連續再使用を、ガス生成率の列の**印は%表示ではなく100g当りの発生ガス容量(l)で表示した。又、船橋市廢アラスケック(No.15)の組成等についてはオ4報の表.1を参照していただきたい。

劣化が並行して進行している魔アラスケックの混合品において脱温素反応及び分解反応がスムーズに進むことは容易に推察されるところである。その反面で留出油生成率は劣化を受けたものの程度低下し、塩化水素を除いてガス成分については逆にその生成が促進されるところ認められた。

4. 結 言

以上の実験において混合魔アラスケックの熱分解に関して下記のように結論できる。

1) 合成した鉄・シリカ系触媒が比較的安全面に提供しうるとともに、アラスケックの分解のパターン及び分解により生成する油及びガス成分にかなりの効果と改善をもたらす結果を認めた。

2) ポリ塩化ビニルを含む混合アラスケックについても上記触媒の添加により良質油の回収が十分可能であり、その際分解装置の構造として、脱温素反応を還流加熱により行ない、炉頂部より塩化水素ガス及び低沸点ガスを回収分離し、脱温素反応の満腹後留出油を倒槽より留出させる。この場合、クリーニングエリアを適当な温度に設定すれば通常的K沸点範囲のそろった良質油を回収出来るので、このような構造が特に優れられる。又、連続炉に適用する場合には前述した脱温素構造と分解構造を分離し、場合により中间にストレージタンクを設ける必要がある。

3) 分解所要温度は内容物の劣化による熱伝導の低下あるいは炉修理の問題等に

より極めて低い程度だが、逆に分解性が低下する。これについては触媒の使用によりその改善に著しい効果を認めたので特筆したい。

4) 炉内を搅拌する場合、遠心力により触媒は炉壁に集まり接触分解における熱効率を高めるとともに炉壁へのカーボンの付着あるいは固着を抑制する効果がある。

5) 以上の諸効果とともに、触媒による有効かつ高効率な資源型の再資源化技術の実現が可能となるであろう。

合成触媒についてはそれらの本質に関する検討とそれから更によりよい触媒を合成していくことにして、今後更に研究を重ねる必要があるが、分解の促進において一定時期の効果を達成したと言える。

文 献

- 1) 高分子学会編: 1974年度高分子前処利用討論会講演要旨集
- 2) 昭和49年版 広島県公報白書
- 3) 潤、浦原、東: 本報告, No.16(1973)
- 4) 斎波忠夫外: 触媒化学概論

有害物質としての鉛ヒュームの発生と 作業環境に及ぼす影響について

好満芳邦, 横山宏樹
山県康男, 永富精
土取功, 鈴木寛
新田明, 加城正義

1. 緒 言

広島県公害防止条例に規定される有害物質(ものの燃焼に伴う場合を除く。)は16種有り、鉛及び鉛化合物については排出基準として $1.5 \text{ mg}/\text{m}^3$ をこえないと規定されている。¹⁾ものの燃焼に伴う場合にあっては、国の大気汚染防止法をそのまま適用している。

一方、作業場における許容濃度は $0.15 \text{ mg}/\text{m}^3$ であり、設備内の濃度がこれをこえる場合において、除じん装置等の設置を義務づけられている。^{2), 3)}更に、浮遊粉じんについての作業場許容濃度は、遊離硫酸30%以上のものの及び、アルミニウム、アルミナ、ケイソーア、石墨等を含むものにあっては、 $2 \text{ mg}/\text{m}^3$ 、遊離硫酸30%未満のものの及び、酸化鉄、グラファイト、カーボンアラット、石炭等を含むものにあっては、 $5 \text{ mg}/\text{m}^3$ 、その他のものにあっては、 $10 \text{ mg}/\text{m}^3$ をこえないこととなっている。又、水中に施行した場合については、排水基準として、 1 ppm 、飲料水基準として、 0.1 ppm をそれぞれこえないことと規定されている。

このような法規制の下で企業活動を行なう際、外部的にも、又、内部的にも、企業責任の名のもとに絶力を挙げ対応してゆくことはもちろん、基準があるための対策といつた形ではなく、その発生と排出を最小限に喫い止める努力が肝要であ

る。こうした観点から、鉛及びその化合物の熱的挙動についての実験的情報が不足している現状において、中小企業者に対する対策を立てての基礎的情報を提供するにあたり、広島県下において、業者らが調査研究を進めた結果について概略を紹介し、全般的な検討を試みた。

実験においては、広島県の特産品としての船製造業を对象とし、熱処理用鉛浴からの船ヒュームの発生と防止を検討するための小規模実験装置を組み立て、種々の検討を試み興味深い知見を得た。

2. 実験方法

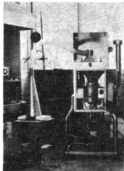
2.1 鉛浴からの船ヒュームの発生
内径 67 mm φ×深さ 189 mm の浴解炉(試作品、鉛盤で外周に電熱ヒーターを巻いたもの。)に約 6 kg の鉛地金を投入し、サーモカップルで浴表面の温度を測定しつつヒーター制御を行ない、浴温を上昇させ、所定の温度(750 、 780 、 800 、 820 、並びに 850°C の各温度)Kにおいて所要時間中保持し、浴表面より発生するヒュームを $500 \text{ l}/\text{分}$ の吸引速度で、フード、ダクトによりハイボリュームエアサンプラーに導き、これを捕集し、丁1S K 0097の方法により分析を行なった。ハイボリュームエアサンプラーについては、沖縄としてセルロース系のもの(東洋沖縄 No. 5A相当品)を 260

$mm \times 210\text{mm}$ の寸法に調整して供し、補正用として、東洋沪紙No.5c(110mmの)を吸引ドロワーの手前Kにセットし、一次側を通過したものを捕集し補正した。

尚、浴の条件としては温度条件の他に鉛の酸化スケール防止の目的で木炭を添加したもの(鉛製造業者が従来実施している手法である)を主体とし、別に無添加状態について

ても効果として
800°C及び850°Cにおいて実験を行なった。木炭添加の方法は写真.1 実験装置

最大径10mm以下に粉碎したものをお表面全体を均一に撒かせた。実験装置の概略を写真.1 K示す。



2.2 フード効果の検討

2.1 の実験の延長として、フード位置を炉表面より浴内径の1倍、3倍、並びに4倍の距離について移動させ、フードの効果を検討した。実験に用いたフードの構造及び寸法は、図.1 Kに示すとおりである。

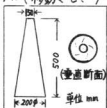


図.1 フードの形状図

2.3 室内作業環境

上記の実験を行なった実験室における室内環境の汚染度合をチェックするため、ハンディ・ハイボリュームエアサンプラーを用いて、留出室内、約 $30\text{m}^3/\text{分}$ の

速度で換気扇を作動させた場合、並びに開閉した場合のそれそれにおける室内空気を吸引採取し分析に供した。尚、留出積は大略 65m^3 であった。

2.4 水への溶解性の検討

単体鉛の水道水への溶解度をチェックする目的で表面にやすり掛けを施した鉛地金を2週間水道水に浸漬し、沪別後沪液について溶解性鉛の分析を原子吸光光度法により行なった。

2.5 ヒュームの状態観察

ヒューム捕集沪紙の一部を真空蒸着法によりホルダー上に蒸着し、走査型電子顕微鏡により状態及び形状を観察、撮影した。

3. 実験結果と考察

3.1 浴温度の変化による鉛ヒュームの発生状況について

現場に設立つように、数値は($\text{mg}/\text{h}\cdot\text{cm}^2$)を採用し、炉の断面積に応じて発生量を換算出来る形とした。結果を表.1 及び図.2 K示す。傾向として、 $800\pm20^\circ\text{C}$ の範囲において鉛ヒュームの発生量が温度上昇に伴い急増し、この際木炭の添加が凝聚(捕集)の抑制にかけ顕著な効果を示した。鉛の熱処理温度は各社まちまちであるが、大略 $780\sim820^\circ\text{C}$ であり、鉛ヒュームの発生における浴温度依存性の大きい範囲である。

従って、製品面への影響の検討を十分行ない、必要以上方過熱を避け、かつ管理を十分に行なうことが望まれる。木炭の添加効果は顕著であるが、炭じん及び灰の過剰と一酸化炭素等のガスを発生

し、作業環境を悪化させる。尚、鉛製造業者が從前より鉛浴を用いてきた理由は、均一な焼入孔ができることと比重の関係で鉛材が沈すないため焼入孔作業がスムーズに行なえられる等の利点によるものである。

表.1 浴温度の変化と鉛ヒューム発生量
(鉛表面に木炭添加)

浴温度(°C)	採取時間(min.)	鉛ヒューム濃度(mgPb/d)	鉛ヒューム発生率(mgPb/h-cm ²)
750	20	0.028	0.024
780	20	0.032	0.027
800	20	0.072	0.062
	15	0.156*	0.134*
820	20	0.084	0.072
	15	0.084	0.072
850	5	0.624*	0.535*

* mark: 木炭無添加における測定値

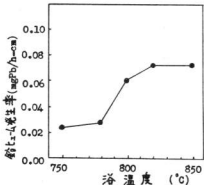


図.2 浴温度-鉛ヒューム発生率曲線

3.2 フード効果について

これについては800°Cにおいて、木炭添加及び無添加について行なったが、発生量そのものが浴温度の小さな変動や

表面状態等の因子により微妙に変動するため、空気流等の影響も加わり同一条件での測定値にかなりのばらつきが認められた。候って、結果は図.3に上下限の幅をも示して示した。この結果については所定の炉条件及炉運転条件の場合の一例として参考に供したい。

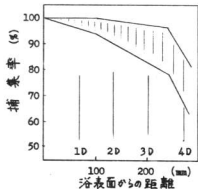


図.3 フード効果の減衰曲線

3.3 室内環境の挙動について

室内における鉛ヒュームの挙動を作業場濃度という形で追尾した結果を表.2に示す。採取位置は発生源から水平及び垂直方向にそれぞれ1 mの点を選び、サンプラーを固定して行なった。結果は予想した傾向を示したが、採取係数が若干大きめである。

表.2 室内における鉛ヒュームの挙動

室内条件	採取時間(min.)	鉛ヒューム濃度(mgPb/d)
密閉	50	0.025
換気扇作動	53	0.014
開放	97	0.001

3.4 鉛の水中移行について

これについては溶存鉛として 0.60 ppm なる検出値を認めた。これは水の pH により変動する値であるが、中性では排水基準を下回る。しかし、溶存鉛が他に水中に懸濁鉛が生長し流動時懸濁が 1 フロツクとして浮遊するため、全鉛としてどうする必要がある。

3.5 鉛ヒュームの状態の観察

走査型電子顕微鏡写真を写真 2 及び 3 に示したが、主に捕集用セルロースフィルターの間際に 1μ 前後あるのはそれ以下のものが集中しており、鉛ヒュームが微小ささを如実に示している。形状は球状にはほぼ近く気泡析出型の典型と言える。これらのことから、鉛ヒュームが呼吸器に入った場合肺胞近くまで浸入すること（肺胞に到達するのもも一部あらう）、又、算じんに際してはヒュームを凝集させた後高性能算じんを行なう必要がある。同時に、 0.1μ 付近のものも観察され沪過式算じん料構の高精度を実証するに共に、たとえ水中濃度が低いとしてもその危険性を感じるところである。



写真.2 電顕写真
(低倍率)



写真.3 電顕写真
(高倍率)

4. 鉛使用施設の実態

このことについては結果を列記し、終

りに総括する。

表.3 鉛導入工程(鉛浴)の実態

温度 区分 (℃)	項目	浮遊粉じん鉛の濃度	
		(mg/m³)	(mgPb/m³)
発生源	780	1.0	0.64
界面	800	4.7	0.36
直上部	820	-	0.68
界面上部	780	0.64	0.026
200 →400 mm	820	0.31	0.023
作業位置	780	0.40	0.005
作業場	800	0.05—0.20	0.001 0.005
良かれ作業 場の例	800	0.79—3.8	0.003 — 0.005

表.4 鉛製造工程排水の水質

工程	pH	Pb (p.p.m.)	
		溶解鉛	全鉛
電解研磨	2-3	0.5-2.0	0.6-4.0
焼入れ	8-10	0.1-0.2	2.0-15

表.5 印刷工場の実態

採取場所	浮遊粉じん (mg/m³)	長年鉛濃度 (mgPb/m³)
一般印刷工場	0.2-0.5	-
カーボン印刷工場	0.5-1.0	-
カラー印刷工場	1.0-3.0	-
植字工場	-	-0.1
清字工場	-	-0.1
文選工場	-	-0.1

表.6 鉛(合金)ダクト工程の実態

採取位置	浮遊粉じん (mg/m ³)	鉛ヒューム濃度 (mgPb/L)
ダクトマシン上	20-30	0.4-1.0
ダクトマシン横	0.5-1.5	0.2-0.5
鉛着附付帯	200-400	1.0-2.0

表.7 ポリ塩化ビニル加工工場の実態

採取場所	塩化水素 (p.p.m.)	浮遊粉じん (mg/m ³)	水中鉛濃度 (mgPb/L)
成形加工工場	0.5-1.5	-	-
造粒工場	-	10-15	0.5-1.0
調合工場	-	2-4	0.2-0.5
安定剤添加部	-	30-60	5-10

表.8 鉛回収用キャブリヤー反射炉の取扱実態

項目	煙道中じん濃度 (g/Nm ³)	鉛ヒューム濃度 (mgPb/m ³)	ppm濃度 (p.p.m.)
未処理	5-10	60-150	3,000 1,000
简易湿式処理	0.7-1.5	30-60	— 500
バグ・スクリーパー処理 (油性物質不溶性)	0.05-0.1	0.6-1.0	— 100
(能定じい、鉛回収量 700kg/h、操作不量 4,000~5,000kg/h)			

表.9 鉛回収炉における1971年から処理効率の年変化

項目	煙道中じん濃度 (g/Nm ³)	鉛ヒューム濃度 (mg/Nm ³)	環境における鉛 粉じん濃度 (mg/m ³)
測定年			
1971	0.05	0.57	0.0007
1972	0.06	0.73	0.0008
1973	0.06	1.07	-
1974	0.01	3.20	-
(基準値)	(0.40)	(10.0)	(0.05)
(東京金属工業所 提供)			

4.1 鉛製造業の実態について
 調査した企業においてはいずれも浴温を800°Cに設定し、フード・ダクトあるいはファンを設置していた。780及び820°Cにおける測定値は休止炉を採用して実験したものである。結果の中で、発生源界面直上部は外部からの影響を比較的受けにくく、かつ界面と平衡關係にあるため地中濃度が高い。780~820°Cの間に800°Cに低い値が出たのは木炭添加等の効果による(780及び820°Cが最初に添加しただけ)ものと認められる。界面上部200~400mmではフードへの外気の吸い込みによる気流の支配する部分で、界面附近から一部拡散してきた鉛ヒュームが気流により輸送される部分である。作業位置においては気流が逆向きとなるので低い値を示す。表.10の相関性については、前者が過剰吸引により絶対量を測定したため、直接の関連はないと考える。以上の二点からフード効果を認めたと共に鉛ヒュームが微小であるので、鉛浴を化工程から分離し、フード・ダクトの効率を高める工夫と排気量を大きくとり作業場への拡散を防ぐ必要がある。又、隣接地域への拡散防止のため集じん設備の設置が望まれる。排水についてはpHを8付近に制御し、沪通、凝聚沈殿等によりSSを除去する必要を認めたが、極力クローズド化することが望される。焼入水工程における他の要因として重油バーナー排ガスの一部漏洩により作業環境を悪化させていた。

4.2 他業種の実態について
 表.5~9に示す結果より、印刷業にお

にては発生源付近で最大 $0.1\text{mg}/\text{m}^3$ であり、これは植字、文運並びに鋳造工程が同一フロアードであるため鋳造からの捕集にむかと認められ鋳造工程を分離する必要がある。亜鉛ダイカストについては鋳造機設置密度が高く、又能力が印刷業に比し大きいため許容濃度を上回っている。現在の法規制下にあっては効率の良い換気を現場の状況に適応させながら実施し、ニルを集じんする必要がある。

溶解炉については、別個に、鉛膏鋼錫錫のデータとしてフード・ダクト内 $1.3\text{mg}/\text{m}^3$ 、鋳型流し込み工程 $0.1\sim0.2\text{mg}/\text{m}^3$ といつて測定値もあり留意を要する。
PTCの加工工場においては前工程で粉じん及び有機溶剤、成形工程においては塗装水素ガスが主役となる。これらについては悪化化省力化に危険があるため、局部排気を行ない、隣接地盤への拡散を防止し、それと伴った全排気限界を考慮する必要がある。廢棄物からの鉛回収業については大気への直接的大量排出源であるため、従来より地域の公害事業として注目を受けていた業種であるが、住民、行政当局との接触及び技術的対策等においてさんざん苦労した後、当初の安易な対策を捨て去り、設備費の高価な高性能バグ・フィルターを採用しようやくに踏みをつけた企業が一社あり、同社では捕集したダスト(鉛として40~60%含有)を炉に還元し、その利益で操業コストがオカなえるとのことである。しかし問題点として、当初イオウ酸化物も捕集していくものが経時に捕集しづくなり、別個にイオウ酸化物の処理が必要となる傾向がみられる。これは再循環により捕集困難されたイオウ酸化物がリサイクルされたために濃度がアップするためと考えられる。

5. 結 言

以上の諸実験、現場測定等の結果次に掲げる結論を得た。

- 1) 鋳浴からの鉛ヒュームの發生は 800°C 付近の温度依存性が顕著であり、温度管理の徹底、フード・ダクト、ファン等による局部限界と高性能集じんが望まれる。又、木炭添加による抑制効果が予想以上に顕著であった。焼入水はクローズド化し、一定期間毎に沪過等の処理が必要である。
- 2) 鉛溶解炉等における鉛模が大きいため深刻化しているが、注湯も含めて溶解鉛の流し込み作業が鉛中毒錫錫の労働命令について厳しいものとなる。
- 3) 鉛を使用する工程においては、オートリサイクルを把握し、設備費が高くついても高性能処理施設を早期にかつ計画性をもって設置すべきである。電局は対策はいたずらに無駄な時間と経費を、それに加えて精神的負担(経営者及び従業員)を重くし、消費するばかりである。終りにあたり、調査にご協力戴いた鉛業界の方々、並びに資料を提供戴いた長内金属工業所、長内春一社長に謝意を表します。

文 献

- 1) 広島県公害防止条例
- 2) 日本薬学会編:衛生試験法注解
- 3) 労働省令第37号:労働安全衛生活に基づく鉛中毒予防規定

交流ポーラグラフ法による アルミニウム合金中の亜鉛の分析法

渡部 英雄, 志和 尚, 田谷 征雄

I. 緒 言

現在アルミニウム合金中の亜鉛の分析法は、亜鉛含有量により重量法、容量法、ボーラログラフ法、原子吸光度法、発光分光分析法が採用されている。

重量法は共存元素の分離のために硫化水素ガスを二度もコントロールしなければならず、硫化水素ガスによる悪臭ににより分析担当者を不快にしているのが現状である。

容量法は強塩基イオン交換樹脂柱をとおして、亜鉛を樹脂に吸着分離後亜鉛の分析をEDTA溶液による滴定でおこなっている。この方法は樹脂柱をとおす流れ等でかなり操作が繁雑となる。

ボーラログラフ法は支持電解質をアノニア-塩化アンモニウム溶液でおこなうので、アルミニウムの水酸化物の沈殿に亜鉛が吸着されて波高が低くなり、検量線は高純度アルミニウムを添加して測定しなければならないという欠点がある。

原子吸光度法はボーラログラフ法にくらべて感度は良く、試料の採取量も少量で、共存元素はケイ素のみを分別すれば良く、迅速で精度良く分析出来るという長所がある。

今回支持電解質を硫酸-塩酸下共存元素もケイ素のみを分離し、原子吸光度法にくらべれば時間はかかるが、支流ボ

ーラログラフ法で精度良く分析出来たので報告する。

2. 実験方法

2.1 試薬

亜鉛標準溶液：金属亜鉛(99.99%)1gを塩酸下溶解し、これに希釈して1Lとし、1000ppm溶液を調整した。使用に際してはこの原液を適当に希釈して調整した。

共存元素の影響を調べるために使用した試薬は99.9%以上の各々の純金属を使用した。

支持電解質として使用する酸は全て特級試薬を使用した。

2.2 装置

柳本製作所製PM-102型を使用、水温は20°C(一定)とした。

2.3 支持電解質および共存元素の影響について

支持電解質が酸性ということで、塩酸、硫酸、硝酸の影響について検討した。濃度は0.2~2.0Mまで変化させた。同時に硫酸-塩酸の混合支持電解質についてもあわせて検討した。

共存元素の影響については支持電解質の濃度は一定(1.5M H₂SO₄+1.0M HCl)でアルミニウム合金中に含まれる最大量まで添加して検討した。波高については全て4.0mV/mm. VS Hg-Poolでおこなった。

3. 定量法

3.1 検量線の作成

10M-H₂SO₄溶液/15mlと5M-HCl溶液20mlを100mlのスヌラスコに入れ、亜鉛として0.5~2.0mgまで添加し、これを希釈して100mlとし、-0.8~-1.2Vまでのポーラログラムをとり、亜鉛の検量線を作成した。

3.2 アルミニウム合金の分析法

試料1gを300mlのビーカーに精粹し、これに(1+1)HCl溶液30mlを除々に加え、反応が急激に進むと水下冷却し、試料を完全に分解する。これにH₂O₂溶液2mlを加え、銅、鉄等を酸化する。これに10M-H₂SO₄溶液/15mlをホールビペットで加え、加熱して硫酸白煙を発生させる。冷却後水30mlを加え、加熱溶解する。冷却後これを沙過して沙液を100mlのスヌラスコに入れ、ケイ素を完全に分離する。

これに5.0M-HCl溶液20mlを正確にホールビペットで入れ、水下希釈して100mlとし、-0.8~-1.2Vまでのポーラログラムをとり、亜鉛含有量を検量線より求める。

4. 実験結果と考察

4.1 支持電解質の影響

亜鉛のポーラログラムをとる時に支持電解質が問題となるが、今まで支持電解質と使用されているものとしては、アンモニア-塩化アンモニウム等があるが、今回酸性の支持電解質ということで、塩酸、硫酸、硝酸濃度の影響について検討した。支持電解質の濃度としては0.2~2.0Mまで変化させ、その波高の変化を図1に示す。硝酸については0.5M以上

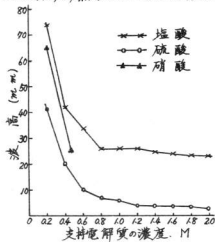
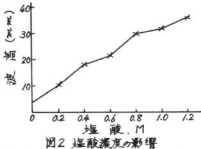


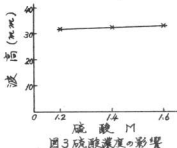
図1 支持電解質の影響

になると最終上界とかとなり、波高の測定が出来なくなりた。塩酸、硫酸については酸濃度が高くなると、しだいに波高は低くなるが、塩酸濃度は0.8M、硫酸濃度は1.2M以上になるとほとんど変化しなくなる。塩酸と硫酸での波高をくらべれば、塩酸のほうが同一濃度では波高がはるかに高いが、実試料を分析する時の支持電解質の濃度の調整を考慮して硫酸濃度をベースにし、これに塩酸を添加して波高の変化を調べた。硫酸濃度は1.5Mと一定にし、これに塩酸濃度を

0.2~1.2 M まで変化させた。その波高の変化を図2に示す。塩酸濃度が高くなる



ほぼなるだり亞鉛の波高は上昇する。塩酸濃度が1.2 M になると波高は高いが、再現性の点で問題があり、塩酸濃度は1.0 M が最適である。実試料を分析する時に硫酸白煙を発生させて酸濃度を調節するので、わざかではあるが硫酸濃度が変化するから、塩酸濃度1.0 M とし、硫酸濃度を1.2~1.6 M まで変化させ、その波高の変化を図3に示す。硫酸濃度がこ



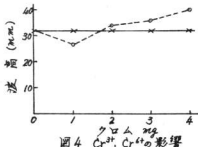
の範囲では、ほとんど亞鉛の波高に影響がなく、実試料の分析も可能である。

4. 2 共存元素の影響について

試料(アルミニウム合金)1g 中に共存する元素の最大量まで添加して、亞鉛の波高の変化を観て分析、アルミニウム

1000 mg、マグネシウム 110 mg、ニ

ッケル 25 mg、鉄 10 mg、マンガン 8 mg、チタン 2.5 mg の共存は波高に影響しなかった。クロムについては Cr^{3+} 、 Cr^{6+} の状態で 1~4 mg まで添加して、亜鉛の波高の変化を図4に示す。支持電解質が



1.5 M H_2SO_4 + 1.0 M HCl の濃度では、亜鉛の波高と Cr^{6+} の波高がほとんど同じ位置に現われ完全に重複する。 Cr^{3+} の場合は図4に示す通り亜鉛の波高に影響はないかった。クロムを含んだ実試料を分析する場合、使用する酸化剤は過酸化水素水だけであるので、クロムが大過量で酸化されることなく、クロム 4 mgまでの共存は影響を与えないかった。銅については、2.0 mg以上共存した場合銅と水銀の接触時間が長いと銅と水銀がアーレガムを作り、再現性の良い波高が得られないが、ボーラログロムをとる直前に水銀を入れ、出来ただけ接触時間を短くすれば、5.0 mgの共存は亜鉛の波高に影響をあたさなかった。

5. 定量結果

3. 1 より求めた検量線を図5に示す。図5より再現性の良い、直線の検量線が得られた。

また3. 2により B.C.S の標準試料に

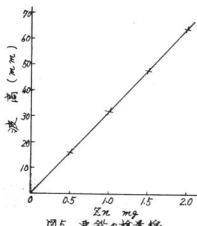


図5 亜鉛の検量線

表1. 標準試料の分析結果

番号	0.10 %	0.07 %
1	0.098%	0.068%
2	0.096%	0.068%
3	0.101%	0.067%

ついで分析した結果を表1に示す。表1に示すとおり、実試料に十分利用できることを知見した。

実試料を分析する時、亜鉛含有量が1mg以下の場合、感度を2.0 $\mu\text{g}/\text{ml}$ とし、3.2で示した操作にしたがって定量したほうがより正確であった。この感度下測定すると0.01%まで測定出来た。

6. 結 言

以上の結果を要約すると次のことがわかった。

1. JISで示されているポーラログラフ法では、支持電解質の濃度が多少変化しても波高にそれほど影響はないが、支持電解質を酸性(硫酸-塩酸)である

と、酸濃度によつて波高がいちぢるしく変化するので、酸濃度の調節特に注意する必要がある。

2. 銅を多量に含む試料については、銅-水銀のアマルガムを作りやすいので、ポーラロケラムをとる直前に水銀を添加する。

1. 2のような注意はあるが、酸濃度の調節、水銀の添加方法を注意すれば、この方法で0.01%の亜鉛含有量まで測定出来ることを確認した。

文 献

- 1) JIS H 1356-1968
- 2) JIS H 1306-1974
- 3) JIS H 1303-1975

レヂノイド砥石用樹脂強化グラス・クロスの クローズ化と有効利用に関する研究（大要）

東 正十郎, 関 守 雄
高崎宗利, 大下 錠

1. 緒 言

広島県内に於ける砥石の生産は全国比約20%で、その60%がレヂノイド系である。又、2~3社を除き大半も中小企業で、主としてオフセット砥石或いは切削砥石を製造しているが、工程は殆んど類似でレゾール系エポルレジンで強化したグラスクロスを2~3層積みし、レジン混練砥粒・添付剤をサンドイッキレ加压成型後キュアしている。

レジン含浸クロスから肉眼状物をトリミングする際、實に45~50%の廃棄クロスを出している。

その処分にはリサイクルも困難しており、加えて省資源の観点からも、そのクローズ化と英大仲への有効利用に就いて実験を行ない、各方法もその可能性を認め難く実用化されたものもあるので、それらの結果を大略記述する。

2. 実験方法

2.1. 試料

呉市内2工場より廃出す既記樹脂含浸グラス・クロス3種類(1種は切削用のものであつて)を用ひた。

2.2. 実験方法

1) 許料中の含浸レジン量はアセトニン或いはメタール・ソッケル・レジン抽出法により求め、回収エポルのB-性能確認

(1) 次元ペーパークロマト(酒井氏法)により行った。

2) 脱レジンしたクロスは解説してモルファメント化し走査電子顕微鏡を行なうと共に、砥粒と選択可能な適当な長さに切断し、強度のストリクス強化を行なった。

又回収したレジンは最初の確立或いは配合にも利用した。尚、未脱レジンクロスを解説し、軽くメタールにて脱レジンし、ナイロン6との複合成型を行ない、或いは廃クロスをそのまま加压成型し建物等への応用も試みた。

3. 実験結果と考察

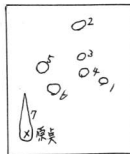
3.1. 廃出樹脂強化グラス・クロスの性状: グラスクロスの走査電顕による1000倍拡大観察の結果、モルファメントの全長は13μで300gの集束をりた27μのものであった。

タンベルでトリミングした残材クロスには38.4~42.4%のエポル・レジンが抽出された。

3.2. 回収したレジンの状態:

回収レジンをベンゼン-酢酸-水に溶解後その上層から10μlをペーパークロマトで2次元展開し、*p-nitro-aceton-diazonium*液で発色した。その結果は1,2-メチロ-ビ-フェル(1), 2-2'-デビドロキシジフェニルメタン(2)等を認め、B-stab

にあることを確認して、前記以外に確認したスポットの成分を図-1に示す。



圖十一、圓柱形-1112392次 7) 高次子離合物
223上。

3.3 オフセット砥石へのリターン
レジン食漫クロスを適当にカット等の
工程を加えれば、純粋な結合強度材
となり得る可能性がある。



图-2 14 破石補強用鋼川筋の分量試験

図2に見られる如く回収アライメントが癌腫内に介在してなることが明瞭である。

3.4 +1口÷6への複合

実験方法補で既述した如く特殊な考慮を払つて後、3m/m長にカットしたアクリルをバージンのナイロンに NS-2 軸 FM 装置を用いて混練、タグレット化したものを大型射出成形機により試験用金型キヤビネットにインゼクタ成形した。

表-1に見られる如く回収アライドはナイロン6とよく複合しその効果が出てい
る。即ち曲げ強さに於いて 25% 複合

の成形40%_i後のそれはバージンの1.5倍強であり、又原料+イロン6の変形温度が15%クロスアレンドで65℃から158℃に著しく上昇した。

表-1 地図収縮スケールによるアーティクルの強化

テクス含有量	単位	精エリV	15%	25%
吸水率	%	吸水率 吸水率 吸水率	吸水率 吸水率 吸水率	吸水率 吸水率 吸水率
比重	-	- 1.13	- 1.24	- 1.30
引張り強度	N/mm ²	563 715	764 896	904 1041
曲げ強度	mm	1160 966	1812 1462	2320 1630
曲げ弹性率	N/mm ²	- 2.4	- 4.0	- 4.7
ロット平均密度	Kg/L	-	-	-
熱变形温度	℃	- 65	- 158	- -
18%失重温度	℃	-	-	-

以上のことから、オフセットエンド等から大量に発生するレジン含浸クロスを適当な方法で処理すれば、エンジニアプラスチックの複合強化に有効に利用しえることを明らかにした。

3.5. 魔術の手の成形

レゾール系フラー・レジンを40%左右
も金を磨きクロスを切断し、金型に充填
加压成型180℃でキュアし、建物用遮熱
扉、風板等、園芸用へ。代用品と試作
し一部は市販されるに至った。

3.6. 吸着材への応用

脱レジン或いはレジン含浸のモノガタリ解説し、福レゾール液で成型硬化して吸音板(5×30×30cm)は2000周波数(5/5)で70~80%の吸音率を示した。

フライバーの配列、面密度を改良せば90%程度の吸音は可能である。

又、ゼオライト(天然石)を5%混合してそれと2000 CPSで60%の吸音率しか与えず、構造・加材の配合は一考を要する。

3.7. 斜法安定性

3.4でナイロン6に複合したクロスフアイバーの斜法安定性に関する試験結果は良好な結果を得た。

表-2. ガラスファイバー強化樹脂の斜法安定性

条件	種別	2%歪 モード 0%	15%	25%
成形温度200°C	A	1.44	0.357	0.425
自然放置	B	1.35	0.352	0.256
2回目(11%温)	A	1.452	0.374	0.234
強化樹脂加成	B	1.263	0.359	0.251
3回目(100%温)	A	1.417	0.335	0.356
水中浸漬	B	1.084	0.335	0.259

4. 結 言

オフセット切断、圓転盤強力より多量に廢出するレジン(A-STAB)を浸漬ガラスクロスは(1)工場内に於てレジンは溶剤で回収、レジンは塗布にて脱離との複合レジンとして用い、クロスは解離し強度一マトリックス間の補強に用いればクロスド化される。(2)ナイロン6等エンジニアリングプラスチックへの複合化に(3)脱層剝離への脱レジンアーマメントの応用(4)浸漬クロスのまでの加压成形等に有効利用し得ることを明らかにし実地販路に入りつつある。

(工業材料誌掲載中)

謝 辞

実験に際し資料を提供された地元オフセット工場と社を始め、射出成型の便を与えられた日本製鋼所高麗製作所機械研究所、加压成形部織物を惜まれなかつたアサ化學工業社等に深謝致します。

文 献

- 1). 瀧戸. 2次元ペーパークロスケラフに及ぼすアートレジンの同定(市工研)
FRPの特徴と物理性 No.12(69)
- 2). 大石. FRPの成形加工技術の進歩
ガラスファイバースト No.9(74)8
- 3). 高橋東. FRPの成形と物理性 No.12(69)
- 4). 伊藤. NOD(77)
- 5). 伊藤. NOD(78)
- 6). 4項目 FRPの成形加工技術の進歩
ガラスファイバースト No.9(74)28
- 7). 矢野. 物性評価における問題点
工業材料 No.3(74)10
- 8). 宮西. ガラス繊維強化ポリプロピレンの物理性と応用
ガラス繊維強化ポリプロピレン No.15(74)IV.
- 9). 高野. FR-RA, FR-POM
ガラスファイバースト No.9(74)73
- 10). 大西. FRTPの構造強化機能の向上
ガラスファイバースト No.9(74)16
- 11). 日碍織. GLASS FIBER PRODUCT
microwave catalog MLR pp.

大気汚染・悪臭防除に関する研究 (第3報)

アルカリ吸収による窒素酸化物の処理について

山 県 康 男, 好 満 芳 邦
山 本 俊 文*, 上 原 到**

1. 緒 言

NO_xはSO_xとともに大気汚染の主因とされていゝが、SO_xは排出規制の強化にともない低硫黄重油の使用、ガスや灯油などによる燃焼転換、排煙脱硫装置の普及により、大気中のSO_x濃度は年々横ばいか減少の傾向にある。一方、NO_xは現在の排出規制では不十分だとして、環境庁では排出規制の見直し作業に取り組み、近い将来燃費見制に移行する予定である。NO_xの発生は自動車、航空機などの移動発生源と工場のオイラー、加熱炉などの固定発生源、あるいは硝酸製造装置やニトロ化装置などの固定発生源とに分かれ、これら発生源から排出されるNO_xや炭化水素は紫外線により光化学反応を起し、オゾンを主成分とするオキシダント(光化学スモッグ)と呼ばれる酸化性物質ができるといわれている。このため光化学スモッグ対策として、NO_xの排出量の抑制が必要になつてくる。

我々は染料工場と協力して、染料製造時のニアノ化、ニトロ化工程で発生するNO_xの処理について、テーブルおよび現場実験を行なうので報告する。

2. 実験方法

2.1 NaOHによるNO_xの吸収

* 日本化薬㈱福山染料工場 環境管理課 課長

** 同上 環境技術担当 課

NO_xの発生は過酸化水素液中にN₂ガスを流しながらNaNO₂溶液を滴下し、出てきたNO_xを含むN₂ガスを試料ガスとした。試料ガスをNaOH溶液中に通し、NO_xの吸収効率を測定した。吸収装置の概略は図1に示す。



図1 吸収装置の概略

NO_xの測定は、JIS K 0108のガルツマン法により測定した。

NaOH溶液の濃度のちがいによるNO_xの吸収を検討するため実験計画法を用いて行った。要因としてNaOH濃度(A)を2水準、吸収液量(B)、ガス流速(C)を2水準選んだ。表2にわりつけを示す。

表2 要因および水準

要因	水準						
	1	2	3	4	5	6	7
NaOH (g)	0.1	0.2	0.5	1.0	2.0	5.0	10.0
吸収液量 (ml)	100	150					
吸収液流速 (ml/min)	0.8	1.6					

2.2 NaOHとNa₂SO₃の吸収比較

NaOHとNa₂SO₃を比較するため、次の2種の吸収剤を使用した。

A: 0.5% NaOH 100 ml

B: 5% Na₂SO₃ 100 ml.

ウ: 0.5% NaOH 20 ml + 5% Na₂SO₃ 80 ml } 混合液

エ: 0.5% NaOH 50 ml + 0.2% KMnO₄ 50 ml } 混合液

0.5% NaOH を使用したのは、2.1で最も NO_x の吸収が良いかつたので使用した。
・試料ガスの調整。
吸収方法および測定は 2.1 の方法によること。
・試料ガス濃度は吸収効果をはっきりさせるために 1000 ppm 前後の NO_x ガスを使用した。

Na₂SO₃ 濃度変化による NO_x の吸収効果をみてため、0.5% および 5% の Na₂SO₃ 濃度について NO_x の吸収を測定した。また 5% Na₂SO₃ 濃度について測定を行なった。なお、上記実験の試料ガスは、2.1 の方法では NO_x の濃度変動が大きく、一定濃度のガスを得られにくいで、一度ビニール袋に捕集し、N₂を加えて濃度調節を行なった。NO_x は袋に吸着されることはなく、1 実験での吸着による濃度変動は無視した。他の条件は 2.1 と同じ方法を行なった。

表2 わりつけ

番号	A	B	C
1	1	1	1
2	1	2	2
3	2	2	1
4	2	1	2
5	3	1	1
6	3	2	1
7	4	2	2
8	4	1	1
9	1	1	1
10	1	2	2
11	5	2	1
12	5	1	2
13	6	1	2
14	6	2	1
15	7	2	2
16	7	1	1

3 実験結果

3.1 NaOH 濃度による影響

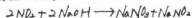
NaOH 濃度に対する NO_x の吸収は表 3 に示す。NaOH 濃度による NO_x の吸収率は 60~80% であった。分散分析によると NaOH 濃度としては NO_x の吸収に明らかな

有意差はないがつかない。比較的低濃度の方の吸収率は良かった。一方ガス流速は

表3 NaOH による NO_x の吸収

番号	入口濃度(ppm)	出口濃度(ppm)	効率(%)	影響する要因
1	179	47	73.7	ガス流速
2	117	41	65.2	ガス流速
3	157	29	81.4	ガス流速
4	143	43	70.0	ガス流速
5	154	39	74.5	ガス流速
6	140	33	76.6	ガス流速
7	148	57	61.5	ガス流速
8	157	36	77.1	ガス流速
9	153	46	69.7	ガス流速
10	169	44	74.1	ガス流速
11	188	36	80.8	ガス流速
12	123	39	68.2	ガス流速
13	92	32	65.9	ガス流速
14	151	46	69.2	ガス流速
15	148	50	66.2	ガス流速
16	120	39	67.3	条件範囲

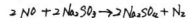
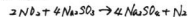
で気液接触に大きな変化を及ぼさないと見える。NaOH による NO_x の吸収は中和反応であり、水との溶解作用により NO_x が液中に移行して、硫酸塩あるいは重碳酸塩になる。



NO_x の防除方法のうち湿式処理す場合、気液接触の良し悪しが処理効果の鍵となるので、アルカリ吸収方式による処理で、データル実験における吸収率 80% 止まりであるから、実装置で満足の処理効果を期待することは困難と思われる。

3.2 NaOH と Na₂SO₃ の比較

Na₂SO₃ 溶液による NO_x の除去方法は、湿式還元反応であり、次式で示すように NO_x を液相で還元し、揮発の N₂ にする方法である。



NO_2 に対して吸収液(1)は前述のよう
に中和反応であり、吸収液(1)は還元反
応である。吸収液(2)は(1)と(1)の相乗
効果を期待した。それぞれの吸収液に対する
 NO_2 の吸収率を表4に示す。

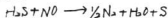
表4 吸収液の相乗による NO_2 の吸収

吸収液	入口濃度 (ppm)	出口 (ppm)	効率(%)	吸引量 kg/h
吸収液(1)	1312	3.3	99.7	5
	1224	2.6	99.9	15
Na_2SO_3 5%	77.5	1.2	98.4	5
	77.5	2.0	93.4	4.5
Na_2SO_3 0.5%	102.0	12.8	97.6	5
	103.0	48.6	52.8	15
吸収液(2)	102.4	3.2	99.7	5
	94.0	2.6	99.7	40
吸収液(T)	95.8	2.3	98.8	5
吸収液(工)	9.00	1.89	99.0	5
Na_2S 5%	75.6	被吸付	100	5
	63.0	0.9	98.6	40

5% Na_2SO_3 濃度は 1000 ppm 濃度の高濃
度 NO_2 ガスでも良好に吸収除去していい。
少なくとも Na_2S と比べた場合、 NO_2 の吸
収は非常に優れていい。しかし、0.5%
 Na_2SO_3 ではあまり効果がなかった。 Na_2SO_3 と同様に還元剤である Na_2S 濃度に付
いたも、 NO_2 をよく吸収することがわか
った。 NO_x を Na_2SO_3 で吸収還元処理する
場合、1 モルの NO_2 あたり 1/2 モルの N
の式に対して Na_2SO_3 1 モルが消費される
ことになり、所要剤が多くなる。 Na_2SO_3
は酸性溶液では分解して SO_2 を発生する。
また、酸化され硝酸に変化するので/
アルマ配管を障害する恐れがある。その
中の分離操作が必要である。低濃度の Na_2SO_3
は NO_2 の吸収に対する寿命も当然早
くなるので、 Na_2SO_3 濃度は処理ガス中の
 NO_x 濃度により考慮すべきである。 Na_2S
は 95% 以上の吸収率があり、 Na_2SO_3 と
同様に NO_2 の処理に有効である。 Na_2S と
 NO_2 の反応は還元反応で次式に示すと



Na_2S は水に溶解して Na_2SH になり、
特に酸性溶液では容易に分解して H_2S を
発生する。 H_2S は還元剤なので、 NO_2 と
接触して



となり、 NO_x 防除の一手段にねえ。 Na_2S
は NO_x 处理における問題点は硫黄の
分離と H_2S の後処理である。 H_2S は NO_x
防止法の規制物質であり、未反応分が排
出されないよう考慮しなければならない。

4. 工場での NO_x 防止対策

日本化薬(株)福山染料工場において、
染料製造時に発生する NO_x の防除方法を
検討した。

広島県の規制値は排ガス中の NO_2 とし
て 100 ppm であり、 NO または NO_x として
の規制はない。国の方針が並い将来、
総量規制にはねうとしていい。今日、広島
県としてもよりきびしい規制がなされる
ものと思われる。

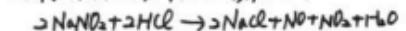
4/1 工程改善による NO_x の抑制

4/1/1 概要

染料製造時のシアソ化工程で NaNO_2 が
使用される。



シアソ化反応は上式に示す通りであるが
余剤の NaNO_2 が HCl と反応して



上式反応により、排ガス中に NO_x が排出
され、排ガスは温式処理されていい。吸
収塔はテラレット充填した洗浄式で同一
規模 2 基直列である。吸収塔の規模は高
さ × 径 15.1 m × 0.395 m、吸収率は 10%
 NaOH 濃度、排風機能力は 5 m³/min であ
る。

4.1.2 工程改善による発生抑制

操作条件を変えて、品質管理に支障をきたさないで、有害物質の発生抑制出でるならば、これ以上の防止方法はない。

操作条件を次のように改善した。① NaNO_2 添加量を極力減らし、余剰の NaNO_2 を余さないようにする。②ジアソ化温度を下げる。③反応が除陥に行なわれるように時間とかけて NaNO_2 を滴下する。④反応終了時に尿素を添加して、余剰の NaNO_2 を分解還元化する。

表5 操作条件の改善点

項目	改善前	改善後
NaNO_2 量(kg)	19	16
ジアソ化温度(℃)	7	1
ジアソ化時間分	15	60
尿素(g/L)	7.5	2

測定はダルツマン法による。改善前後の排ガス中の NO_x 濃度測定結果は表6に示す。

表6 操作変更による NO_x 濃度

工程内容	入口濃度(mg/m³)	出口濃度(mg/m³)	初期(mg/m³)
改善前			
40 試薬投入搅拌中	-	180	-
65 搅拌反応中	-	850	-
85 加熱	-	910	-
改善後			
5 NaNO_2 滴下 5分	390	41	89.5
15	395	16	96.0
30	105	127	88.0
60	479	51	89.4
85 後搅拌 10分後	223	33	85.2
157 加熱	236	12	94.8

改善前の工程では、排ガス中の NO_x 濃度は最高 1000 mg/m^3 と高濃度に付けていたが、改善後は 130 mg/m^3 に低下してしまった。これは滴下操作をゆっくりとすることによ

り、 NO_x を空気で希釈することにより測定値通り NO_x の発生が抑制されたといえよう。また、 NaNO_2 添加量の減量および反応液の余剰 NaNO_2 を処理しているので、 NO_x の発生総量を抑制してしまったことがである。

4.2 吸収液による NO_x 除去

4.2.1 概要

ピュアリン酸製造とともに反応で二段化工程がある。



余剰の HNO_2 と H_2SO_4 が反応し、 NO_x を発生する。

対象処理施設としては、硝化釜9基、湯沸ク基、精練缶4基と多く、製造ラインの状況によって発生パターンが異なり負荷変動が著しい。また、硝化釜からの有害ガス漏れを防止し、作業者の安全を考慮し作業環境への影響を最小限にすることから、吸引風量を必要条件より大きくしてしまった。従って、それだけ処理機構の負担も大きくなり、排ガス処理を困難にしてしまった。

吸収塔の規模は高さ 18.6 m 、径 1.26 m テラレットを充填した同一規模2基並列方法である。吸収液は 10% 尿素溶液でありこれが循環供給してしまった。処理風量 $60 \text{ m}^3/\text{min}$ である。

4.2.2 Na_2SO_3 による NO_x 除去

吸収液として 10% 尿素溶液を使用してしまったが、処理効果がまだ不十分であるため、アルカリ Na_2SO_3 溶液で処理実験を行なった。

吸収液として、次の溶液を使用した。

ア： 第1塔 水洗
ア： 第2塔 2% NaOH

1: 第1塔: 水洗, 第2塔: 2% NaOH
5% Na₂SO₃

2: 第1, 2塔とも 2% NaOH
5% Na₂SO₃

尿素, NaOH およびアルカリ Na₂SO₃による吸収率は表7に示す。

表7 各種吸収液による NO_xの吸収

工程	入口濃度 ppm	出口濃度 ppm	吸収率 %
第1, 2塔とも 10% 尿素			
HNO ₃ 滴下	110	30	72.7
稀釀	750	270	64.0
稀釀	1800	490	72.8
第1塔水洗, 第2塔 2% NaOH			
稀釀2基, HNO ₃ 滴下着剤基 1	120		
同上	670	110	83.6
稀釀3基, 湿洗1基	2720	220	91.9
稀釀1基, 湿洗1基	480	90	81.3
第1塔水洗, 第2塔 2% NaOH, 5% Na ₂ SO ₃			
HNO ₃ 滴下2基, 稀釀1基	450	40	91.1
HNO ₃ 滴下2基, 稀釀2基	400	100	75.0
第1, 2塔とも 2% NaOH, 5% Na ₂ SO ₃			
HNO ₃ 滴下2基, 稀釀2基	1500	50	96.7
HNO ₃ 滴下2基, 稀釀2基	1000	70	97.0

排ガス中の NO_x濃度変動が激しく、單純に比較しにくい点もあるが、処理効率を見ると、尿素で70%, NaOHで80%, アルカリ Na₂SO₃で90%以上の効率があり。Na₂SO₃による吸収が最も効果的である。NO_xの処理において湿式湿式法によつて処理する吸収液のうち、尿素は N₂, CO₂と水になり、後処理のいらない理想的な薬剤であるが処理効率に問題がある。

以上、湿式処理によるデータおよび現場実験の検討を行つたが、表題 TN_xの防除方法と言ひながら、実際の測定では NO_xだけで NO_xについて検討しかつては問題があると思われる。実験

で NO_xを湿式処理する場合、どうしても NO_xの酸化機構が必要であり、その良し悪しが NO_xをより効果的に処理する前提になるが、この実験においては時間的制約もあって、加え得なかつた。

5 結論

NO_xの湿式処理において、各種吸収液について吸収効率を検討した結果、

(1) NaOHによる NO_xの吸収率は 60~80%である。2.1~10% NaOH 濃度では、0.5% 濃度が比較的の良いが、他の間に差はない特に有意差は認められなかつた。

(2) 5% Na₂SO₃溶液は 1000 ppm程度の高濃度 NO_xを 90%以上効率で、高く吸収出した。

(3) Na₂S溶液は吸収効率は良いが、複雑化として H₂Sの抑制防止、硫黄の分離操作が必要である。

(4) 荷物製造時のアゾ化工程で、操作条件の改善により、NO_xの発生を大半に抑制できた。

(5) 排ガス処理では、吸収液としての尿素溶液をアルカリ Na₂SO₃溶液に変えると効果があることを確認した。

文献

- (1) 石橋、西脇：公害衛生工学大系III
- (2) 日刊工業新聞：昭50.6.13
- (3) 官公庁公害専門資料；Vol.10 NO_x
- (4) 実験事例
- (5) 福山市 - 日本化薬(株)：公害防止協定資料。

昭和 50 年 8 月 25 日 印刷

昭和 50 年 8 月 31 日 発行

編集発行

広島県立呉工業試験場

〒737 呉市西中央 3 丁目6-21

TEL 呉局 (0823) ②6438⑨

支局 〒720 福山市山手町砂畠

TEL 福山局 (0849) ④2732

印刷所 株式会社 白鳥社

広島市東白島町 11-12

TEL (28) - 2966 ⑧